

Mössbauer-Spektroskopie

Methodenseminar

V. Ksenofontov

Referenzen und Zitaten:

Prof. P. Gütlich

Lecture Notes „Mössbauer Spectroscopy“

Mössbauer-Spektroskopie

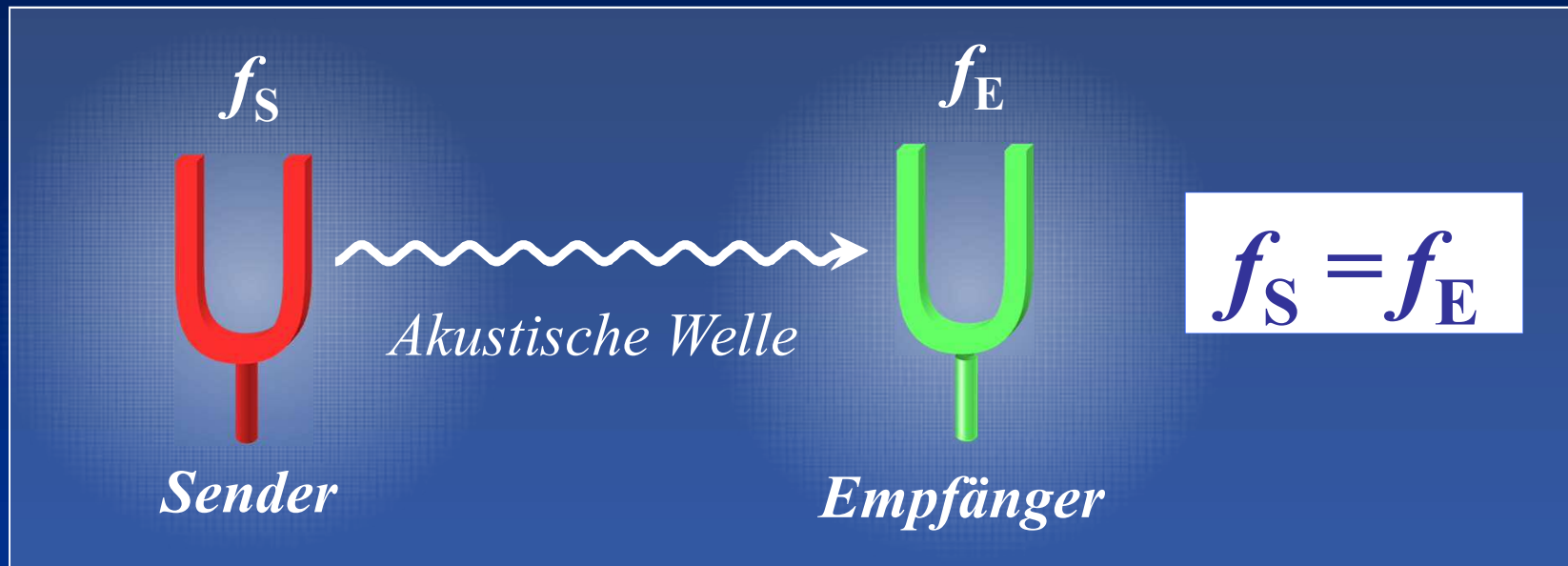
1. Prinzip
2. Hyperfeinwechselwirkungen
3. Anwendungen

Mössbauereffekt

Resonante Absorption von elektromagnetische Strahlung (γ -Photonen) aus dem Zerfall Angeregte Atomkerne – Mössbauereffekt.

- in Festkörper
- Energieschärfe ($10^{-13} - 10^{-15}$)!!!!

Zwei Stimmgabeln in Resonanz



Statt Stimmgabeln: Atome

Werner Kuhn (1929): die Resonanzabsorption von γ -Strahlung

Natrium-Resonanzfluoreszenz

Astrophysical Journal, vol. 3, p.207, 1896

FLUORESCENCE OF SODIUM AND POTASSIUM VAPORS AND ITS SIGNIFICANCE IN ASTROPHYSICS.¹

By EILH. WIEDEMANN and G. C. SCHMIDT.

IN the case of unmixed vapors fluorescence has been proved to exist for iodine by E. v. Lommel,² and we have shown³ that it also exists for the vapors of numerous organic substances. In our recent experiments we have studied the behavior of metallic vapors with respect to the same property.

I. ARRANGEMENT OF APPARATUS.

The arrangement of the apparatus used in these experiments was as follows: Rays of sunlight fell upon a lens L of about 5^{cm} focal length, by which they were converged to a focus σ inside a spherical bulb K filled with vapor. At one side of the bulb was

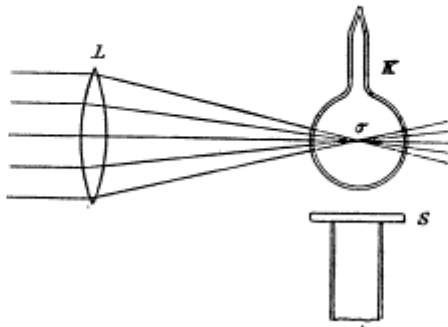
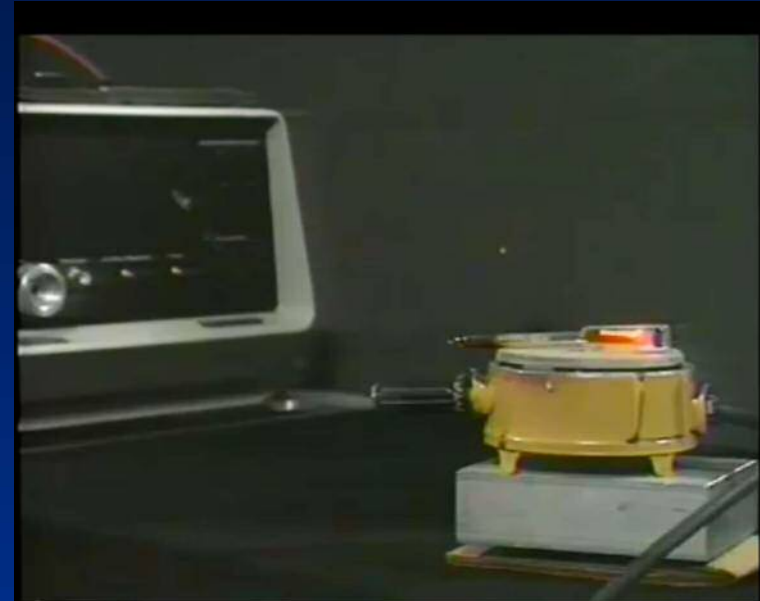


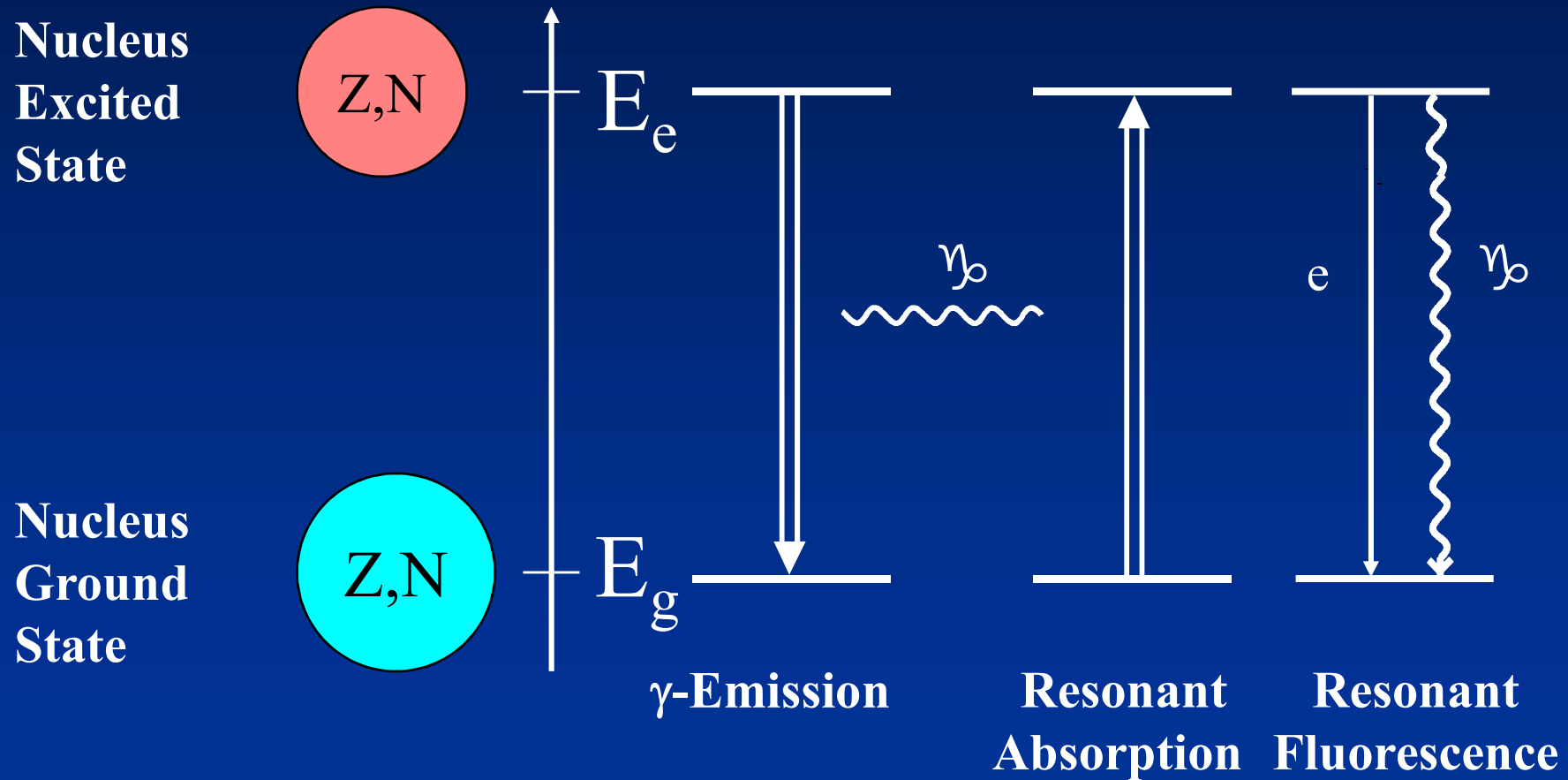
FIG. 1.



Die gesamte Röhre leuchtet unter Emission der gelben Na-D-Linie auf, wenn sie im geheizten Zustand mit Na-Spektrallicht durchstrahlt wird.

Ref.: <http://ocw.mit.edu/>

Rückstoßfreie Kernresonanz- absorption von γ -Strahlung



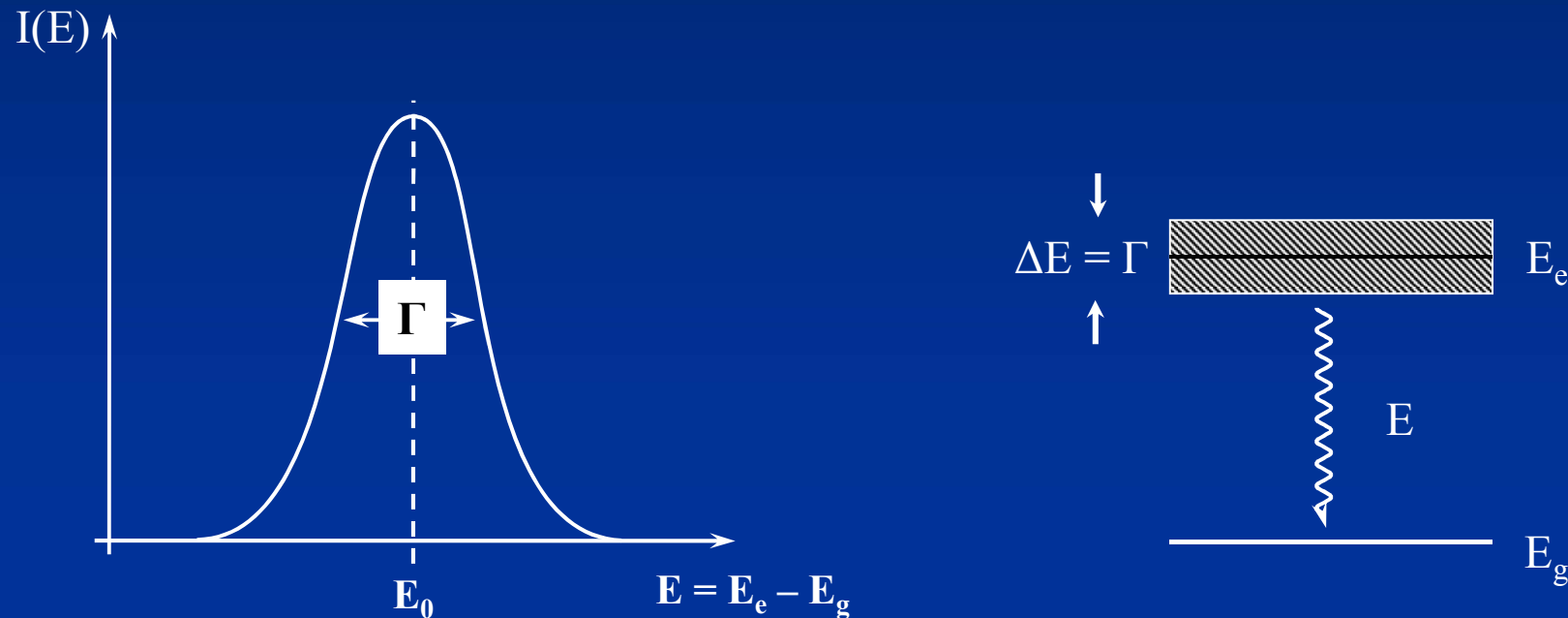
Übergangsenergie: $E_\gamma = E_a - E_g$

Ursachen für den späten Nachweis

Mittlere Lebensdauer des angeregten Kernzustands:

$$\text{Geeignet: } 10^{-6} \text{ s} \geq \tau_N \geq 10^{-11} \text{ s}$$

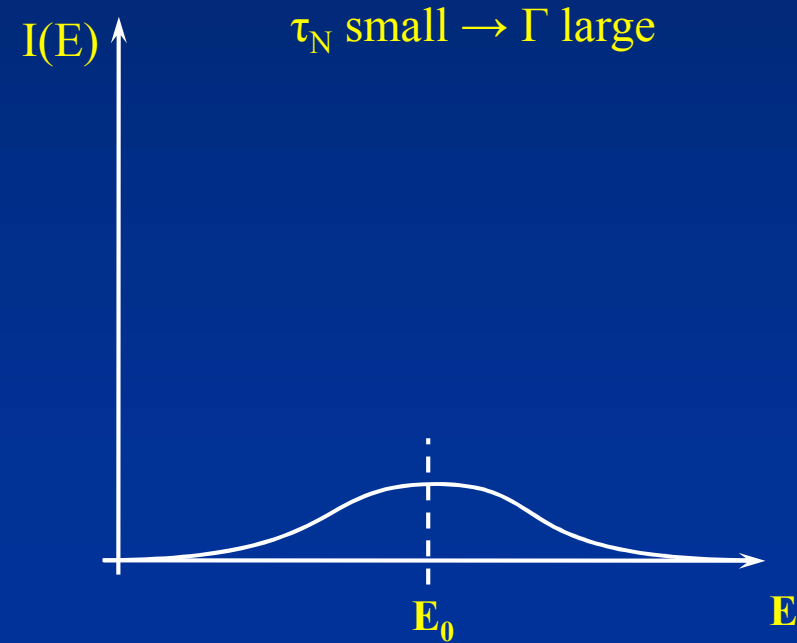
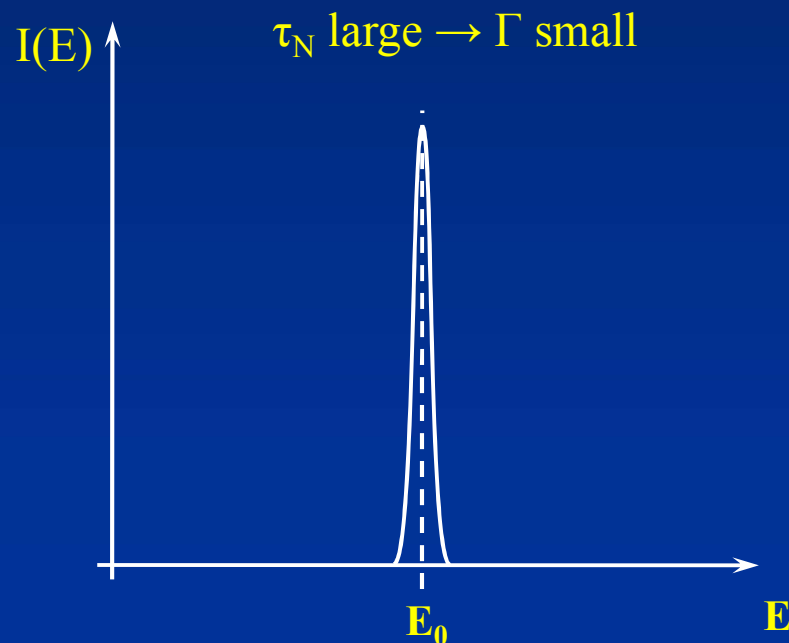
Die mittlere Lebensdauer τ_N bestimmt die Resonanzlinienbreite gemäß der **Heisenbergschen Unschärfe-Relation**: $\Gamma \cdot \tau_N = \hbar$.
(Die mittlere Lebensdauer τ_N ist mit der Halbwertszeit $t_{1/2}$ korreliert: $\tau_N = \ln 2 \cdot t_{1/2}$).



According to Weisskopf and Wigner the distribution of energies about the energy E_0 (= transition probability as function of transition energy E) is given by the **Breit-Wigner (or Lorentzian) formula**:

$$I(E) = \frac{(\Gamma/2)^2}{(E - E_0)^2 + (\Gamma/2)^2}$$

The mean lifetime τ determines the width of the resonance lines ($\Gamma \cdot \tau = \hbar$).
The mean lifetime τ is related to the half-life $t_{1/2}$ by the relation $\tau = \ln 2 \cdot t_{1/2}$.



Resonanzschärfe Γ/E_γ

beim Mössbauer-Effekt mit der Übergangsenergie E_γ

^{57}Fe mit $E_\gamma = 14\,400\text{ eV}$

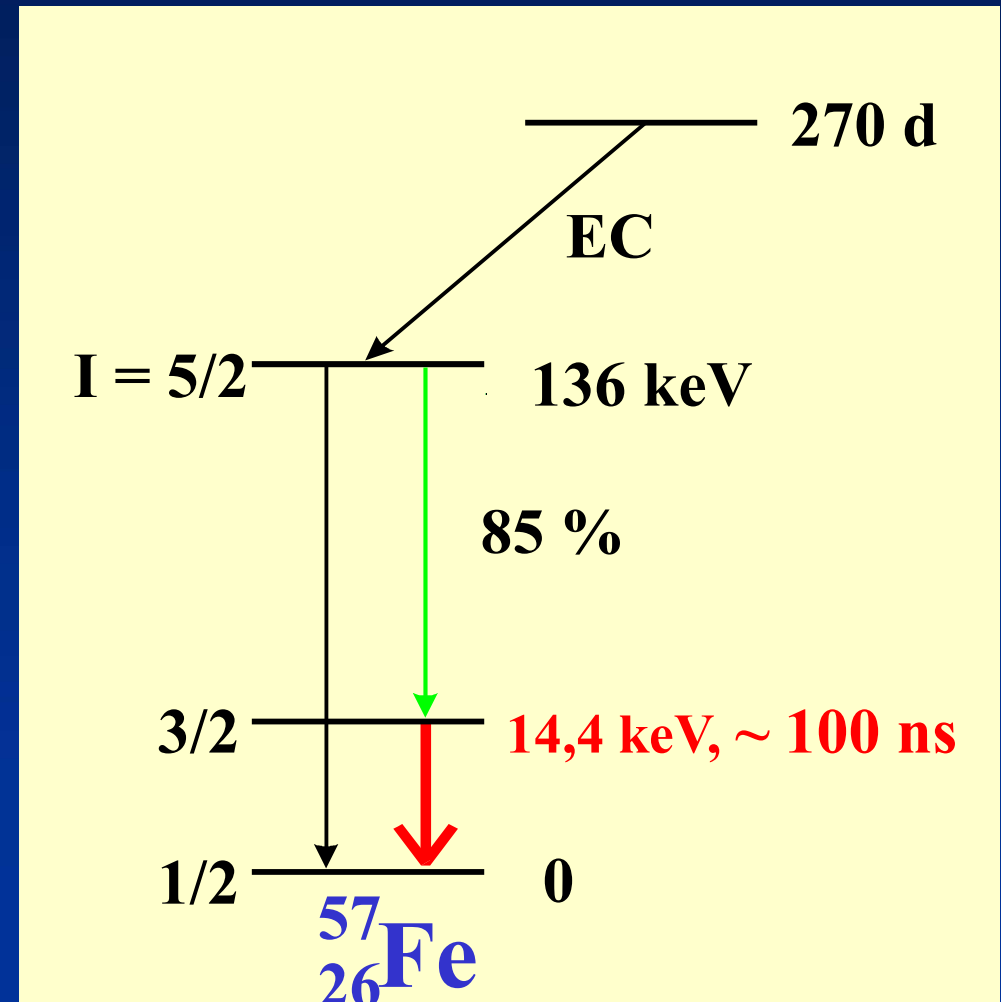
$$\tau_N = 1.4 \cdot 10^{-7}\text{ s} \rightarrow$$

$$\Gamma = \hbar/\tau_N = 4.6 \cdot 10^{-9}\text{ eV}$$

$$\Gamma/E_\gamma = 3.3 \cdot 10^{-13}$$

(Optische Übergänge: $\Gamma/E \sim 10^{-8}$)

Kernzerfall von ^{57}Co
für ^{57}Fe Mössbauer-Resonanz)



Comparison Between Electronic and Nuclear Transitions

	ELECTRONIC TRANSITION SODIUM D LINE	NUCLEAR TRANSITION FE-57
ENERGY OF TRANSITION, E (eV)	2.1	14 413
MEAN LIFE TIME OF EXCITED STATE, τ (SEC)	1.5×10^{-8}	1.4×10^{-7}
NATURAL WIDTH OF RESONANCE LINE, $\Gamma = \hbar/\tau$ (eV)	4.4×10^{-8}	4.6×10^{-9}
RESOLVING POWER, Γ/E	2.1×10^{-8}	3.1×10^{-13}
RECOIL ENERGY, E_R (eV)	$\sim 10^{-10}$	1.9×10^{-3}
RATIO E_R/Γ	$\sim 2.3 \times 10^{-3}$	4.1×10^5

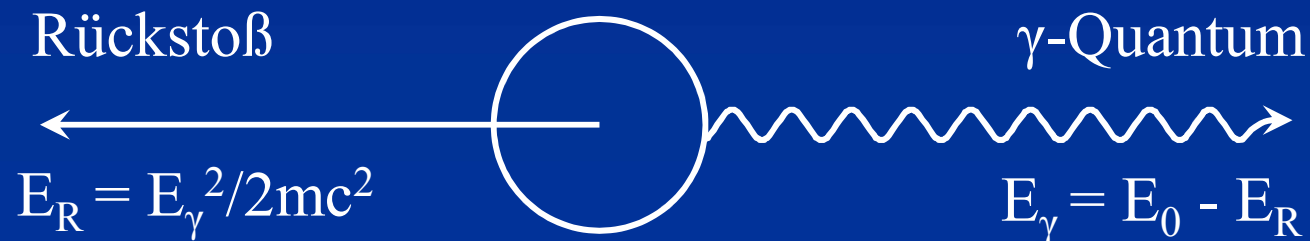
Rückstoß-Effekt!!!!

Bei Emission und Absorption von γ -Quanten mit der Energie E_γ erleidet ein **freies** atom oder Molekül (Gas, Flüssigkeit) mit der Masse m einen Rückstoß mit der Energie E_R :

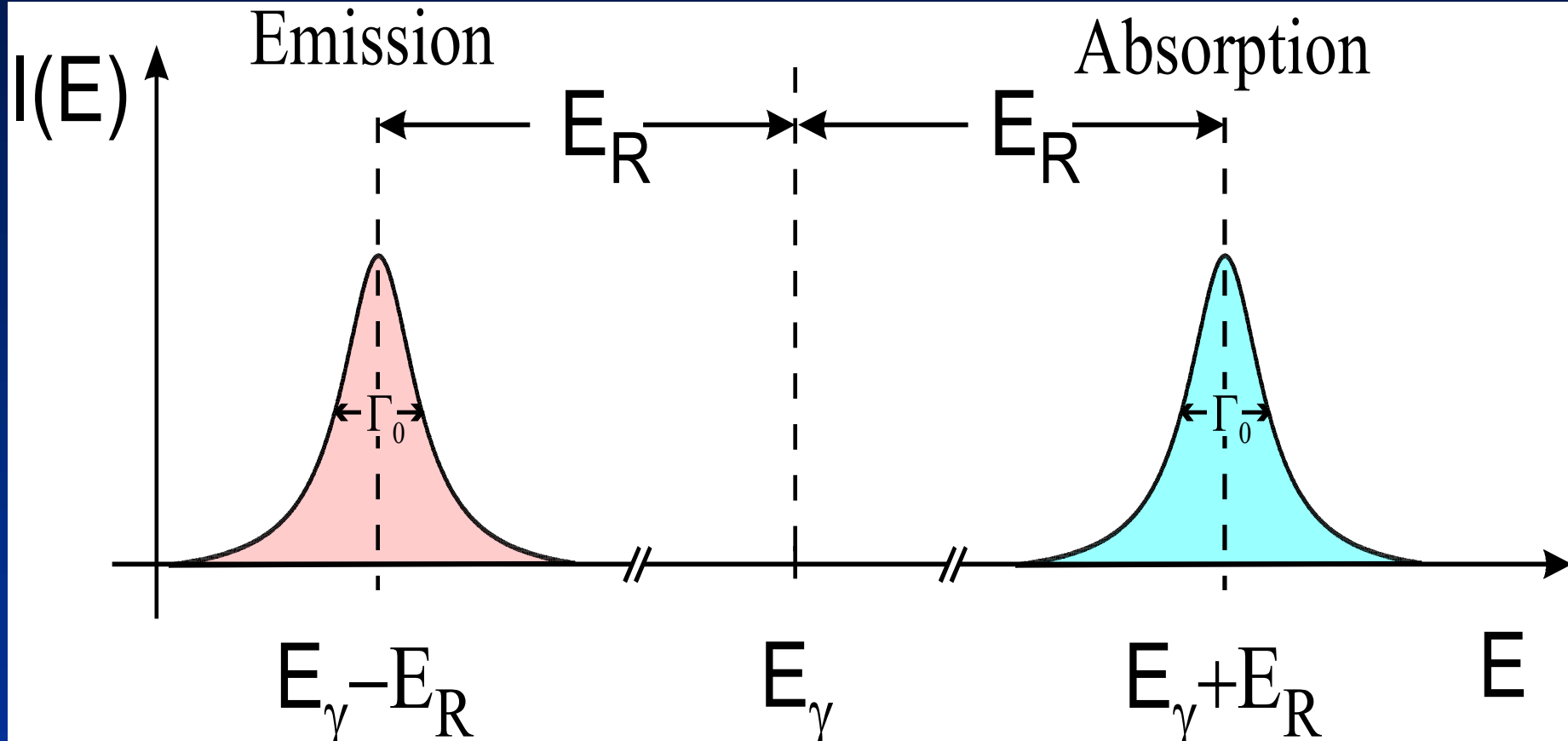
$$E_R = E_\gamma^2 / 2mc^2$$

der um 5-6 Größenordnungen größer ist als die natürliche Linienbreite Γ
→ Keine Resonanz möglich.

Frei emittierendes Atom



Rückstoß-Effekt

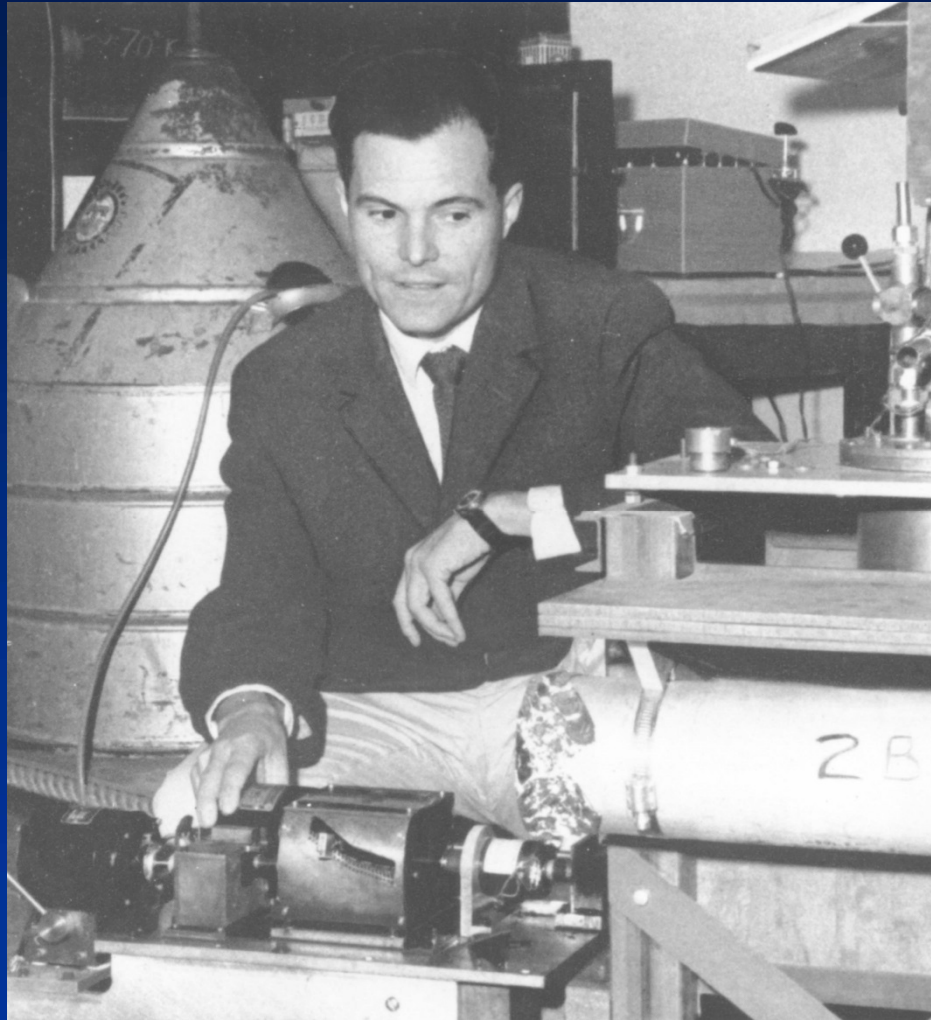


$$E_R = \frac{E_\gamma^2}{2mc^2}$$

$${}^{57}\text{Fe}: E_R = 2 \cdot 10^{-3} \text{ eV}$$
$$\Gamma_0 = 4.6 \cdot 10^{-9} \text{ eV}$$

Rudolf L. Mössbauer (1929-2011)

Nobel-Preis 1961



R.L. Mössbauer made his first observation of recoilless nuclear resonant absorption in ^{191}Ir .

R.L. Mössbauer,
Z. Physik, 1958, 151, 124.

R.L. Mössbauer,
Naturwissenschaften, 1958, 45, 538

Rückstoßfreie Kernresonanzabsorption von γ -Strahlen

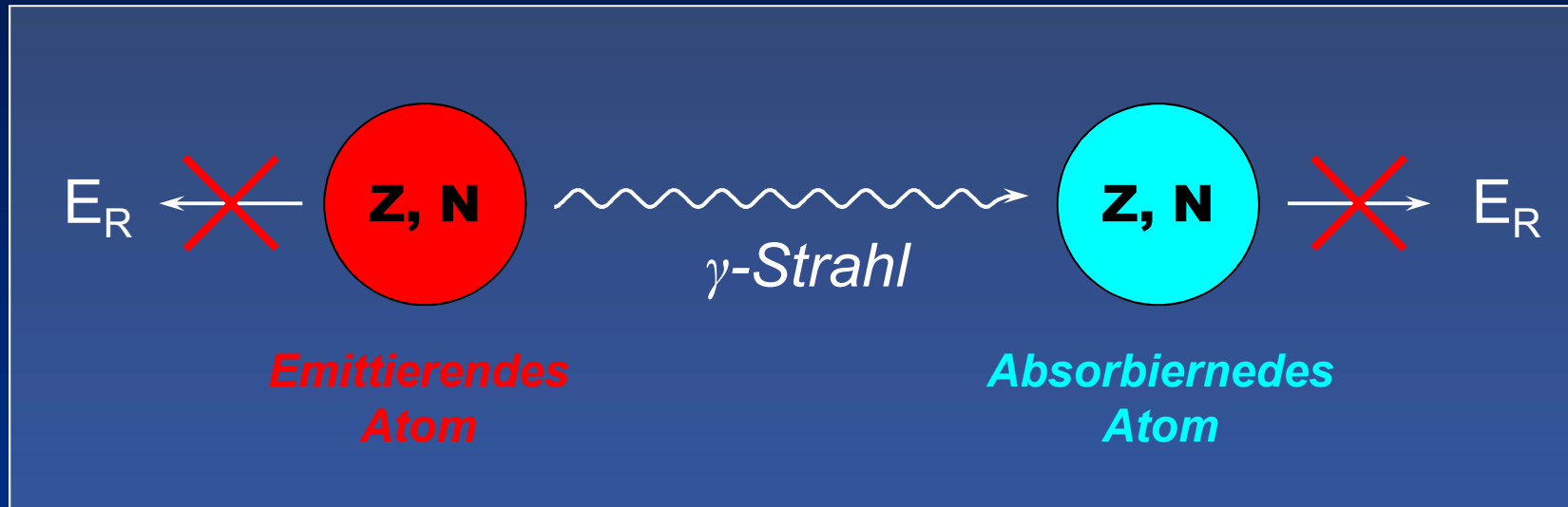
Professor Dr. Rudolf L. Mössbauer

- 1948 Abitur an der Oberrealschule München-Pasing
- 1955 Diplom in Physik an der TU München
- 1955-57 Max-Planck-Institut für medizinische Forschung in Heidelberg
- 1958 Promotion an der TU München bei Prof. Dr. Heinz Maier-Leibnitz:
im selben Jahr gelingt ihm der direkte experimentelle Nachweis
des Mößbauer-Effekts
- 1960-64 forscht Mößbauer am California Institute of Technology
- 1961 Nobelpreis für Physik zusammen mit Robert Hofstadter
„für seine Untersuchungen zur Resonanzabsorption von
Gammastrahlung und die in diesem Zusammenhang
gemachte Entdeckung des nach ihm benannten Effektes“
- 1965 Ordinarius für Experimentalphysik an der TU München
- 1972-77 Direktor am Institut Laue-Langevin in Grenoble
- 1977 Bis zur Emeritierung in 1997 wieder Ordinarius an der TU München

Lösung des Problems

Die Atome der Quelle und des Absorbers in das Gitter eines Festkörpers eingebaut sind!

Eliminierung des Rückstoß-Effekts Bei Emission und Absorption von γ -Strahlung



Im Kristall der Masse M : $E_R = E_{\text{transl}} + E_{\text{vib}}$

$m \longrightarrow M$:

$$E_R = E_\gamma^2 / 2Mc^2 \ll \Gamma_0$$

E_{vib} ist quantisiert (Einstein-Modell, Debye-Modell)

Im Festkörper (z.B. Kristall)

Verteilt sich die Rückstoßenergie gemäß

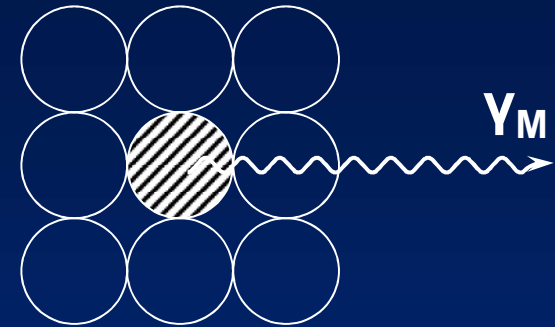
$$E_R = E_{\text{transl}} + E_{\text{vib}}$$

E_{transl} : Auf den ganzen Kristall der Masse M
übertragener linearer Impuls .

$E_{\text{transl}} \ll \Gamma$, since $M \gg m$.

E_{vib} : wird in Anregung von Gitterschwingungen umgesetzt.

E_{vib} ist quantisiert. \Rightarrow Einstein-Modell, Debye-Modell:



Mit der Wahrscheinlichkeit f , Lamb-Mössbauer-Faktor (Debye-Waller-Faktor) genannt, bleibt das quantenmechanische Phononensystem bei Emission und Absorption von γ -Quanten unverändert (*zero phonon processes*) .

Nur dieser Anteil f ist für die Kernresoanzabsorption nutzbar.

\rightarrow **Mössbauer-Effekt.**

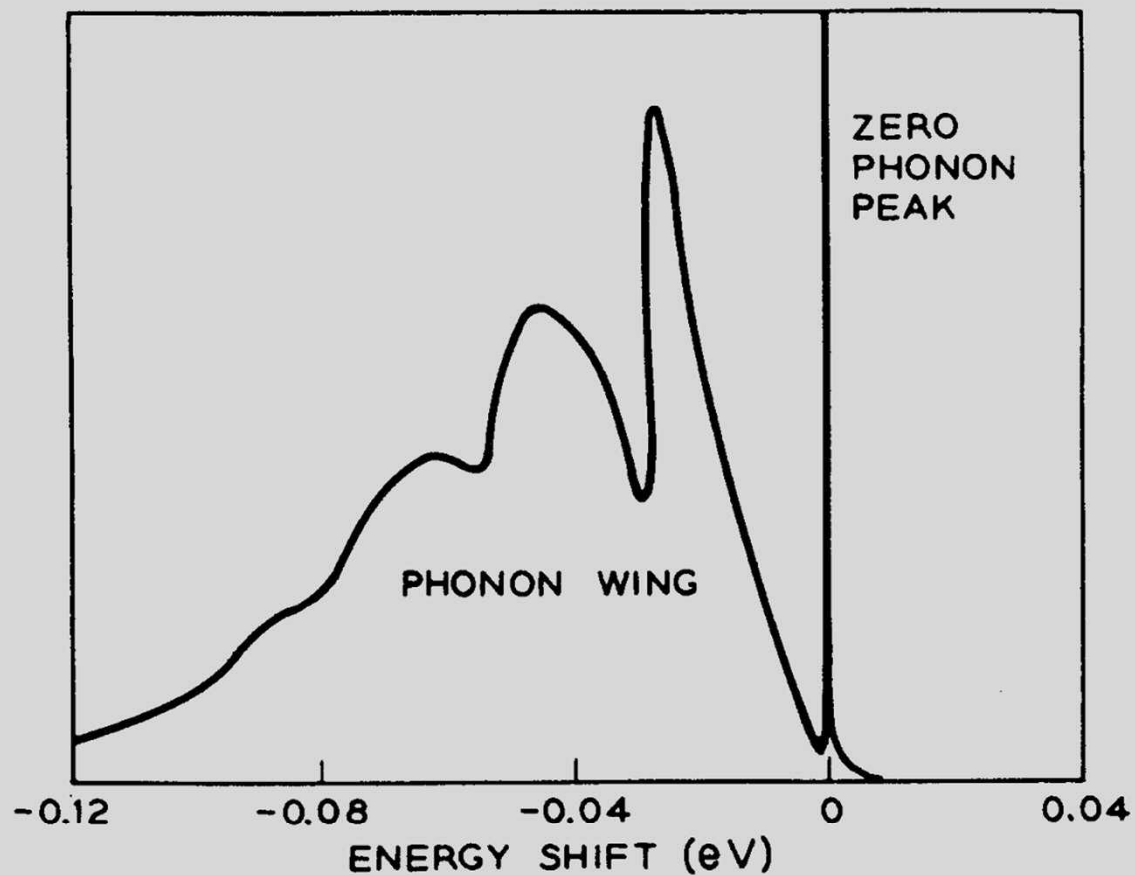
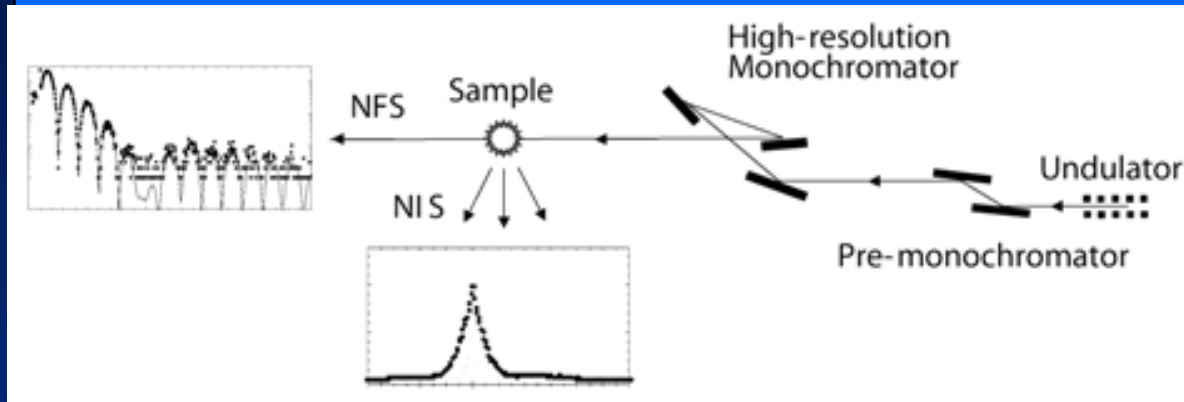


FIG. 1. The theoretical spectrum of the 129 keV gamma ray of Ir¹⁹¹ emitted by an atom in iridium metal at low temperature [2]. The Mössbauer spectrometer is sensitive only to the narrow, recoil-free line at zero energy shift, which contains 5.7% of the total area under the curve.

[1] W.M. Visscher, *Ann. Phys.* 9, 194, 1960

NIS with synchrotron radiation

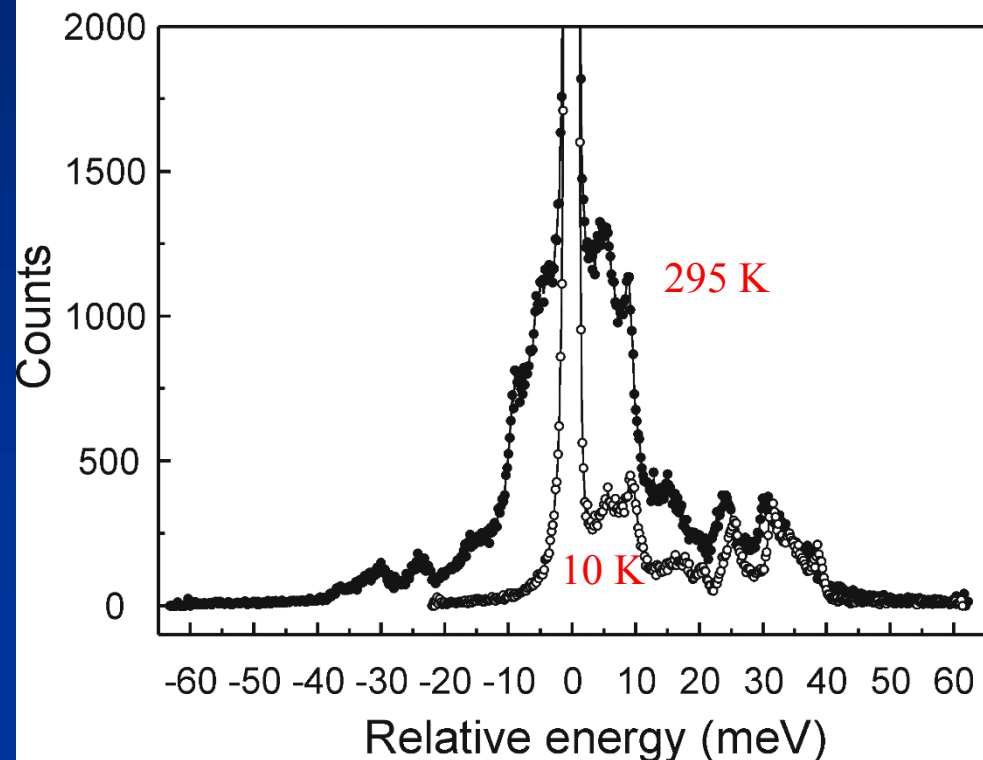
NIS: determination of the local phonon DOS at the Mössbauer atom



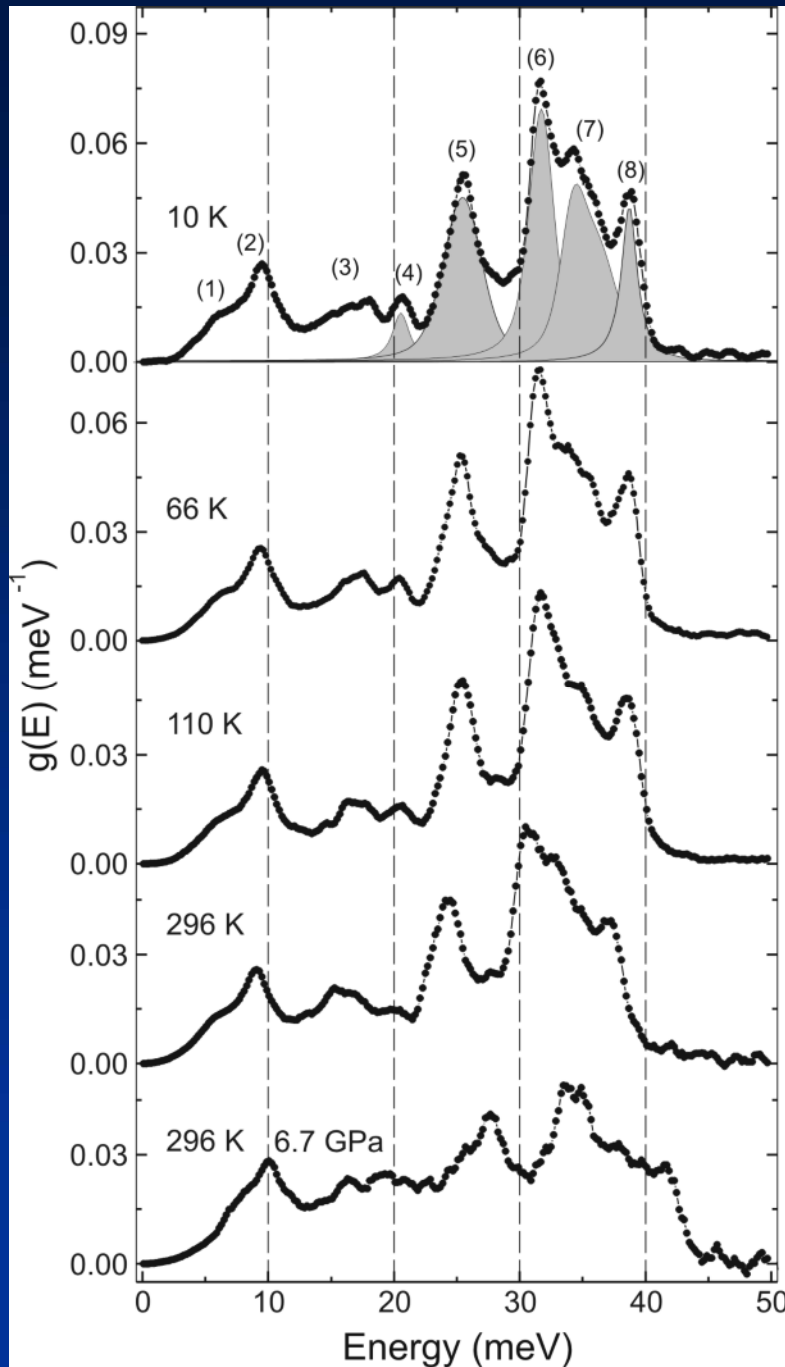
^{57}Fe -NIS studies performed with a resolution of 0.75 – 0.95 meV at 14.4 keV at beamline ID18 of ESRF

^{57}Fe -NIS spectra of $\text{Fe}_{1.01}\text{Se}$ at 295 K (full circles) and at 10 K (open circles)

V.Ksenofontov, G.Wortmann, A.I.Chumakov et al., PRB **81**, 184510 (2010)



^{57}Fe phonon-DOS in sc $\text{Fe}_{1.01}\text{Se}$ as function of T and p



- Fe-partial phonon-DOS $g(E)$ for $\text{Fe}_{1.01}\text{Se}$ at different temperatures (above) and at a pressure of 6.7 GPa at 296 K (below). At 10 K, resolved optical modes are indicated, e.g. the B_{1g} Raman mode at 25.5 meV (labeled 5).

- Lowering of temperature results in a sharpening of the spectral features and an increase of the mode energies by $\sim 4\%$.

- No significant changes between the spectra at 110 K (tetr. phase) and 66 K (orthorh. phase).

- Application of 6.7 GPa ($\Delta V \sim -14\%$) at 296 K leads to strong increases of the energies of the optical modes by $\sim 12\%$, and larger shifts of the acoustic modes by $\sim 30\%$ for mode (1) and $\sim 14\%$ for mode (2).

V. Ksenofontov, et al., PRB 81, 184510 (2010).

Lamb-Mössbauer-Faktor (Debye-Waller-Faktor)

Mit f bezeichnet man den Anteil an γ -Quanten, der *rückstoßfrei* emittiert und absorbiert wird.

Der Parameter f ist mit Schwingungseigenschaften des Kristallgitters korreliert:

$$f = \exp \{ -(\langle x^2 \rangle / \lambda^2) (2\pi)^2 \} = \exp \{ -(2\pi)^2 E_\gamma^2 \langle x^2 \rangle / (hc)^2 \}$$

$\langle x^2 \rangle$: mittleres Quadrat der Schwingungsamplitude in x-Richtung

λ : Wellenlänge der γ -Strahlung, wobei $E_\gamma = h\nu = h \cdot c / \lambda$.

Rückstoßfrei Emission und Absorption von γ -Strahlung

Bedingung für die Wahrscheinlichkeit einer rückstoßfreien Emission und Absorption von γ -Quanten :

$$E_R = E_\gamma^2/2m < k_B \Theta_D$$

k_B = Boltzmann-Konstante, Θ_D = Debye-Temperatur

Mössbauer-aktive Elemente

IA																	VIIIA
H	IIA											IIIA	IVA	VA	VIA	VIIA	He
Li	Be											B	C	N	O	F	Ne
Na	Mg	IIIB	IVB	VB	VIB	VIIB	VIII B			IB	IIB	Al	Si	P	S	Cl	Ar
K	Ca	Sc	Ti	V	Cr	Mn	Fe	Co	Ni	Cu	Zn	Ga	Ge	As	Se	Br	Kr
Rb	Sr	Y	Zr	Nb	Mo	Tc	Ru	Rh	Pd	Ag	Cd	In	Sn	Sb	Te	I	Xe
Cs	Ba	La	Hf	Ta	W	Re	Os	Ir	Pt	Au	Hg	Tl	Pb	Bi	Po	At	Rn
Fr	Ra	Ac															
			Ce	Pr	Nd	Pm	Sm	Eu	Gd	Tb	Dy	Ho	Er	Tm	Yb	Lu	
			Th	Pa	U	Np	Pu	Am	Cm	Bk	Cf	Es	Fm	Md	No	Lw	

Experimentelle Resonanzbedingungen

Übergangsenergie: $E_\gamma = E_a - E_g$

Geeignet: $5 \text{ keV} \leq E_\gamma \leq 180 \text{ keV}$

Wenn $E_\gamma \leq 5 \text{ keV}$: Totale nicht-resonante Absorption der γ -Strahlen in Quelle bzw. Absorber

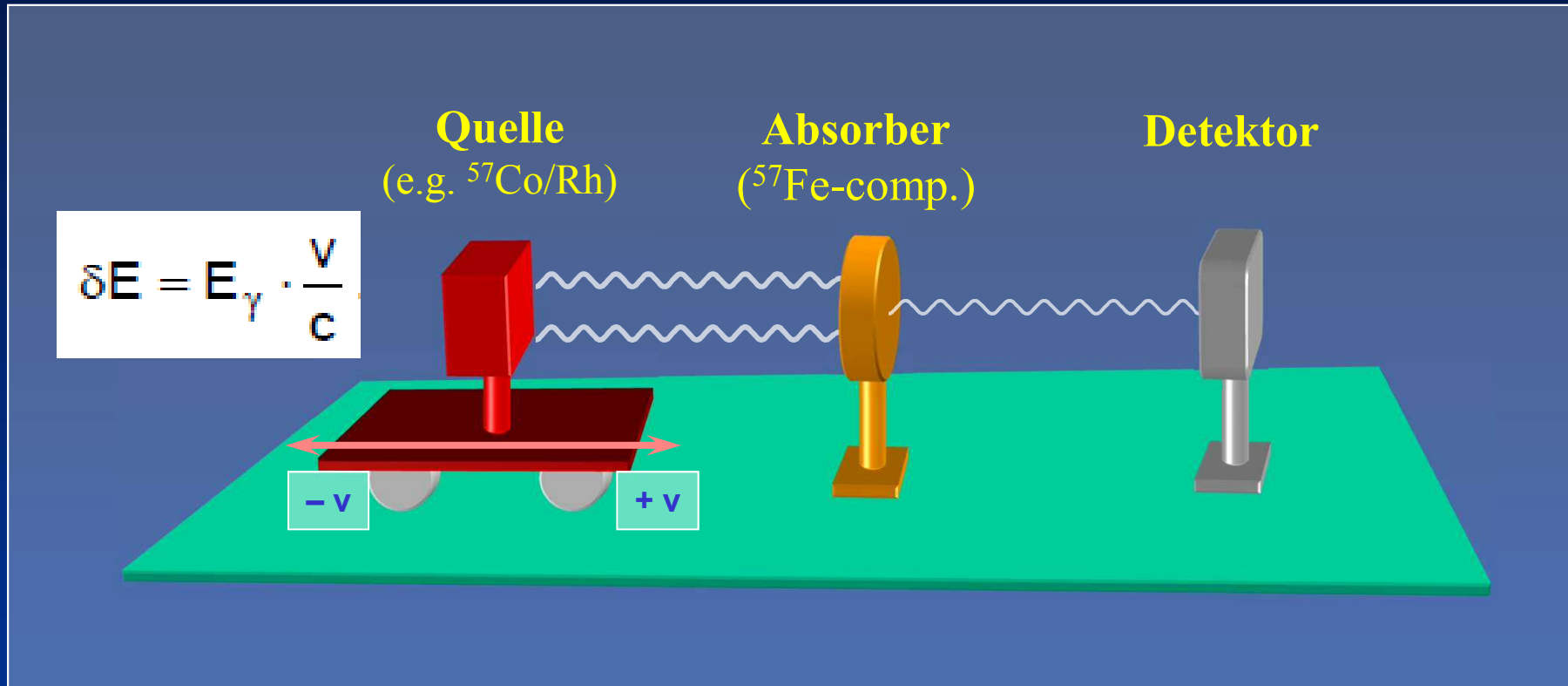
Wenn $E_\gamma \geq 180 \text{ keV}$: Rückstoß-Energie $E_R = E_\gamma^2/2mc^2$ wird zu groß und zerstört die Resonanz.

Nuclear parameters for selected Mössbauer isotopes

Isotope	E_γ/keV	$\Gamma_r/(\text{mm s}^{-1})$ $= 2 \Gamma_{\text{nat}}$	I_g	I_e	α	Natural abundance %	Nuclear decay*
^{57}Fe	14.41	0.192	1/2-	3/2-	8.17	2.17	$^{57}\text{Co}(\text{EC } 270 \text{ d})$
^{61}Ni	67.40	0.78	3/2-	5/2-	0.12	1.25	$^{61}\text{Co}(\beta^- 99 \text{ m})$
^{119}Sn	23.87	0.626	1/2+	3/2+	5.12	8.58	$^{119\text{m}}\text{Sn}(\text{IT } 50 \text{ d})$
^{121}Sb	37.15	2.1	5/2+	7/2+	~ 10	57.25	$^{121\text{m}}\text{Sn}(\beta^- 76 \text{ y})$
^{125}Te	35.48	5.02	1/2+	3/2+	12.7	6.99	$^{125}\text{I}(\text{EC } 60 \text{ d})$
^{127}I	57.60	2.54	5/2+	7/2+	3.70	100	$^{127\text{m}}\text{Te} (\beta^- 109 \text{ d})$
^{129}I	27.72	0.59	7/2+	5/2+	5.3	nil	$^{129\text{m}}\text{Te} (\beta^- 33 \text{ d})$
^{149}Sm	22.5	1.60	7/2-	5/2-	~ 12	13.9	$^{149}\text{Eu}(\text{EC } 106 \text{ d})$
^{151}Eu	21.6	1.44	5/2+	7/2+	29	47.8	$^{151}\text{Gd}(\text{EC } 120 \text{ d})$
^{161}Dy	25.65	0.37	5/2+	5/2-	~ 2.5	18.88	$^{161}\text{Tb}(\beta^- 6.9 \text{ d})$
^{193}Ir	73.0	0.60	3/2+	1/2+	~ 6	61.5	$^{193}\text{Os}(\beta^- 31 \text{ h})$
^{197}Au	77.34	1.87	3/2+	1/2+	4.0	100	$^{197}\text{Pt}(\beta^- 18 \text{ h})$
^{237}Np	59.54	0.067	5/2+	5/2-	1.06	nil	$^{241}\text{Am}(\alpha 458 \text{ y})$

*EC = electron capture, β^- = beta-decay, IT = isomeric transition, α – alpha-decay

Mössbauer Experiment



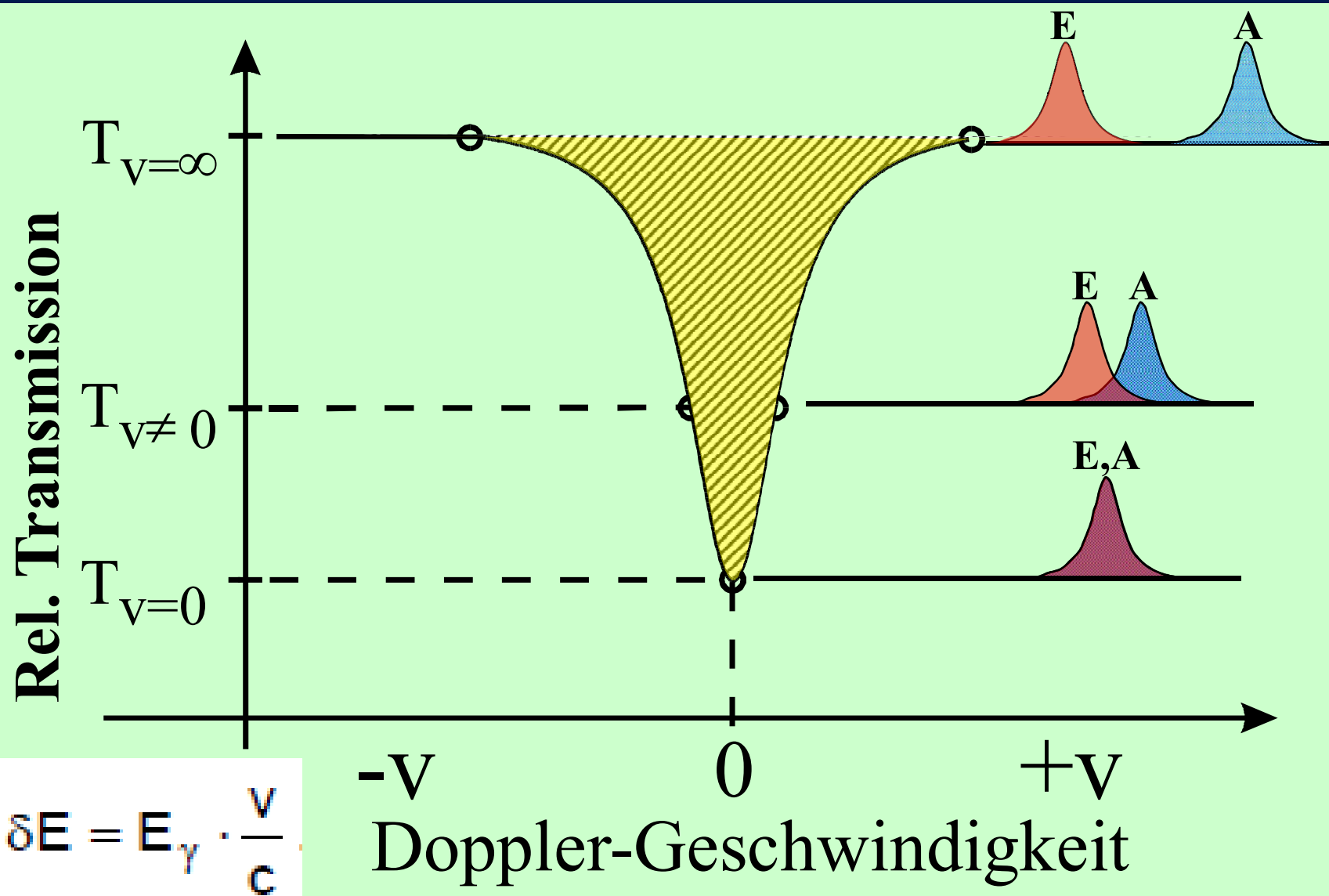
Quelle und Absorber werden relativ zu einander bewegt mit der

Doppler-Geschwindigkeit v :

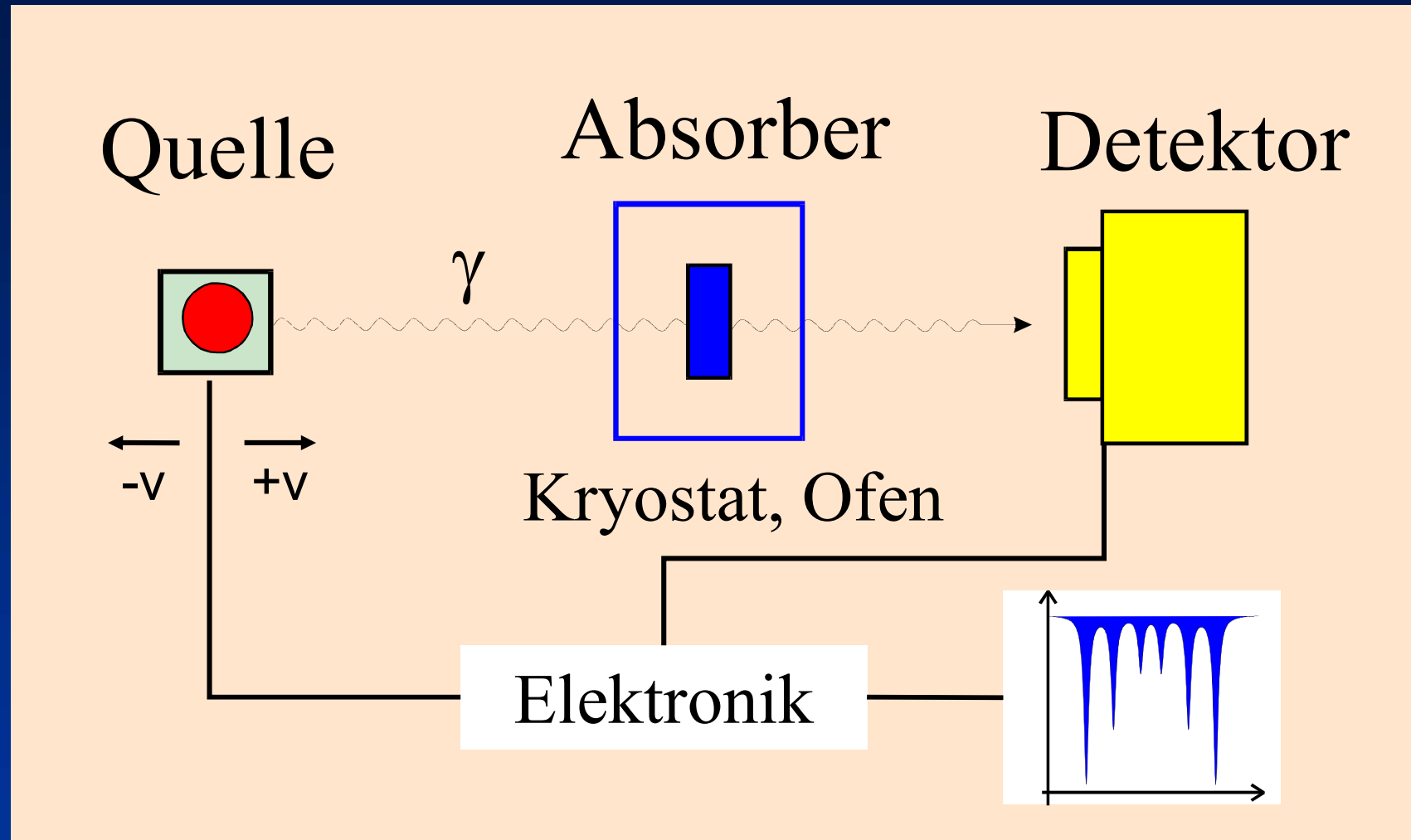
$$\delta E = E_\gamma \cdot \frac{v}{c}$$

$$^{57}\text{Fe} : \Gamma_0 = 4.7 \cdot 10^{-9} \text{ eV}, E_\gamma = 14400 \text{ eV}, v = 0.096 \text{ mm s}^{-1}$$

Mössbauer-Spektrum

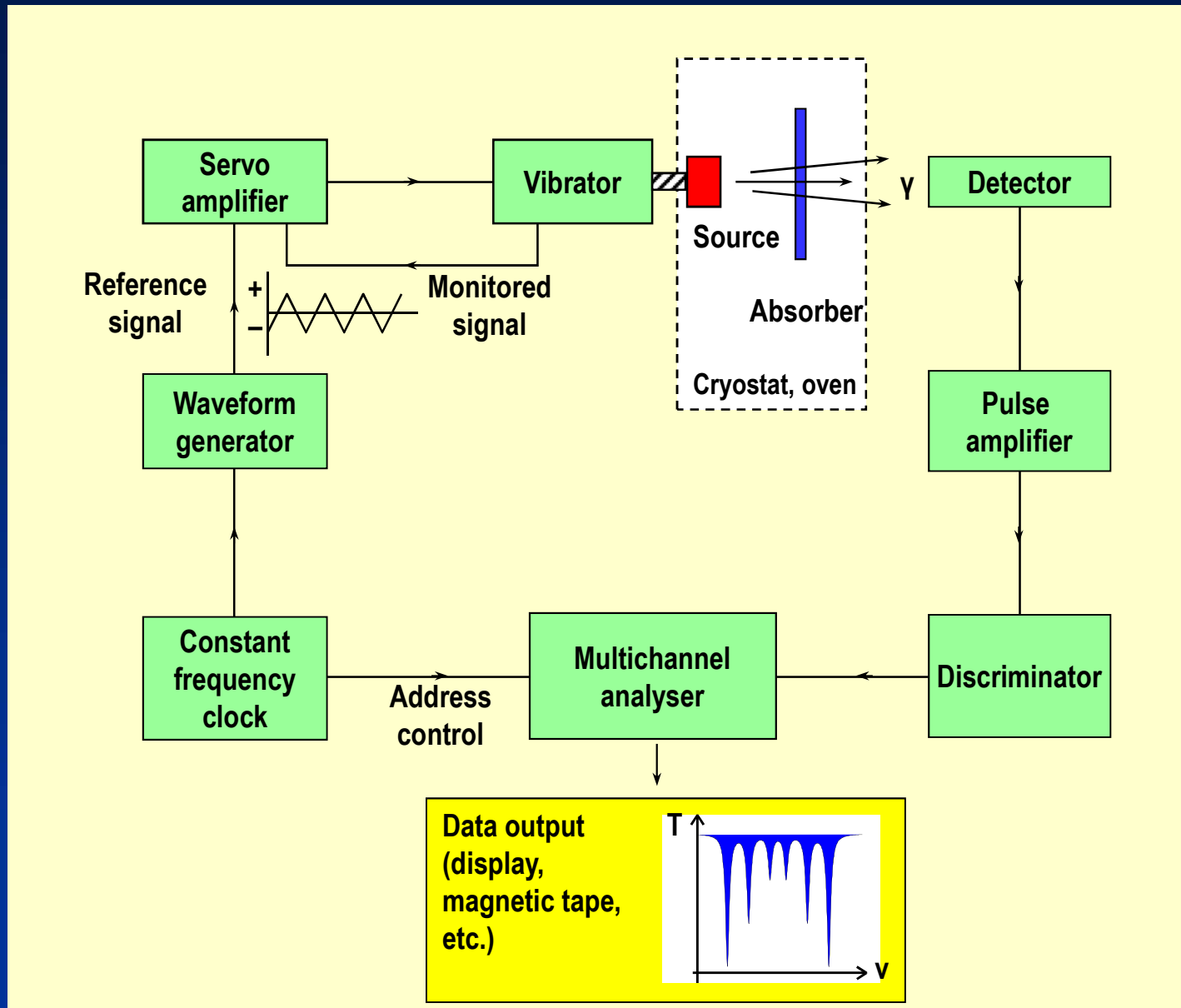


Mössbauer Experiment



Atomkerne des gleichen Nuklids im angeregten (Quelle) und im Grundzustand (Absorber).

Schematischer Aufbau eines Mössbauer-Spektrometers

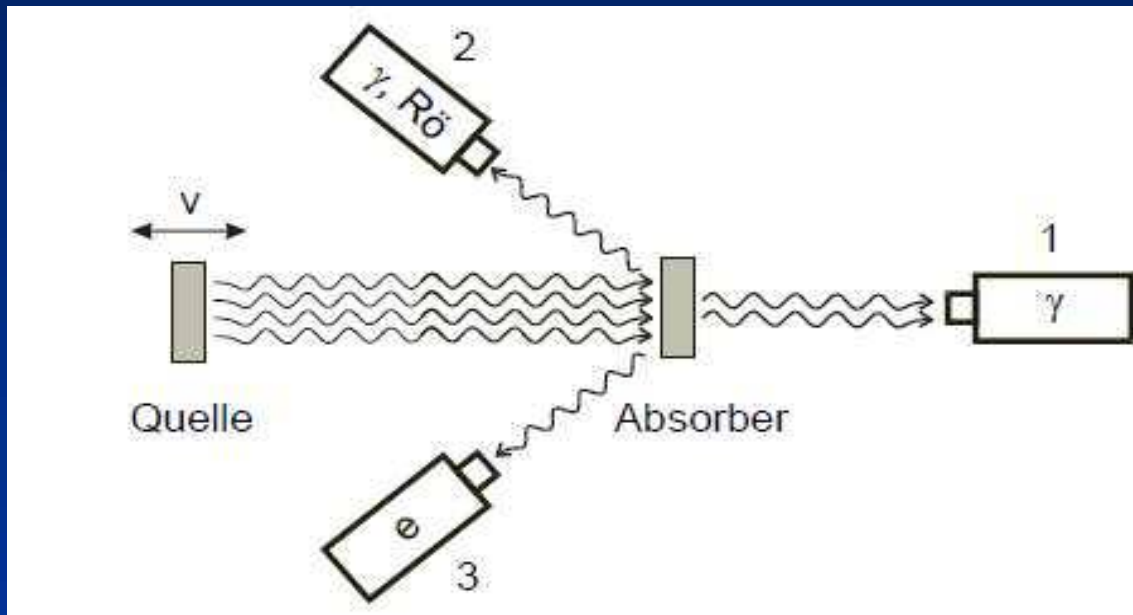


Mössbauer Experiment

Rückstreugeometrie

Reemittierte γ -Quanten

Tiefe: ca. 1000 nm



Transmissionsgeometrie

Durchdringende γ -Quanten

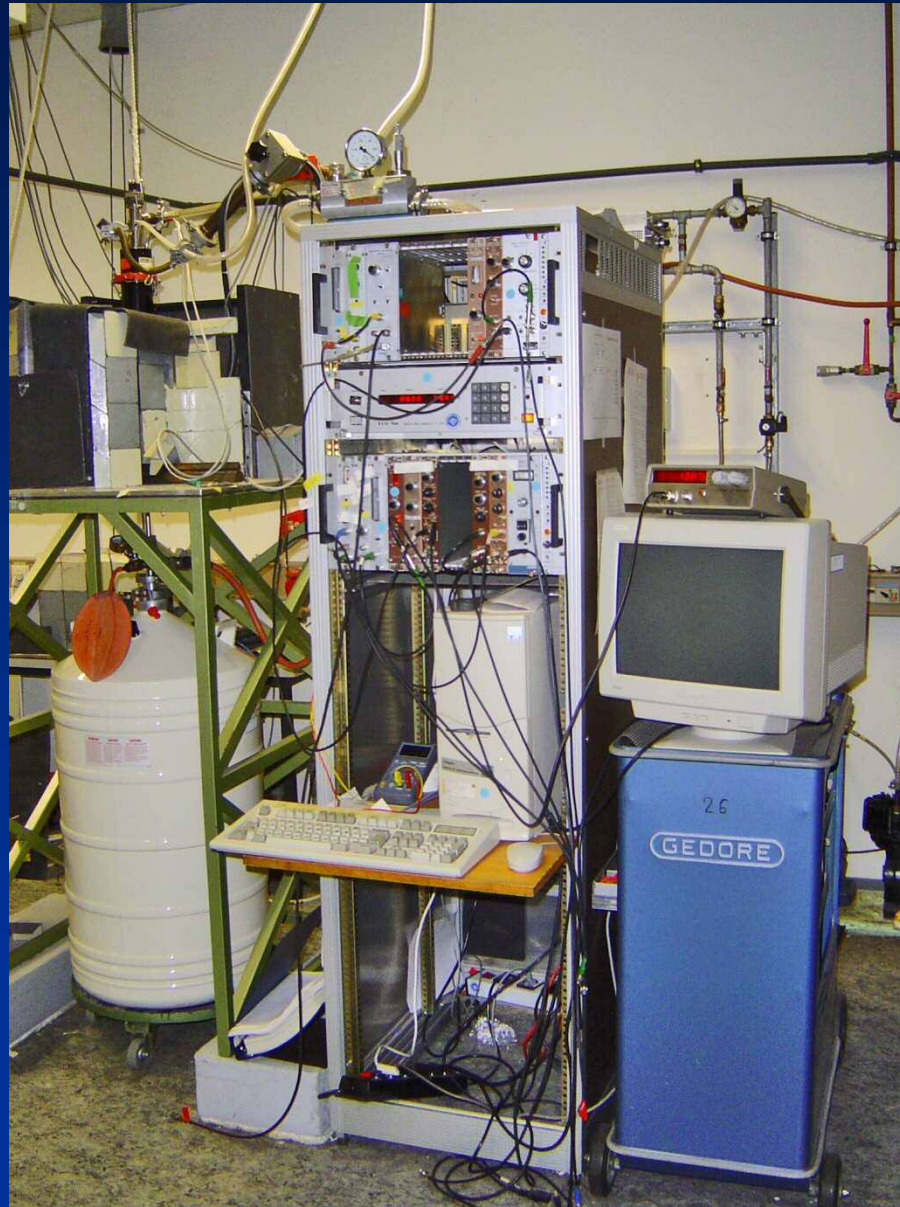
Tiefe: Bulk

Konversionselektronen

CEMS – Conversion Electron Mössbauer Spectroscopy

Tiefe: ca. 100 nm

Mössbauer-Spektrometer



Hyperfein-Wechselwirkungen zwischen Atomkern und Elektronen und Mössbauer- Parameter

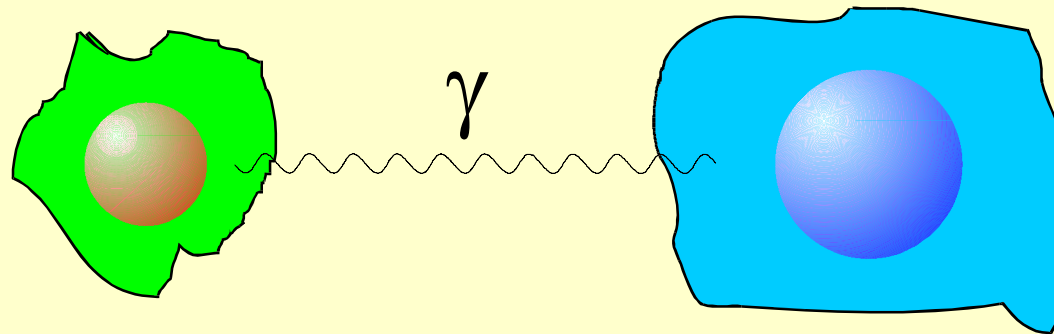
- Elektrische Monopol-Wechselwirkung
⇒ „Isomerie-Verschiebung“ δ
- Elektrische Quadrupol-Wechselwirkung
⇒ „Quadrupol-Aufspaltung“ ΔE_Q
- Magnetische Dipol-Wechselwirkung
⇒ „Magnetische Aufspaltung“ ΔE_M

Elektrische Monopol-Wechselwirkung

Isomerie-Verschiebung δ

Quelle (S)

Absorber (A)

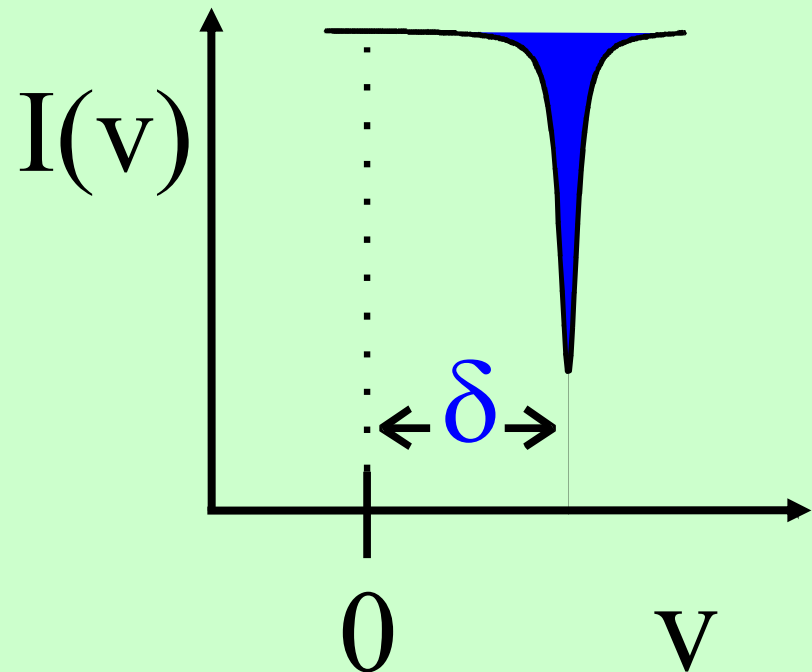
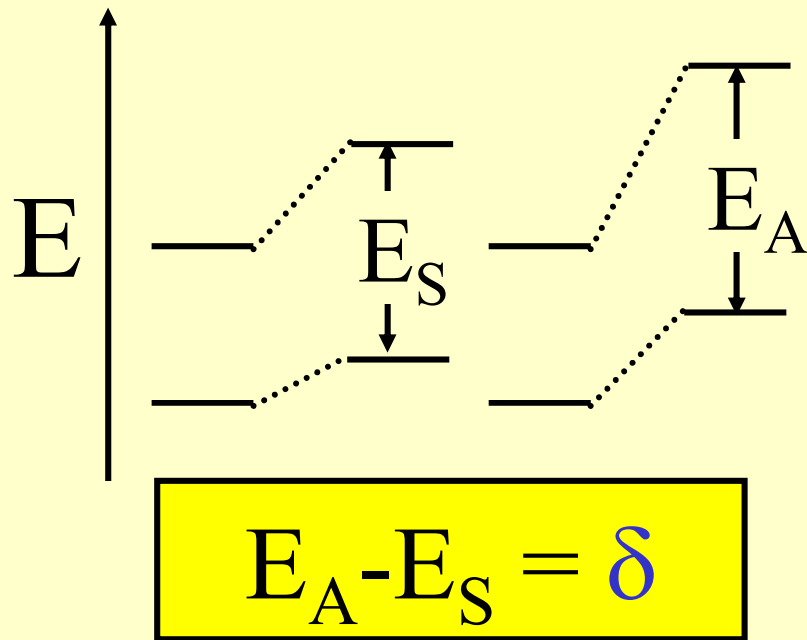


Kernradius

$$R_e \neq R_g$$

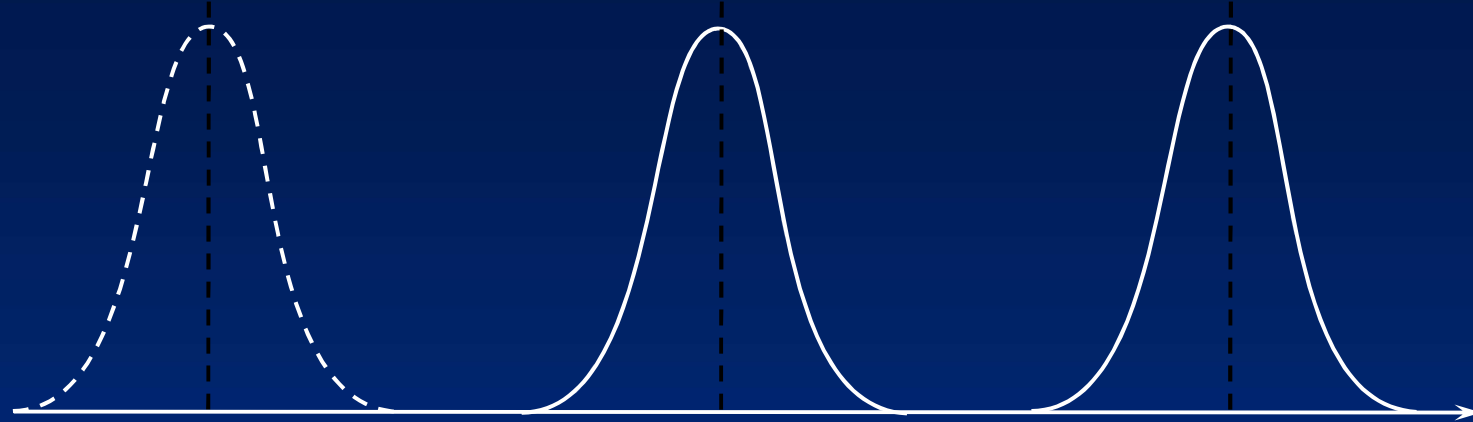
Elektronendichte

$$\rho_S \neq \rho_A$$

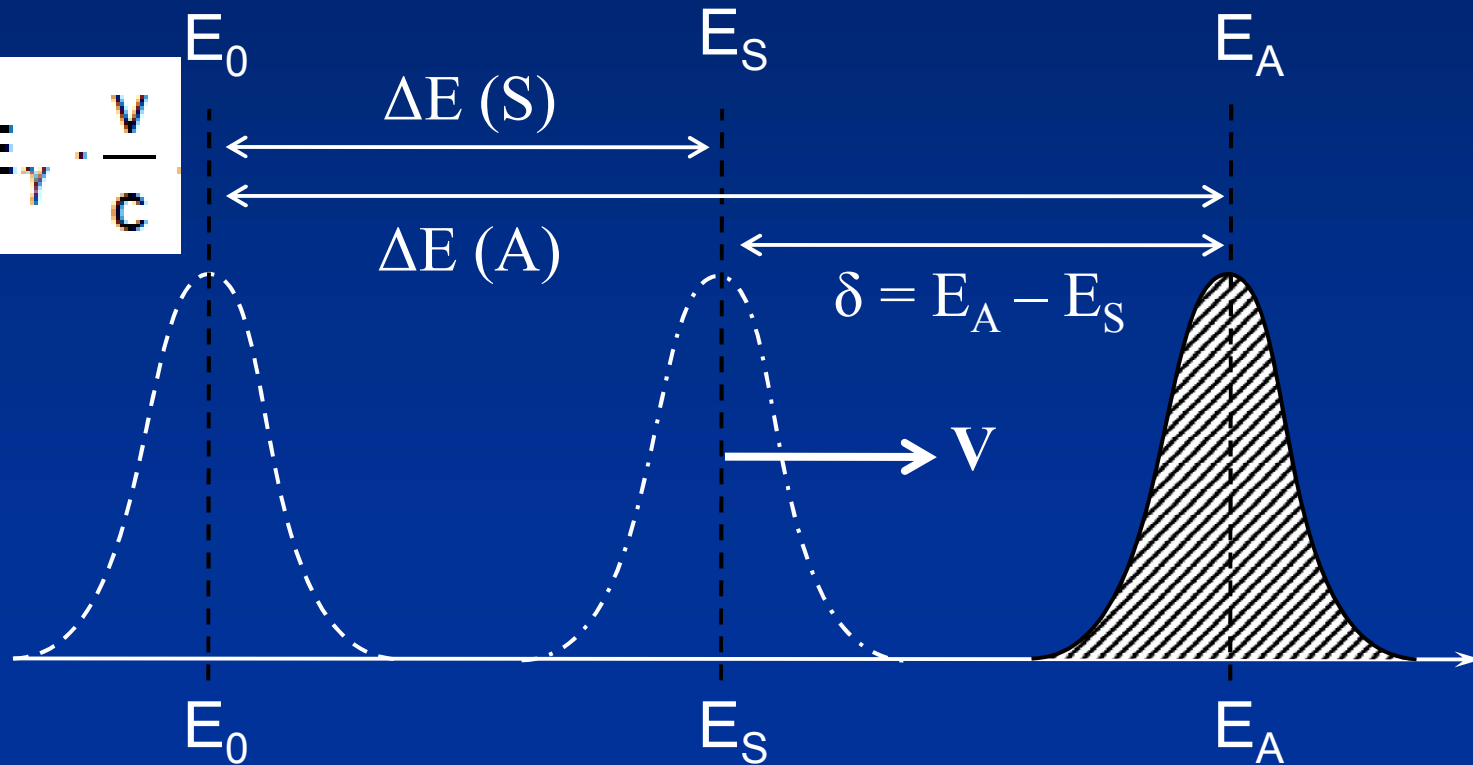


Oxidationszustand
 Spinzustand
 Bindungseigenschaften
 Elektronegativität

Messung der Isomerieverschiebung durch Ausnutzung des Doppler-Effekts.



$$\delta E = E_\gamma \cdot \frac{v}{c}$$



$$\Delta E(S) = E_S - E_0 = C |\Psi(0)|_S^2 (R_e^2 - R_g^2), \quad C = \frac{2}{3}\pi Z e^2$$

$$\Delta E(A) = E_A - E_0 = C |\Psi(0)|_A^2 (R_e^2 - R_g^2)$$

$$\delta = \Delta E(A) - \Delta E(S) = E_A - E_S$$

$$\delta = C \{ |\Psi(0)|_A^2 - |\Psi(0)|_S^2 \} (R_e^2 - R_g^2)$$

Für unveränderte Quelle: $|\Psi(0)|_S^2 = \text{const}$

$$\longrightarrow \delta = C \{ |\Psi(0)|_A^2 \} (R_e^2 - R_g^2)$$

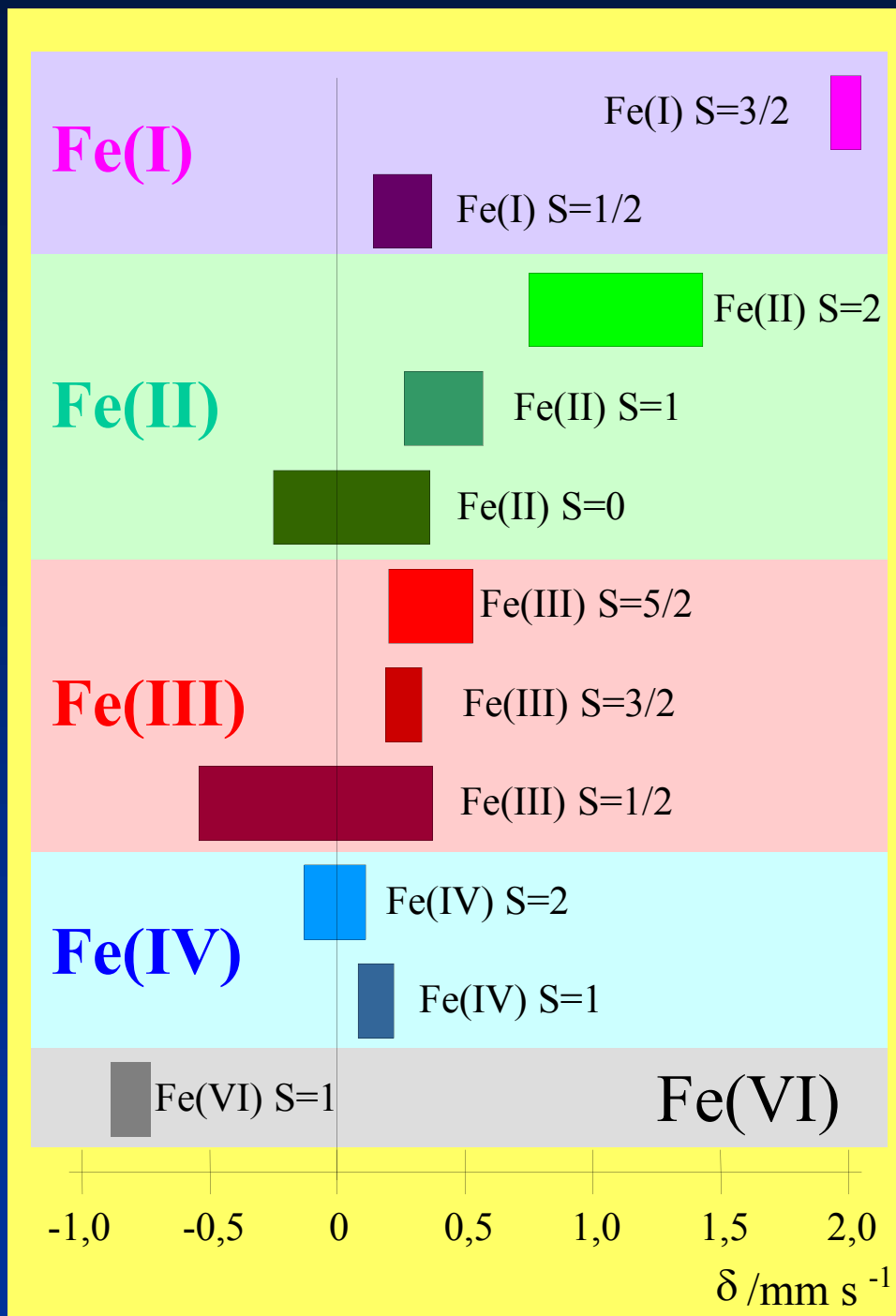
Merke:

Für ^{57}Fe : $(R_e^2 - R_g^2) < 0$

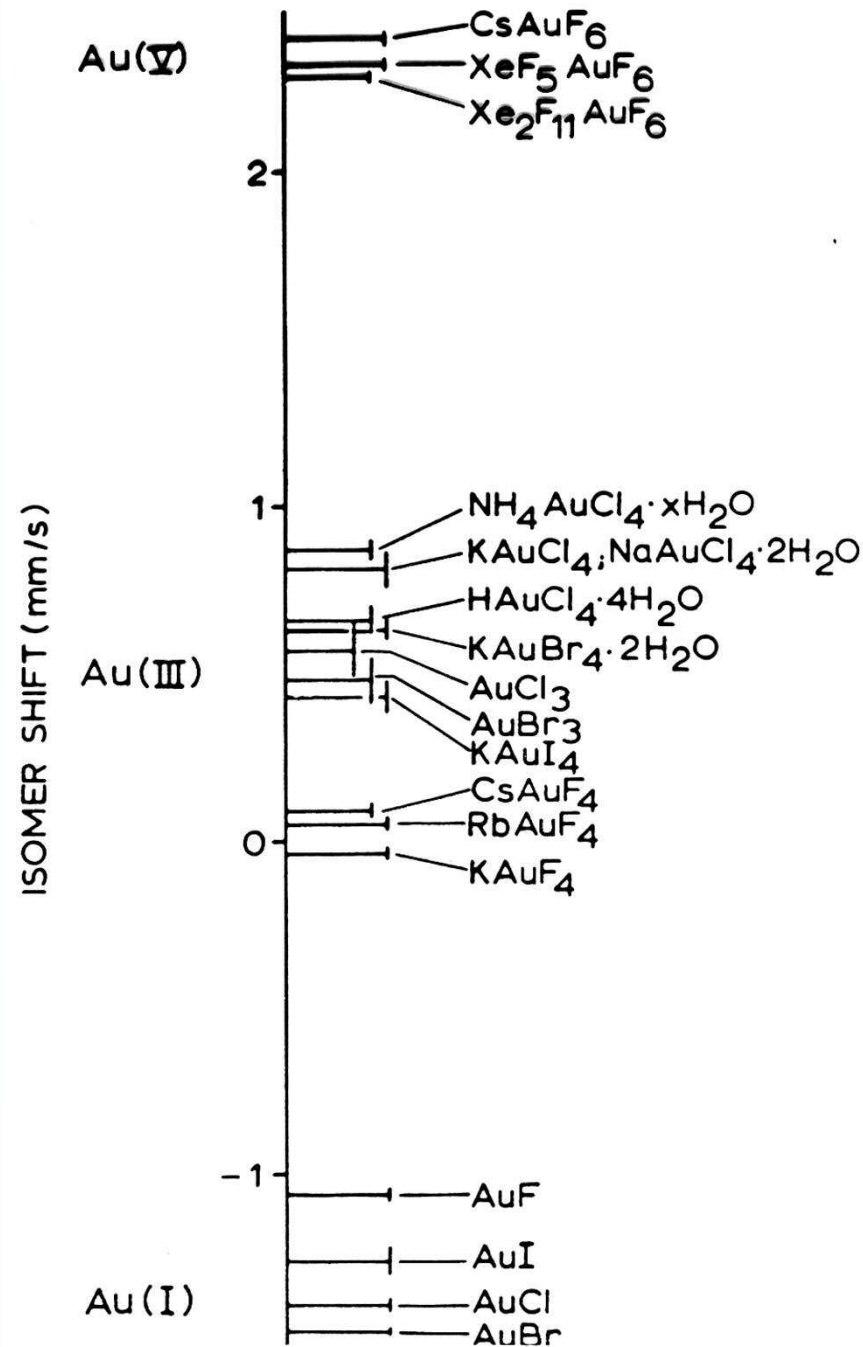
Isomerie- verschiebung δ von Eisenverbindungen

$$\delta = C \{ |\Psi(0)|_A^2 - |\Psi(0)|_S^2 \} (R_e^2 - R_g^2)$$

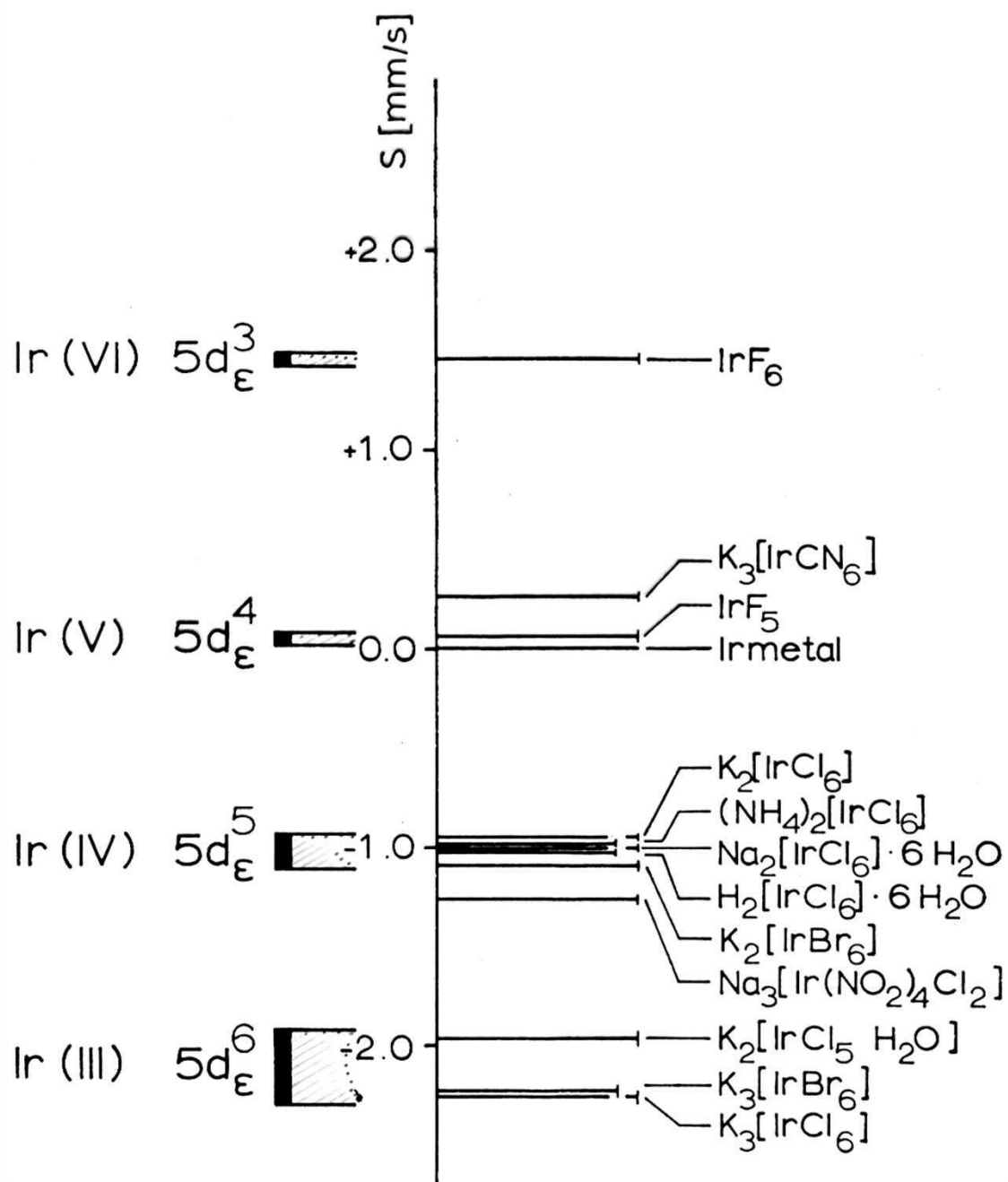
Für ^{57}Fe :
 $(R_e^2 - R_g^2) < 0$



Isomerie- verschiebung von Goldverbindungen: ^{197}Au -Mössbauer- Spektroskopie



$$^{197}\text{Au} : (R_e^2 - R_g^2) > 0$$



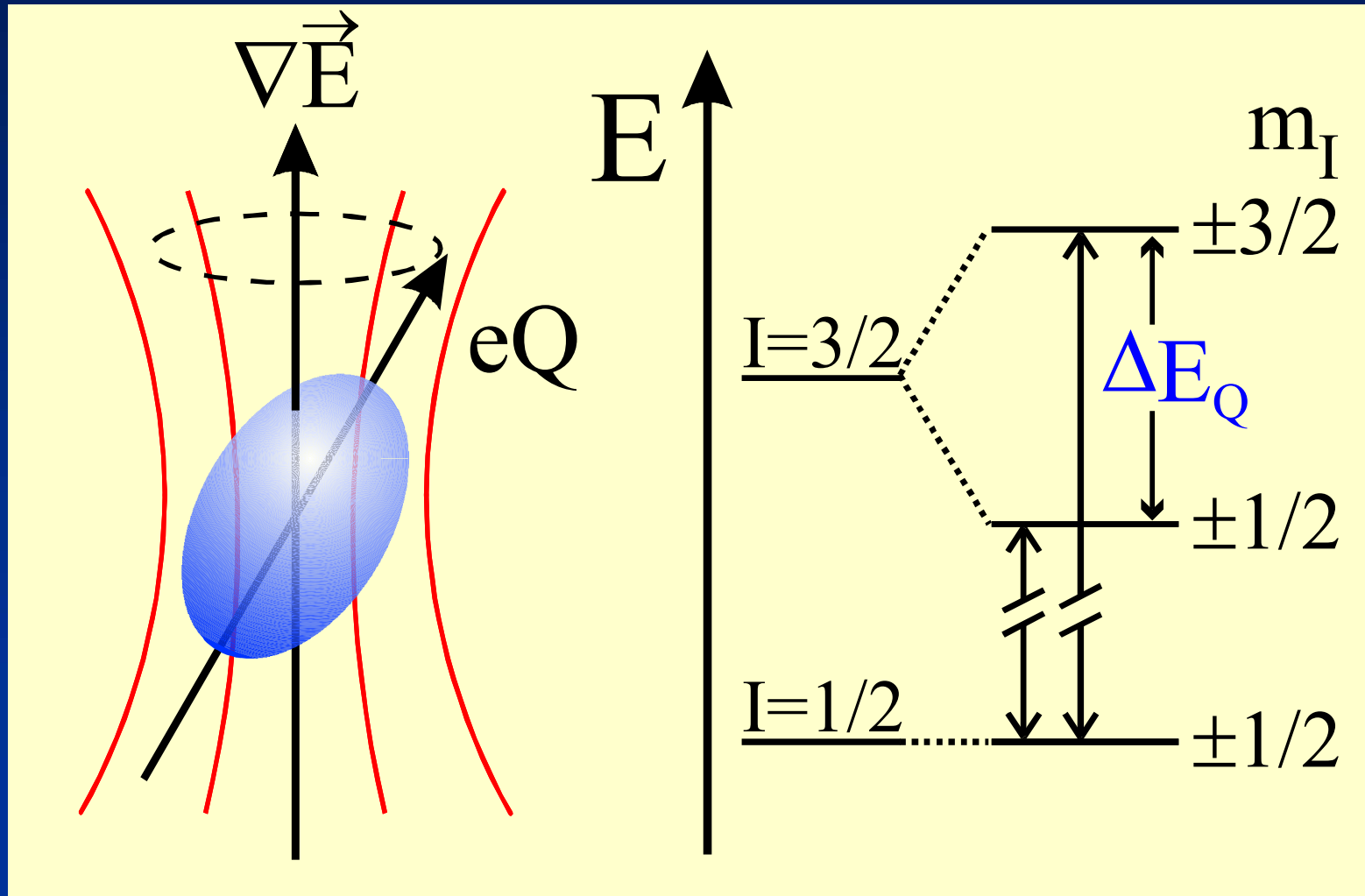
Isomerieverschiebung von Iridiumverbindungen: ^{193}Ir -Mössbauer Spectroskopie

$$^{193}\text{Ir} : (R_e^2 - R_g^2) > 0$$

(F. Wagner et al.)

Elektrische Quadrupol-Wechselwirkung Quadrupol-Aufspaltung ΔE_Q

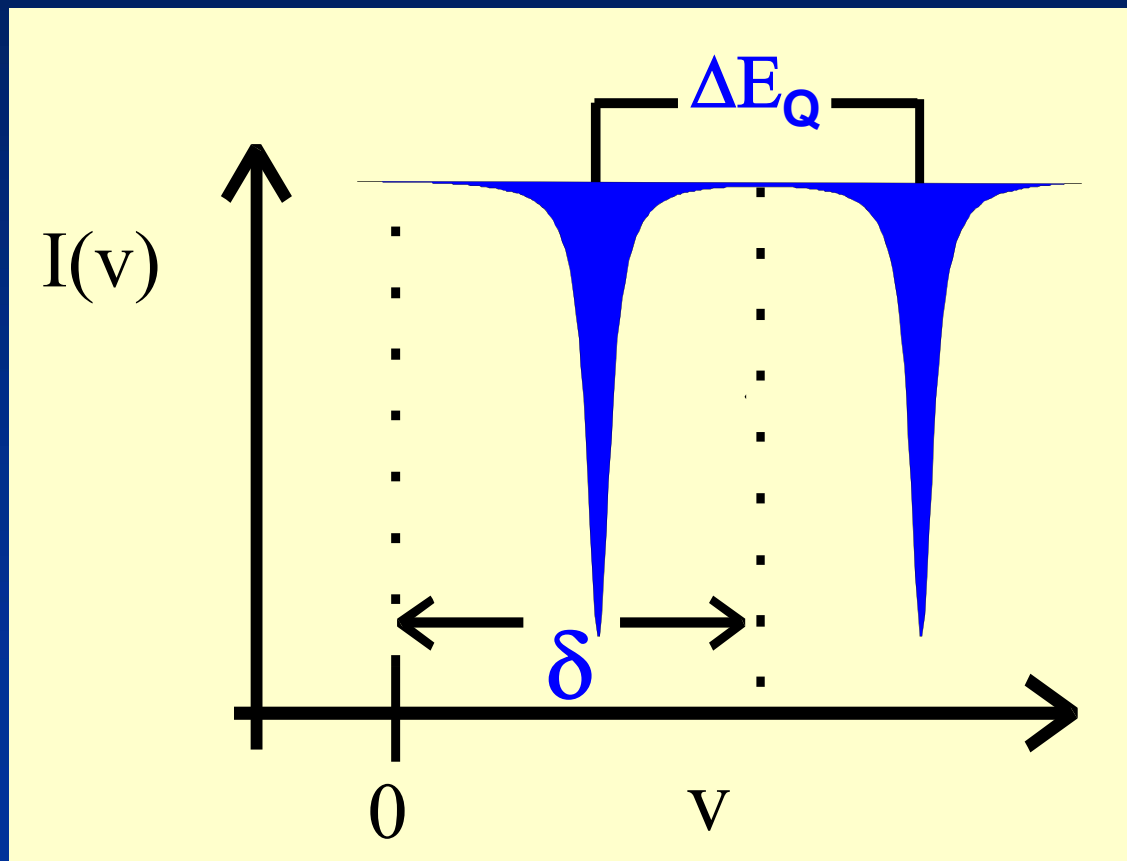
Kernspin I : $(I + \frac{1}{2})$ Zustände



$$\Delta E_Q \sim eQ \cdot V_{zz}$$

Q – Kernquadrupolmoment, V_{zz} – z-Komponente des EFG

^{57}Fe : $Q = 0,082 \text{ b}$, $\Delta E_Q = 1 \text{ mm/s} \rightarrow V_{zz} = 2,34 \cdot 10^{18} \text{ V/m}^2$



Oxidations-,
Spinzustand,
Symmetrie

Two kinds of contributions to the EFG:

$$(\mathbf{EFG})^{\text{total}} = (\mathbf{EFG})^{\text{val}} + (\mathbf{EFG})^{\text{lat}}$$

or in the principal axes system and $\eta = 0$:

$$(V_{zz})^{\text{total}} = (V_{zz})^{\text{val}} + (V_{zz})^{\text{lat}}$$

The **lattice contribution** $(V_{zz})^{\text{lat}}$ arises from non-cubic arrangement of the next nearest neighbours

$$(V_{zz})^{\text{lat}} = \sum_{i=1}^n q_i r_i^{-3} (3 \cos^2 \vartheta_i - 1)$$

q_i : charge on ligand i

r_i : distance of ligand i from Mössbauer central atom

Diagonal $(EFG)^{\text{val}}$ tensor elements for p- and d-electrons (per electron)

Orbital	$\frac{(V_{xx})_{\text{val}}}{e\langle r^{-3} \rangle}$	$\frac{(V_{yy})_{\text{val}}}{e\langle r^{-3} \rangle}$	$\frac{(V_{zz})_{\text{val}}}{e\langle r^{-3} \rangle}$
p-Electrons			
p_x	-4/5	+2/5	+2/5
p_y	+2/5	-4/5	+2/5
p_z	+2/5	+2/5	-4/5
d-Electrons			
d_{xy}	-2/7	-2/7	+4/7
d_{xz}	-2/7	+4/7	-2/7
d_{yz}	+4/7	-2/7	-2/7
$d_{x^2-y^2}$	-2/7	-2/7	+4/7
d_{z^2}	+2/7	+2/7	-4/7

Example: $[\text{Fe}(\text{H}_2\text{O})_6]^{3+}$, ${}^6\text{A}_1$

Free Ion

$[\text{ML}_6] (\text{O}_h)$



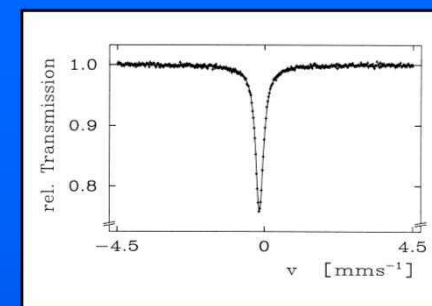
$|z^2\rangle$
 $|x^2-y^2\rangle$



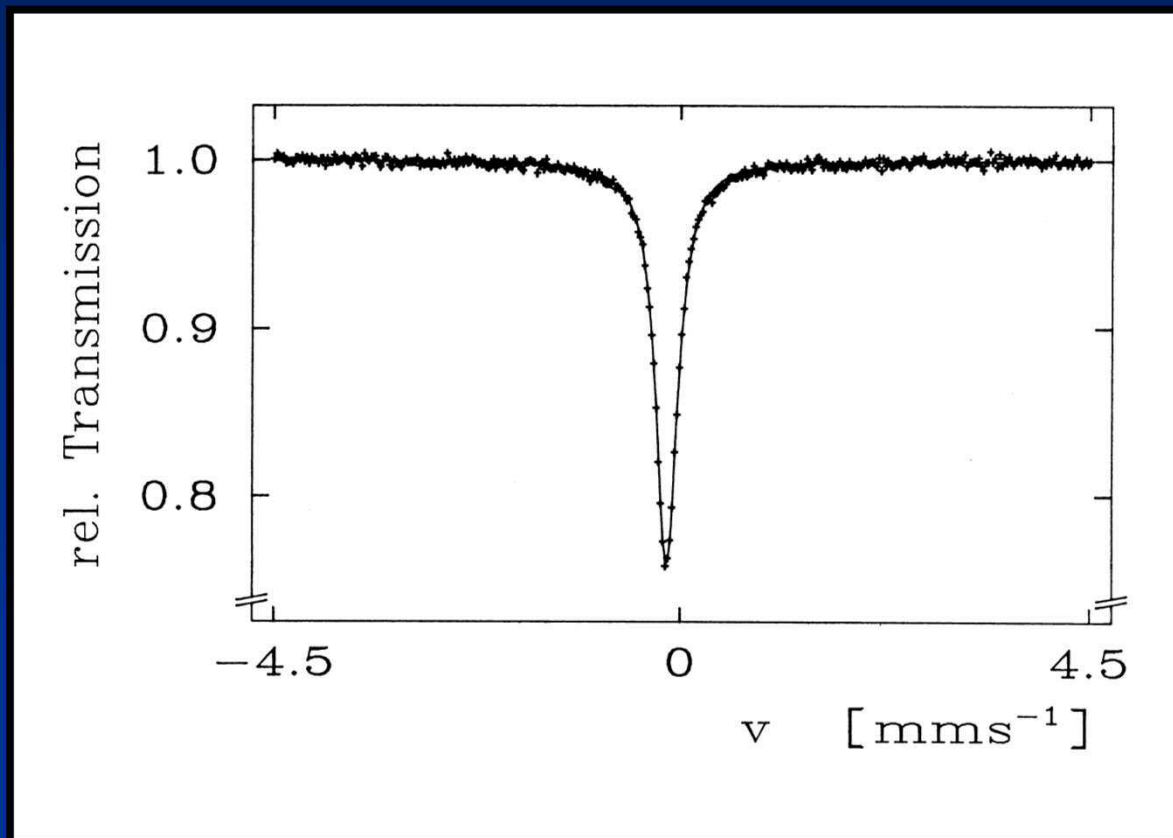
$|xz\rangle$
 $|yz\rangle$
 $|xy\rangle$

$$\text{EFG}^{\text{lat}} = 0$$

$$\text{EFG}^{\text{val}} = 0$$

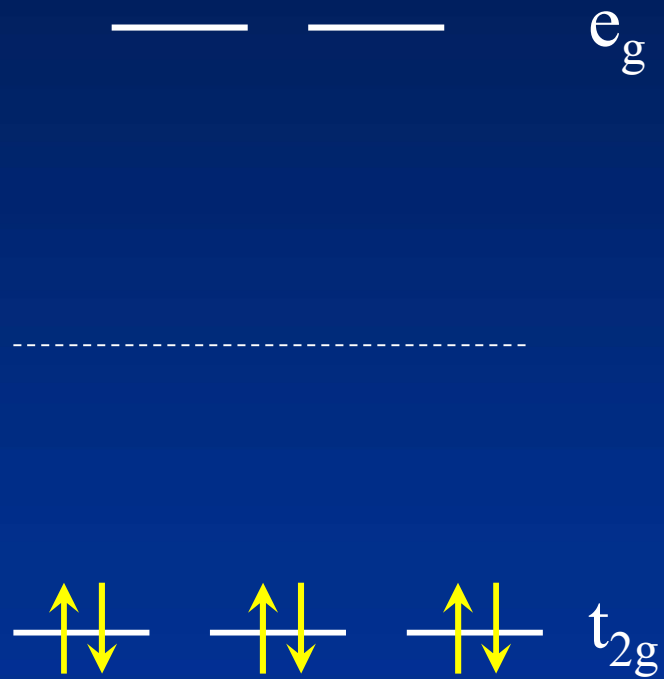


$\text{K}_4[\text{Fe}(\text{CN})_6]$
Fe(II)-LS, $S=0$
cubic




$$O_h$$

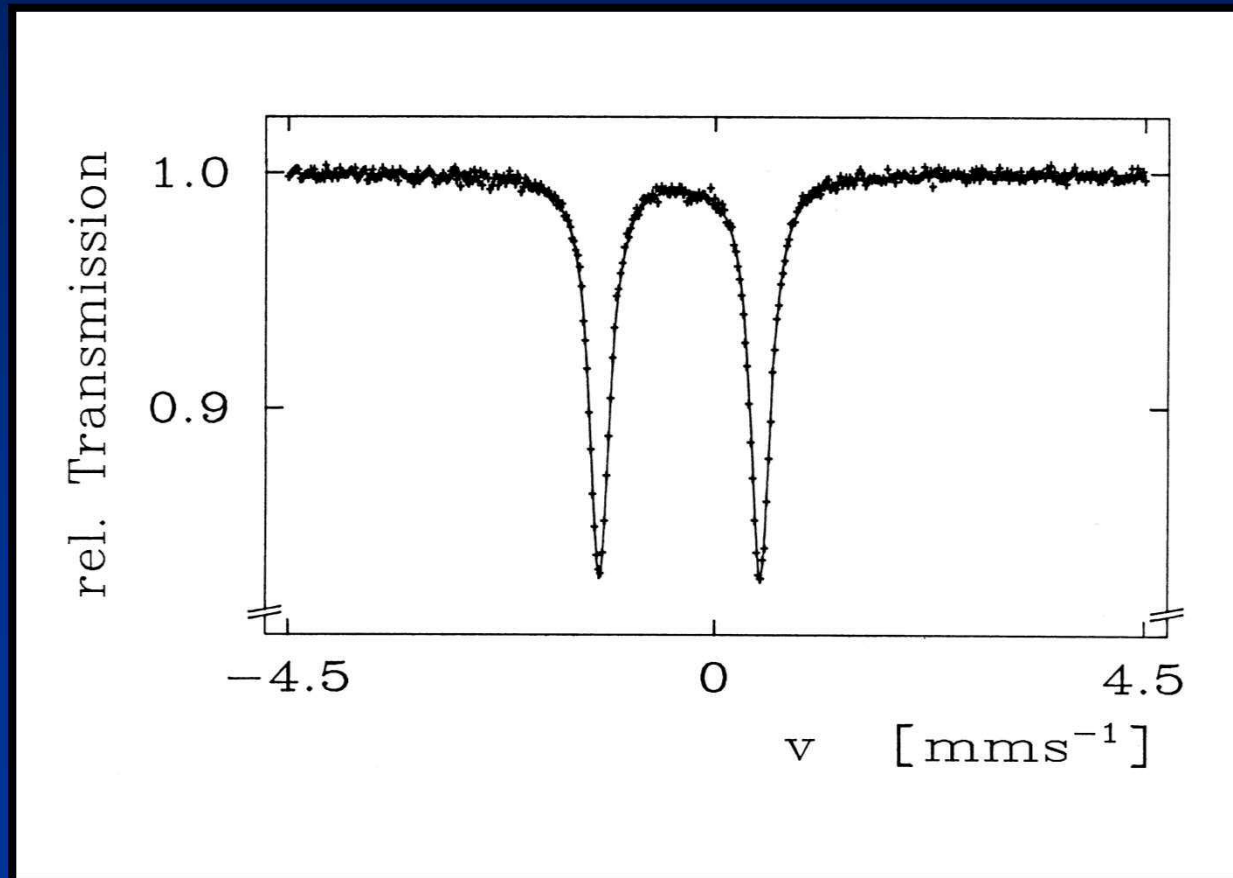
Freies
Ion



$$\text{EFG}^{\text{lat}} = 0$$

$$\text{EFG}^{\text{val}} = 0$$

$\text{Na}_2[\text{Fe}(\text{CN})_5\text{NO}]$
Fe(II)-LS, $S=0$
tetragonal

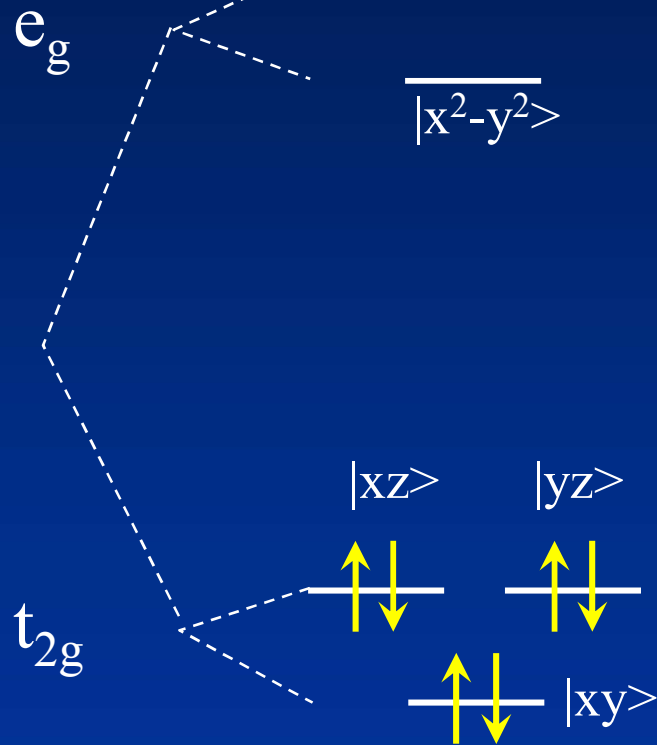




O_h

C_{4v}

Freies Ion



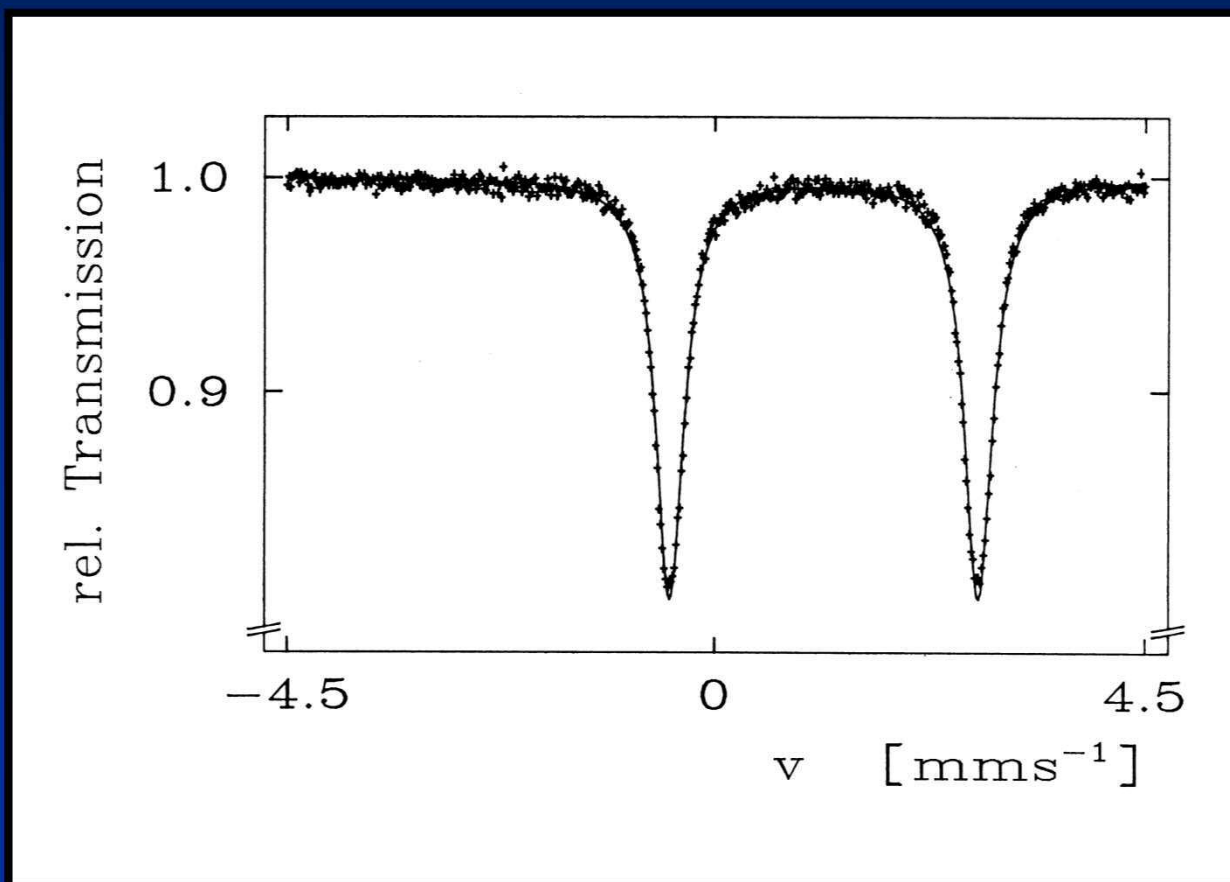
$\text{EFG}^{\text{lat}} = 0$

$\dots \neq 0$

$\text{EFG}^{\text{val}} = 0$

$\dots = 0$

$\text{FeSO}_4 \cdot 7\text{H}_2\text{O}$
 $[\text{Fe}(\text{H}_2\text{O})_6]^{2+}$
 $\text{Fe(II)-HS}, S=2$





Jahn-Teller-Verzerrung

gestaucht

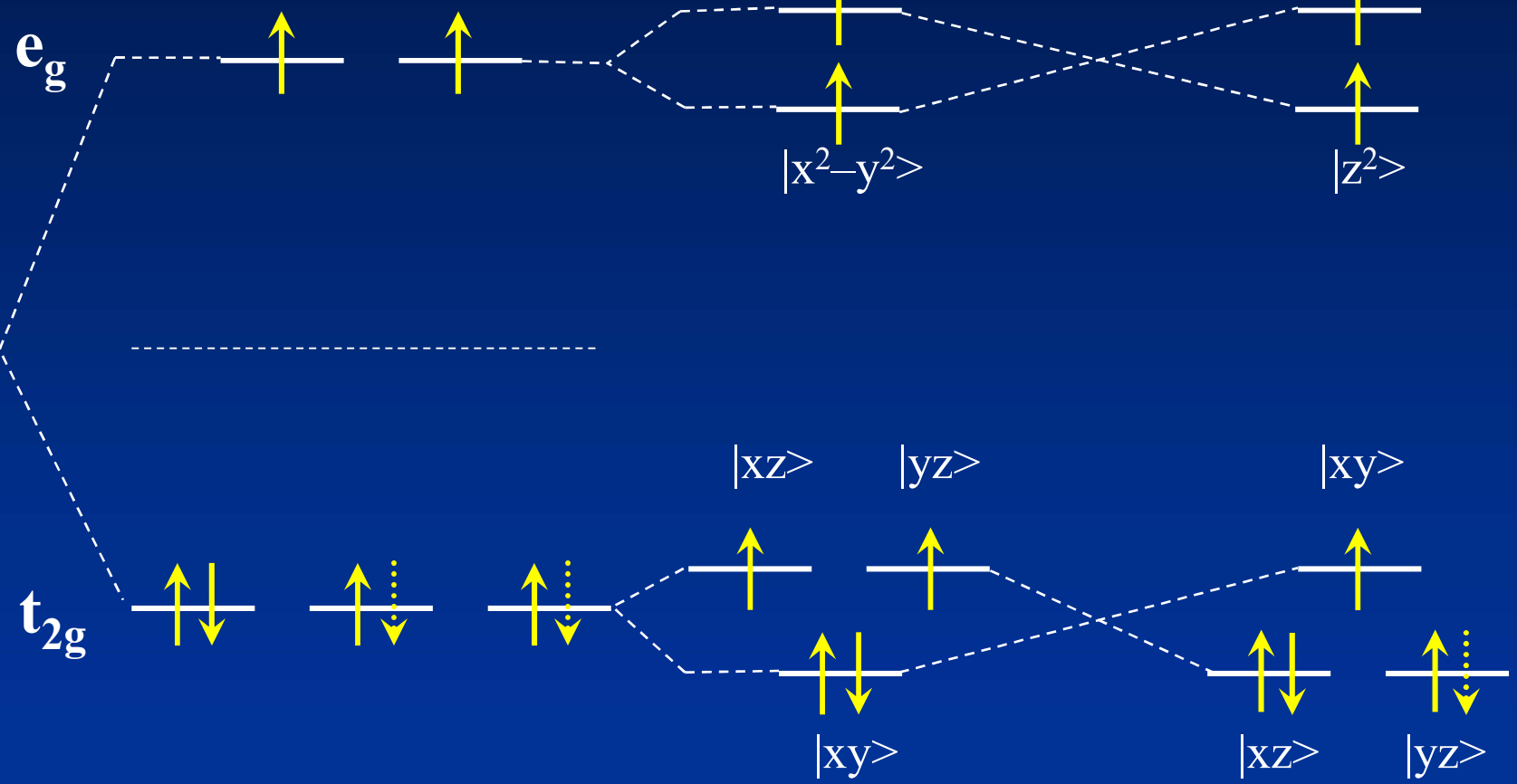
gestreckt

O_h (⁵T₂)

D_{4h}

D_{4h}

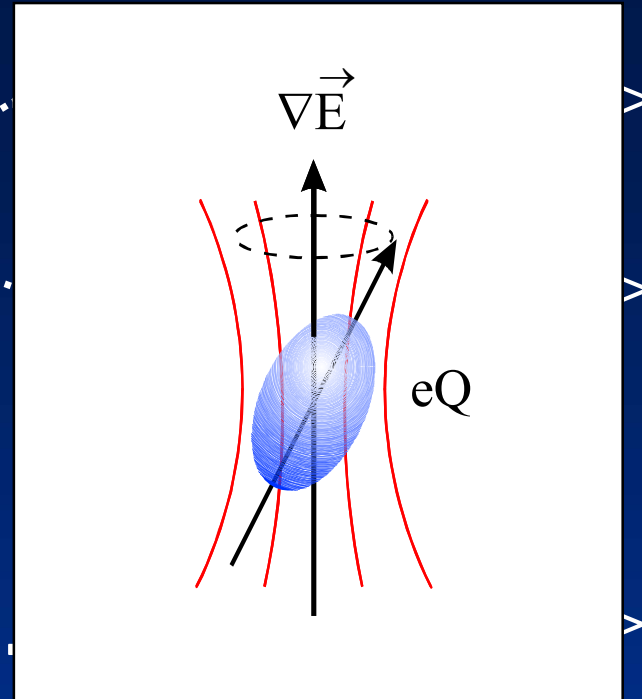
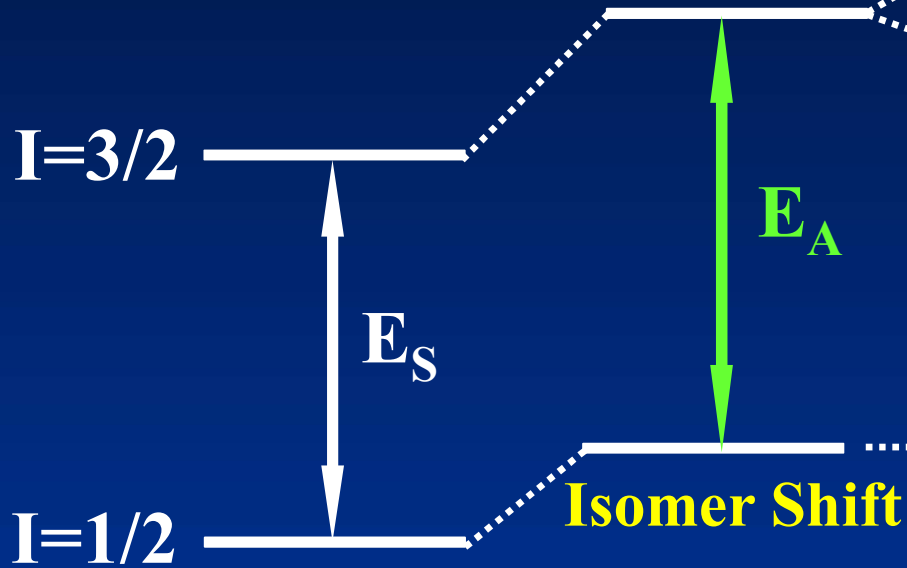
Freies Ion



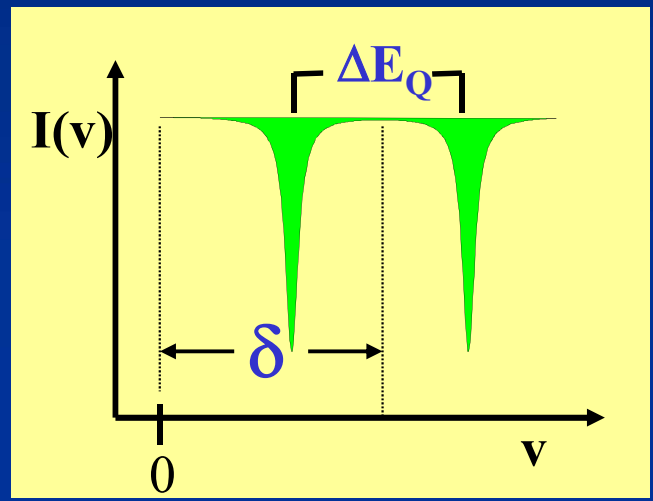
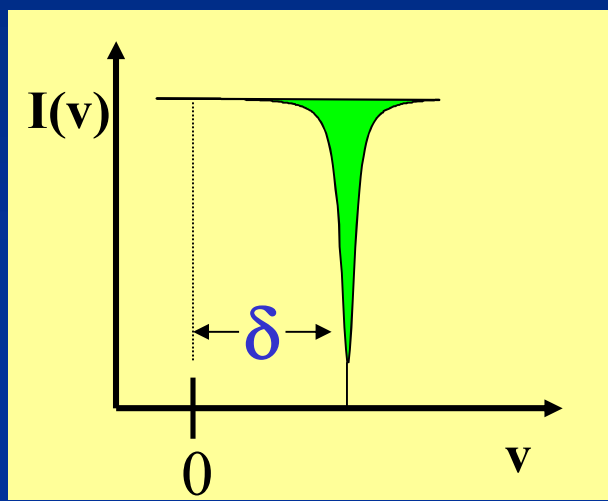
EFG ^{lat} ...	= 0	≠ 0, klein	≠ 0, klein
EFG ^{val} ...	= 0	≠ 0, groß	≠ 0, klein

Electric Monopole Int.

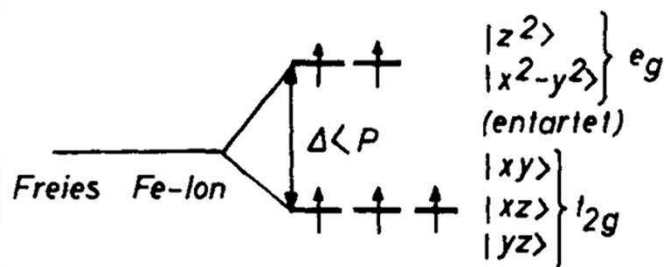
Electric Quadrupole Int.



$$\delta = E_S - E_A$$

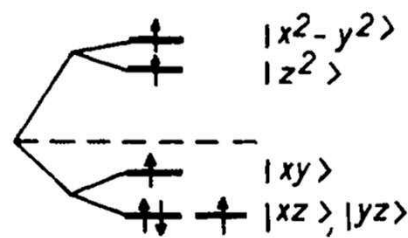


Valence electron contribution (EFG)^{val} to Electric Field Gradient of Iron Compounds



Fe³⁺ - „High Spin“

$$q_{Val} = 0$$

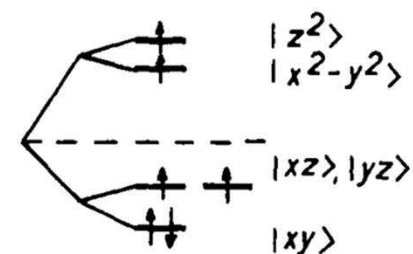


a)

Fe²⁺ - „High Spin“ mit Jahn-Teller-Effekt

a) Streckung in Z-Richtung

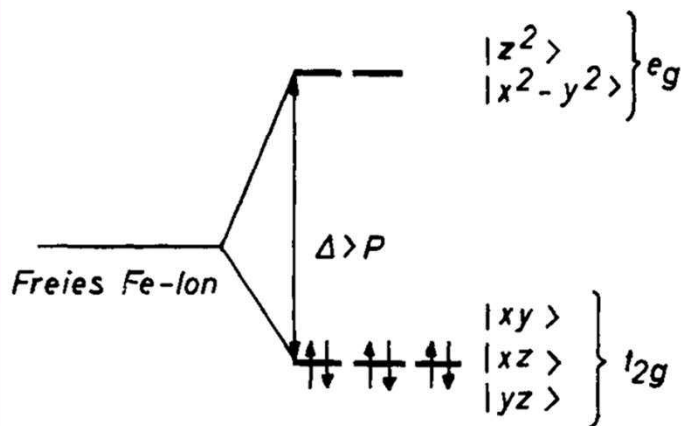
$$q'_{Val} \neq 0$$



b)

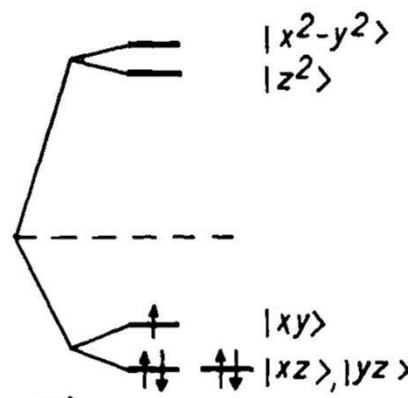
b) Stauchung in Z-Richtung

$$q''_{Val} \approx 2q'_{Val}$$



Fe²⁺ - „Low Spin“

$$q_{Val} = 0$$

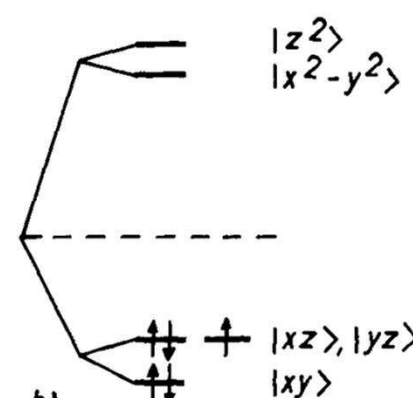


a)

Fe³⁺ - „Low Spin“ mit Jahn-Teller-Effekt

a) Streckung in Z-Richtung

$$q_{Val} \neq 0$$



b)

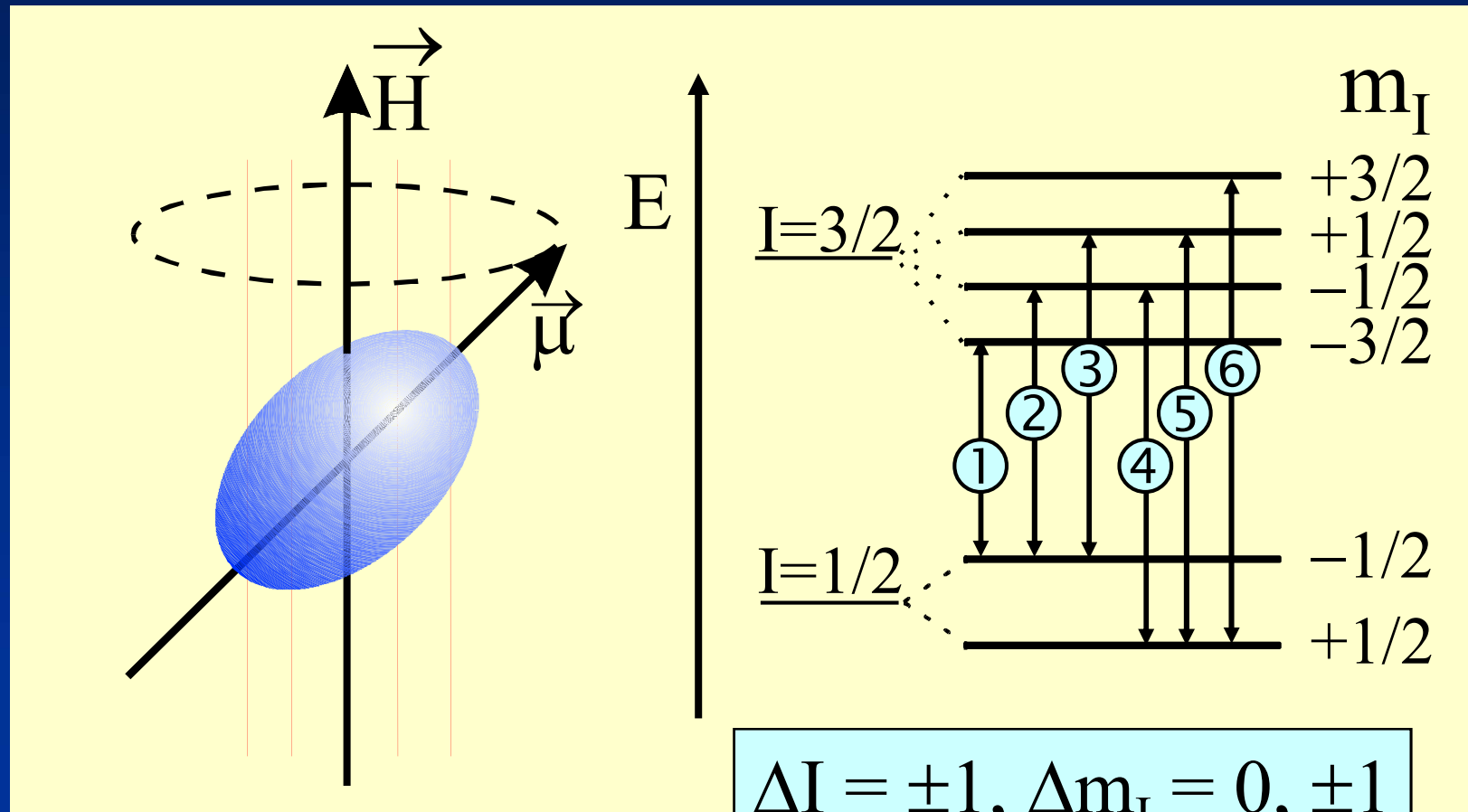
b) Stauchung in Z-Richtung

$$q_{Val} \neq 0$$

Magnetische Dipol-Wechselwirkung

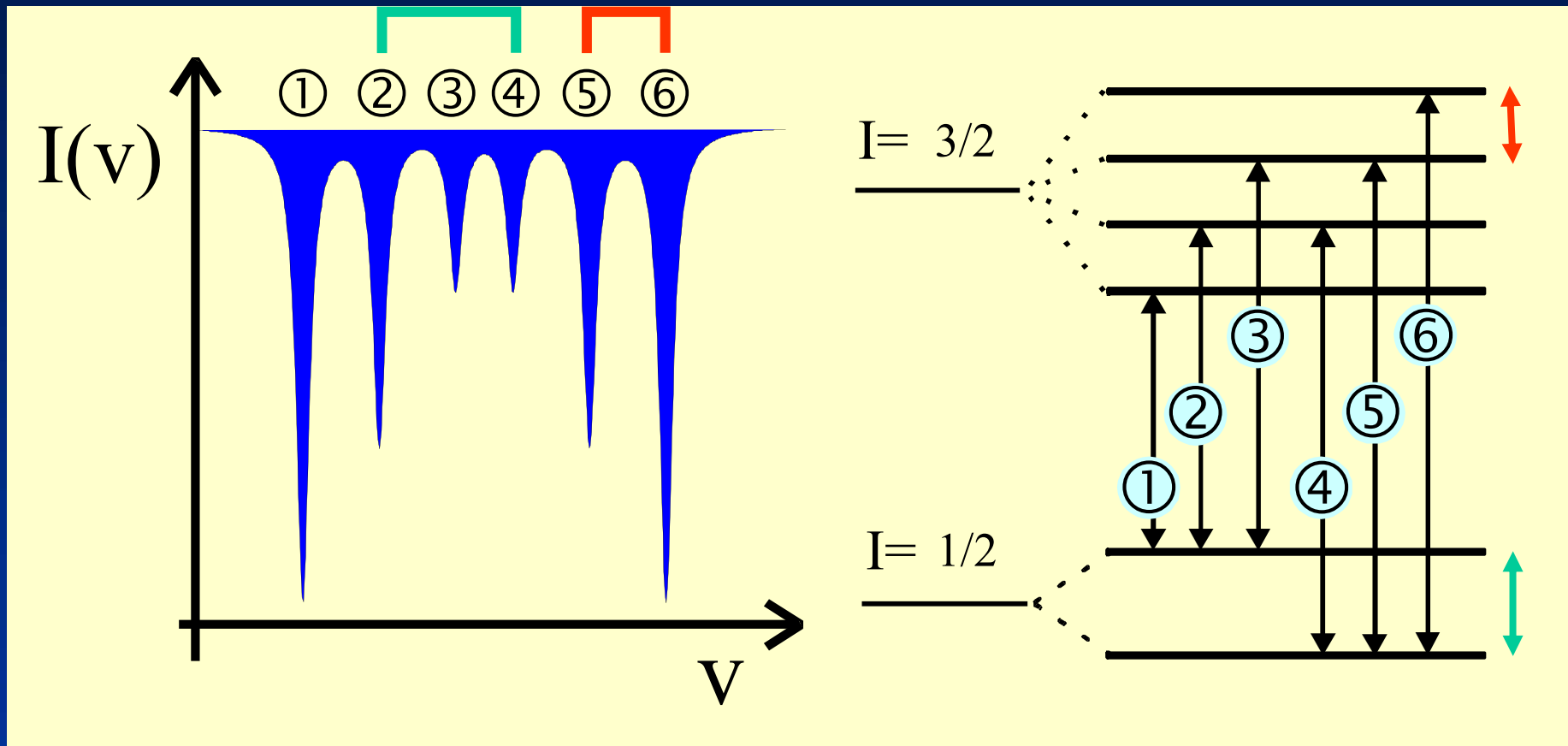
Magnetische Aufspaltung ΔE_M

I -Kernspin, m_I –magnetische Spinquantenzahl



$$E_M(m_I) = -\mu H_{hf} m_I / I$$

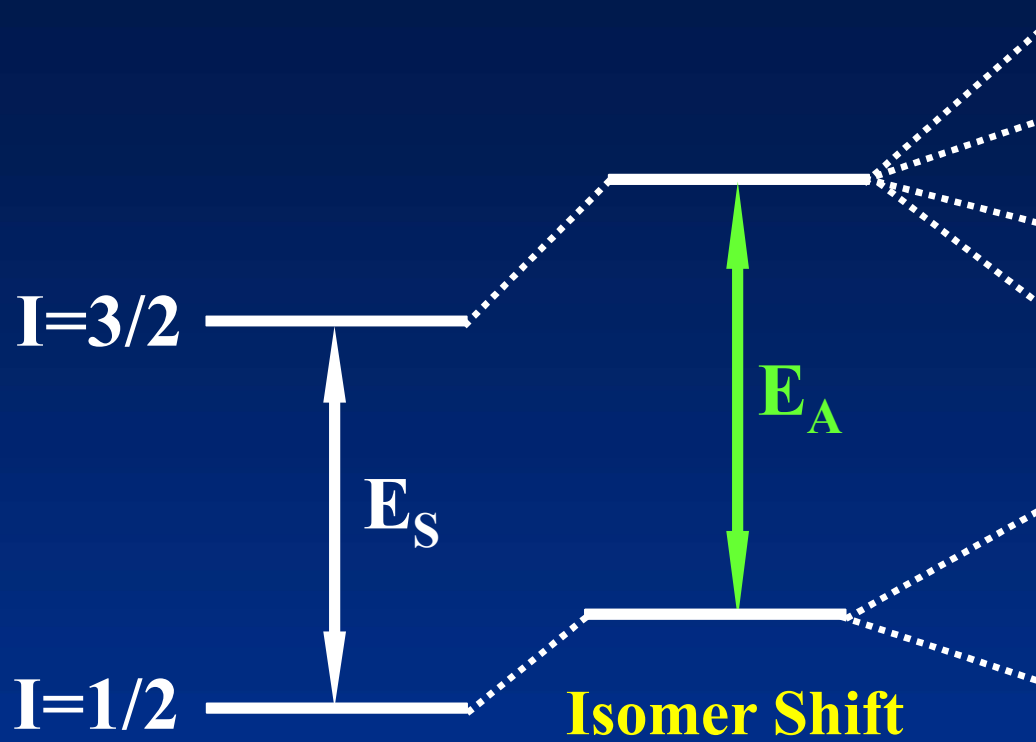
I -Kernspin, m_I –magnetische Spinquantenzahl



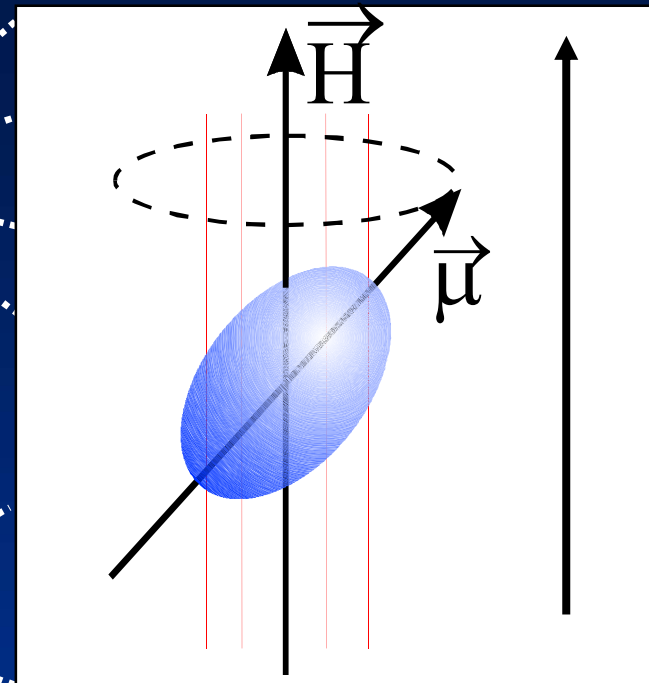
**Ferro-, Antiferro-,
Ferri -Magnetismus**

Electric Monopole Int.

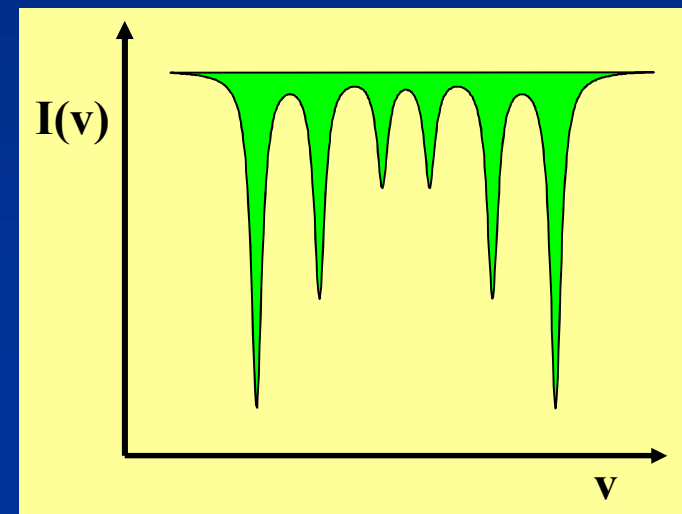
Magnetic Dipole Int.



Isomer Shift



Magnetic Dipole Splitting



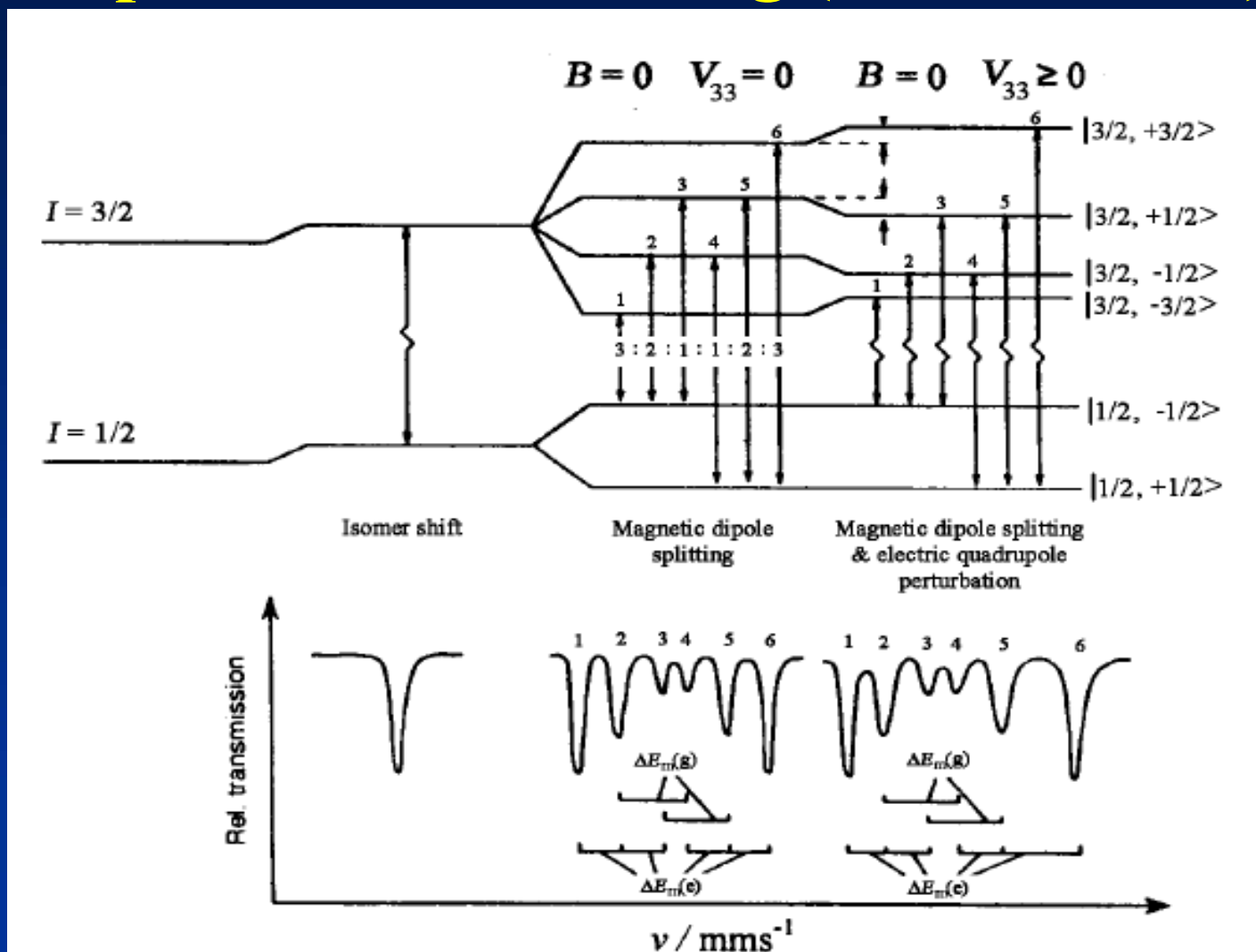
Bedingungen für Hyperfeinwechselwirkungen

Art der Wechselwirkung	Kern-Bedingung	Elektronische Bedingung	Konsequenz
Elektr. Monopol-Wechselw.	$R_a^2 \neq R_g^2$	$ \Psi(0) _A^2 \neq \Psi(0) _S^2$	Unterschiedliche Verschiebg. der Kernenergieniveaus → Isomer shift δ
Elektr. Quadrupol-Wechselw.	Elektr. Quadrupolmoment $eQ \neq 0$ $(I > 1/2)$	EFG $\neq 0$	Kernenergieniveaus spalten auf in $I + 1/2$ Subniveaus $ I, \pm m_I\rangle$ (zweifach entartet) → Quadrupol-Aufspaltung ΔE_Q
Magnetische Dipol-Wechselw.	Magn. Dipolmoment $\mu \neq 0$ $(I > 0)$	$H \neq 0$	Kernniveaus $ I\rangle$ spalten auf in $2I+1$ Niveaus $ I, m_I\rangle$ mit $m_I = +I, +I-1, \dots, -I$ → Magnet. Dipol-Aufspaltung ΔE_M

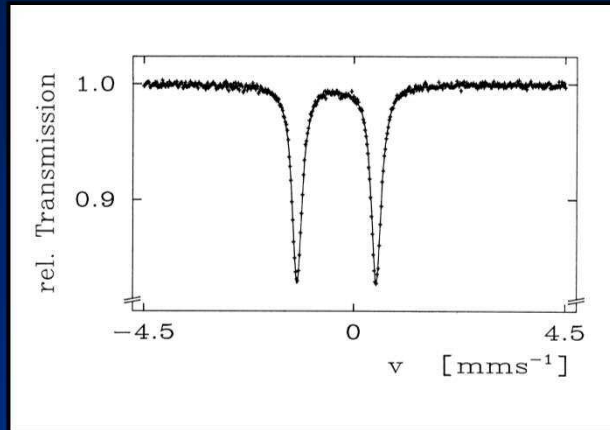
Mössbauer-Parameters

Parameter Formula	⁵⁷ Fe energy level diagram with allowed transition Source (S) Absorber (A)	Schematic representation of absorption vs. relative speed of source and absorber
Chemical isomer shift $\delta_C \propto \Delta E_{IS} = \beta \Delta \Psi(0) ^2$		
Second order Doppler shift $\delta_{SOD} \propto \Delta E_{SOD} = -\frac{\langle u^2 \rangle}{2c^2} E_0$		
Quadrupole splitting $\Delta \propto \Delta E_Q = \frac{1}{2} eQV_{33} \sqrt{1 + \frac{\eta^2}{3}}$		
Magnetic splitting $\Delta_m \propto \Delta E_m = -g_I \mu_N B$		
Peak width $W \geq W_0 \propto 2\Gamma = 2 \frac{\hbar \ln 2}{T_{1/2}}$		

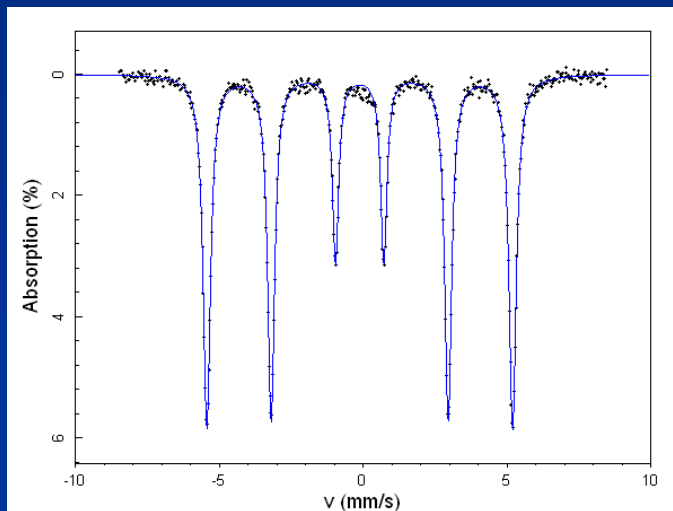
Elektrische Quadrupol- und Magnetische Dipol-Wechselwirkung (Kombinierte)



Auswertungsbeispiele



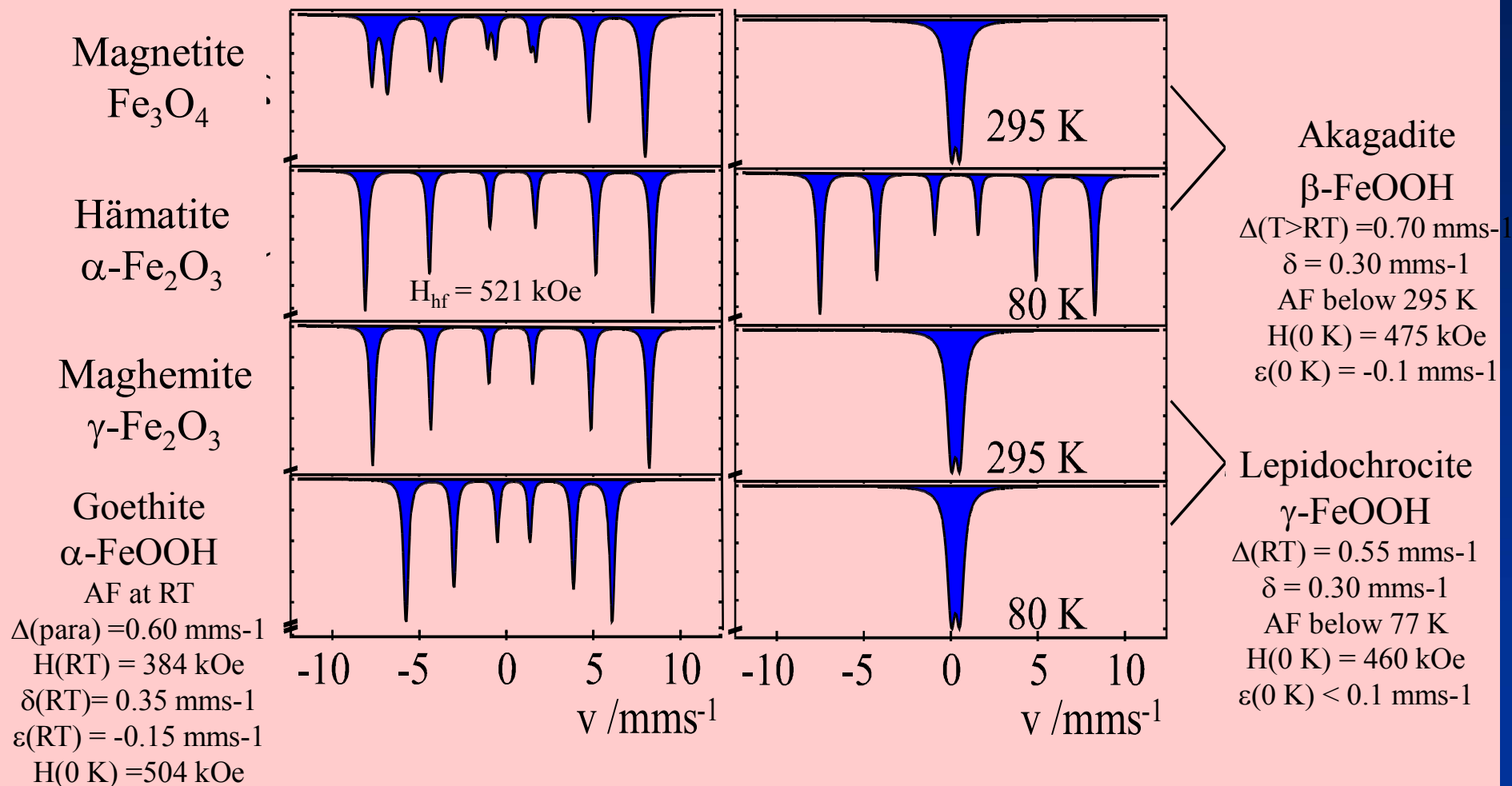
$\text{Na}_2[\text{Fe}(\text{CN})_5\text{NO}]$
Fe(II)-LS, $S=0$
tetragonal



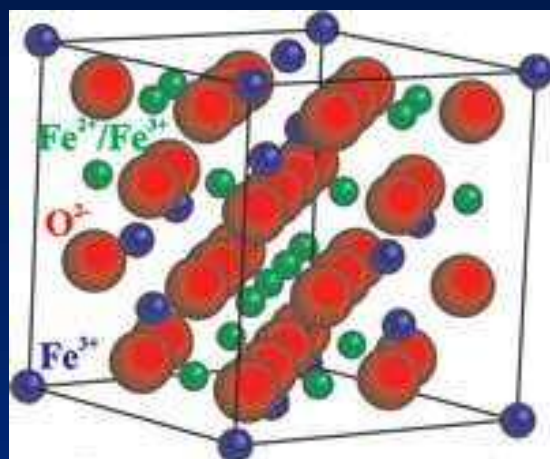
Alfa-Fe, cubic

**Anwendungen der
Mössbauer-Spektroskopie
in Chemie und
Materialforschung**

^{57}Fe -Mössbauer-Spektren von Korrosions-Produkten



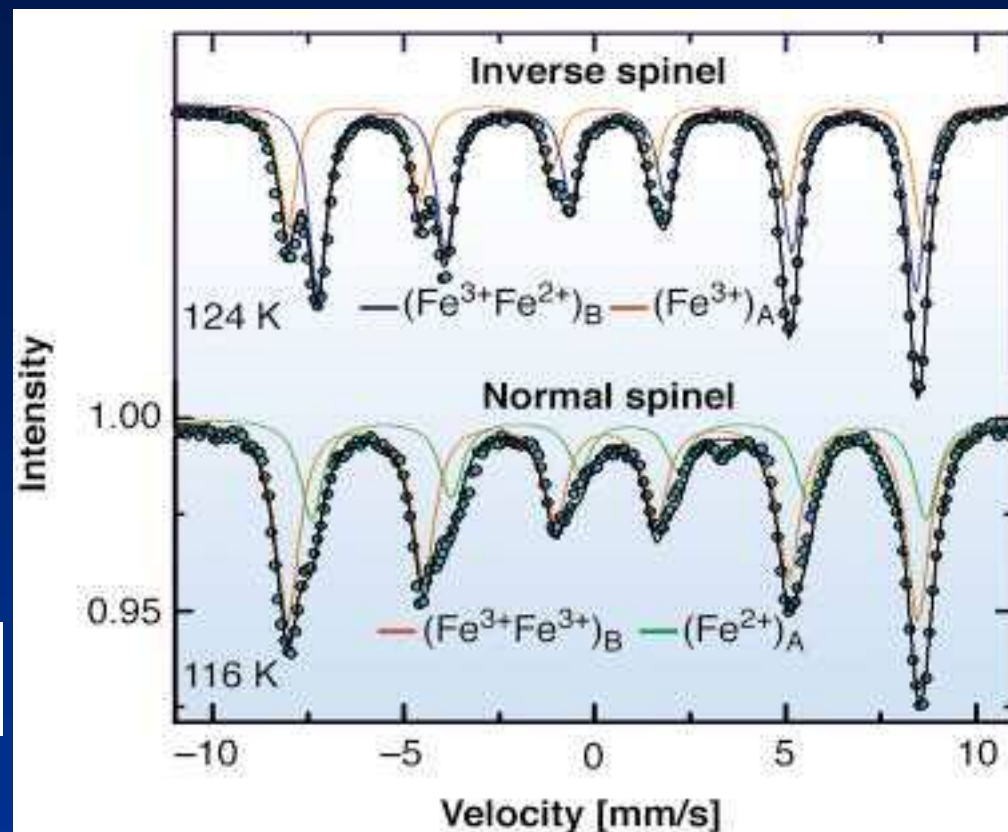
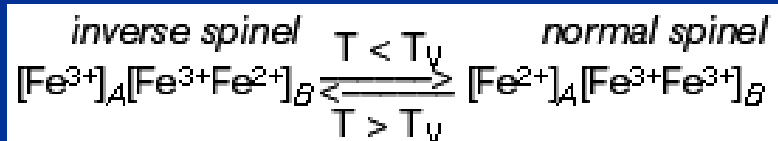
Verwey transition in magnetite Fe_3O_4



Verwey-Mott concept of CO within the B-sites



**Structural transformation:
cubic - cubic-distorted**

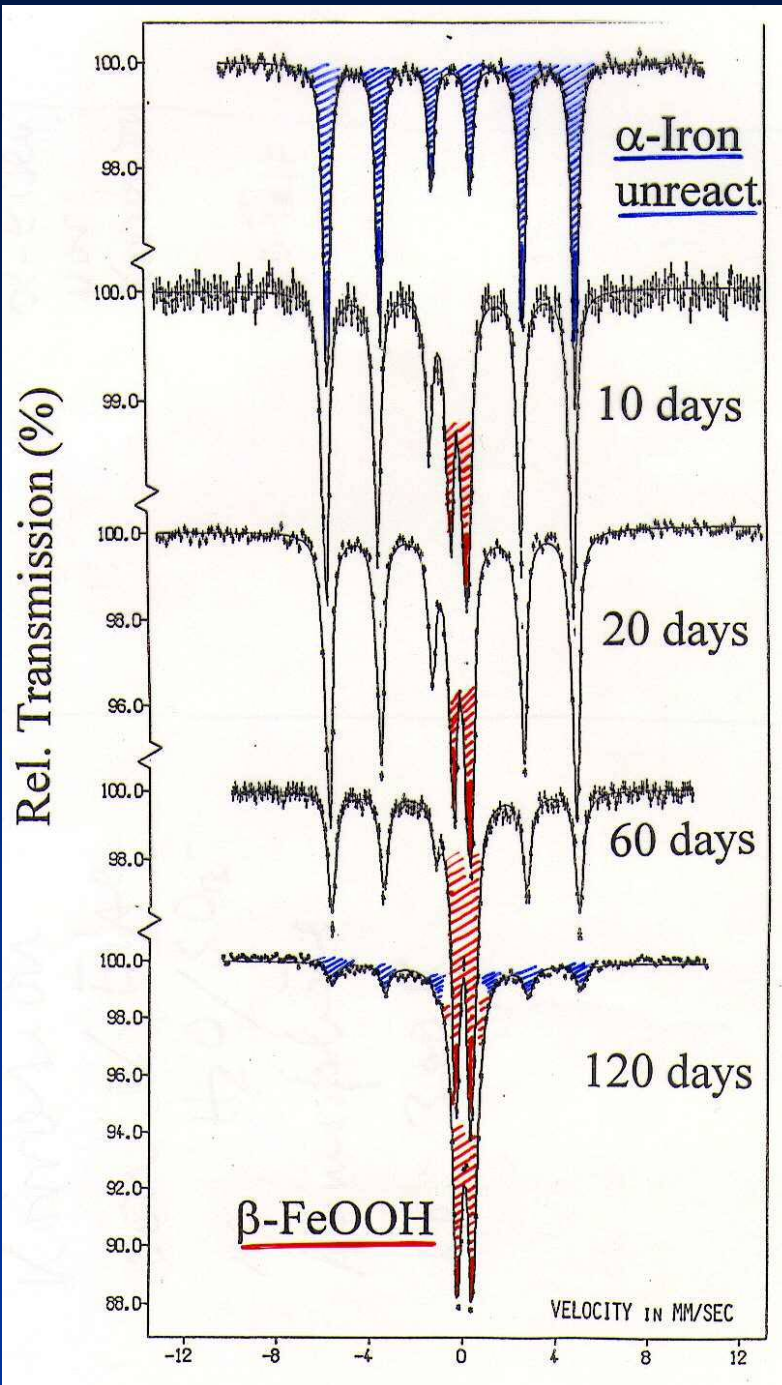


Quadrupolaufspaltung und magnetisches Hyperfeinfeld bei 4,2 K für einige Eisenoxide und Hydroxide

Tabelle 1 (Quadrupolaufspaltung und magnetisches Hyperfeinfeld bei 4,2 K für einige Eisenoxide und -hydroxide):

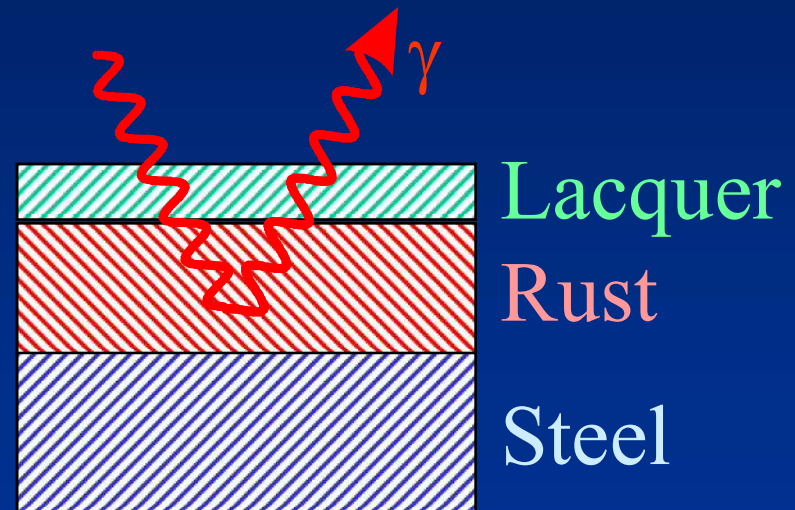
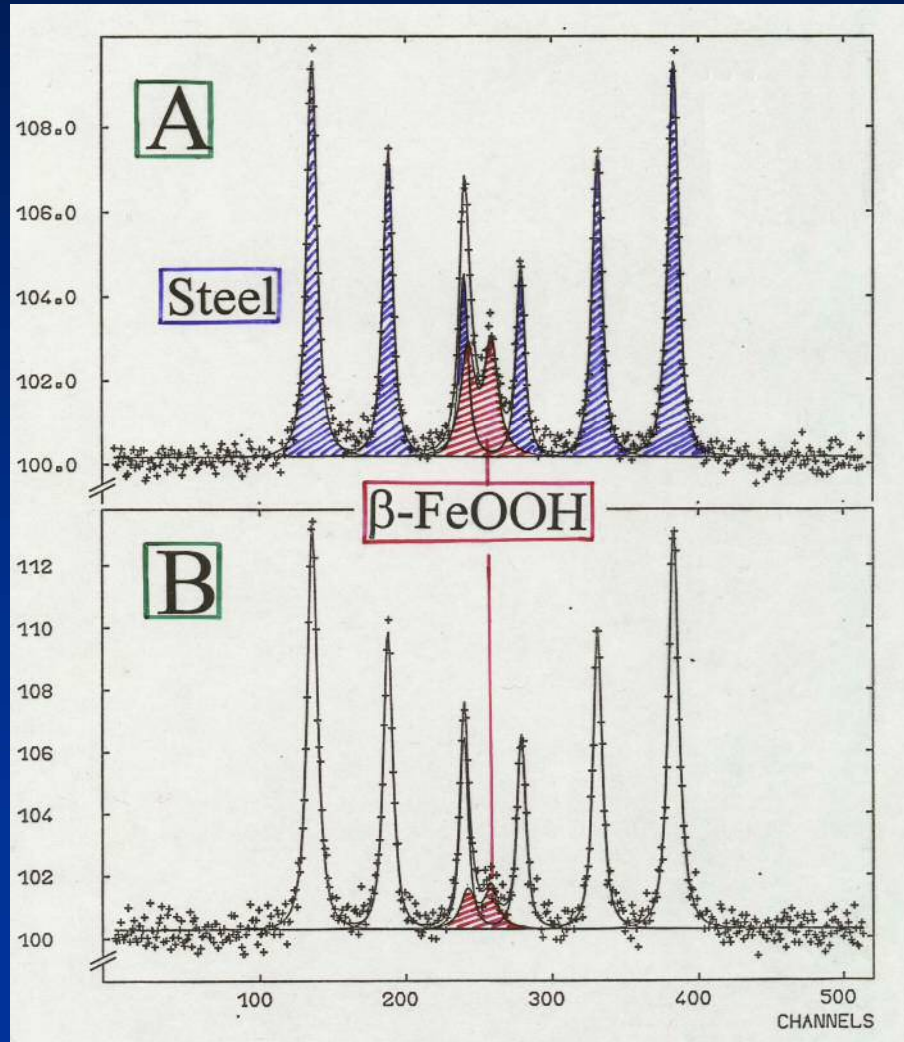
Eisenoxid/-hydroxid	ΔE_Q [mm/s]	B_{hf} [T]
Hämatit	0,41	54,2
Goethit	-0,26	50,6
Magnetit	3 Subspektren	45.7(1), 44.6(1), 48.9(1)
Maghemit	< 0,02	50,0 - 52,6
Akaganéit	-0,90	47,3
	-0,30	47,9
	-0,05	48,6
Lepidokrokit	0,03	46,0
Feroxyhit	0,01	53,5
Ferrihydrit	-0,02 bis -0,07	49,1

Corrosion of α -Iron in $\text{H}_2\text{O}/\text{SO}_2$ atmosphere at 300 K



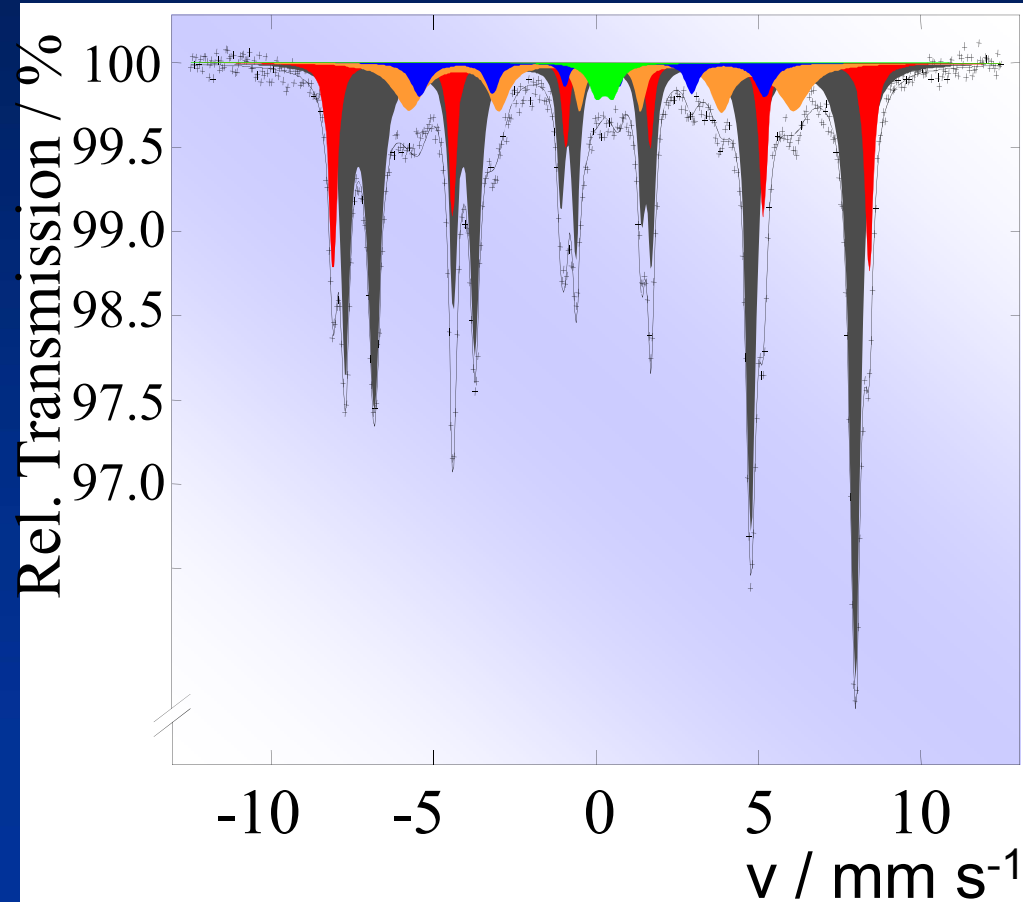
Corrosion product is
 β -FeOOH

Lacquer Coating Against Corrosion of Steel



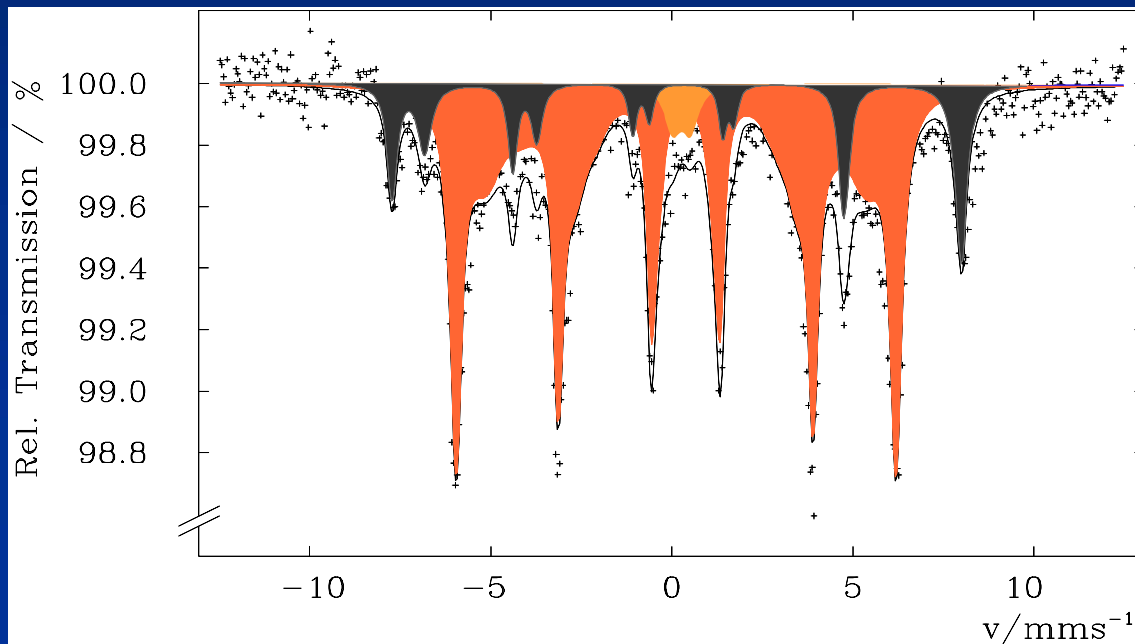
**A, B : Different lacquers,
Same corrosion conditions**

Corrosion Products in Cooling Systems of Power Plants



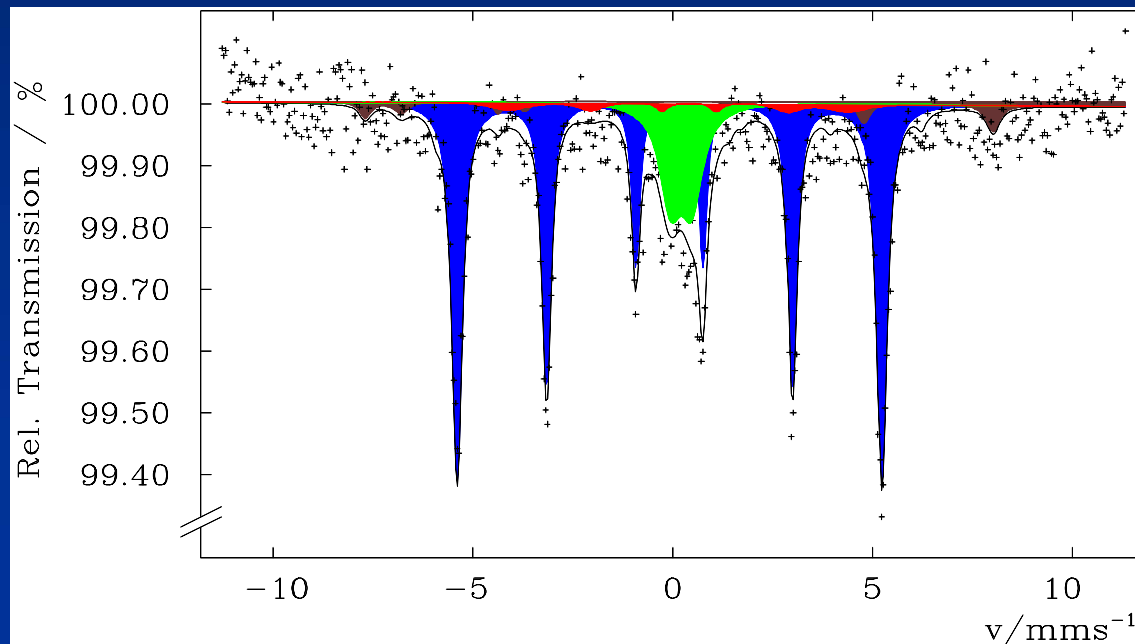
<u>Constituents</u>	<u>A/%</u>
Hematite, $\alpha\text{-Fe}_2\text{O}_3$	16
Magnetite, Fe_3O_4	64
Goethite, $\alpha\text{-FeOOH}$	13
Martensite	5
$\beta/\gamma\text{-FeOOH}$	2

^{57}Fe -Mössbauer-Spektrum einer 1 US Dollar-Note



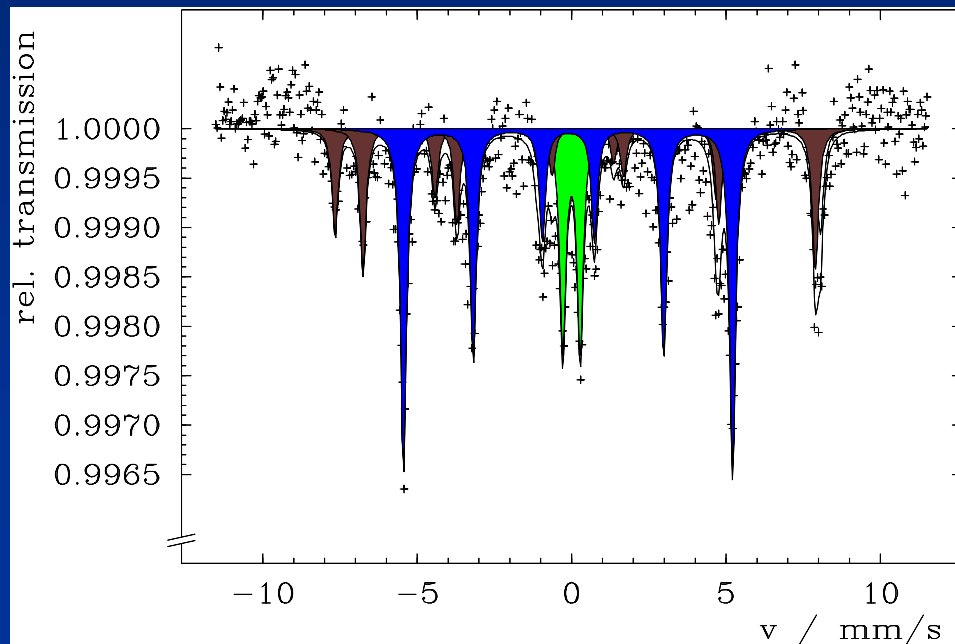
<u>Bestandteile</u>	<u>Anteil-%</u>
Magnetit, Fe_3O_4	20
Goethit, $\alpha\text{-FeOOH}$	80

^{57}Fe -Mössbauer-Spektrum vom 100 DM-Schein



Bestandteile	Anteil-/%
Metallisches Eisen	70
Superpara. Eisen(III)	18
Magnetit	6
Hämatit	6

^{57}Fe -Mössbauer-Spektrum eines 50 Euro-Scheins



<u>Constituents</u>	<u>area-/%</u>
α Iron	48
Magnetite	36
doublet	16

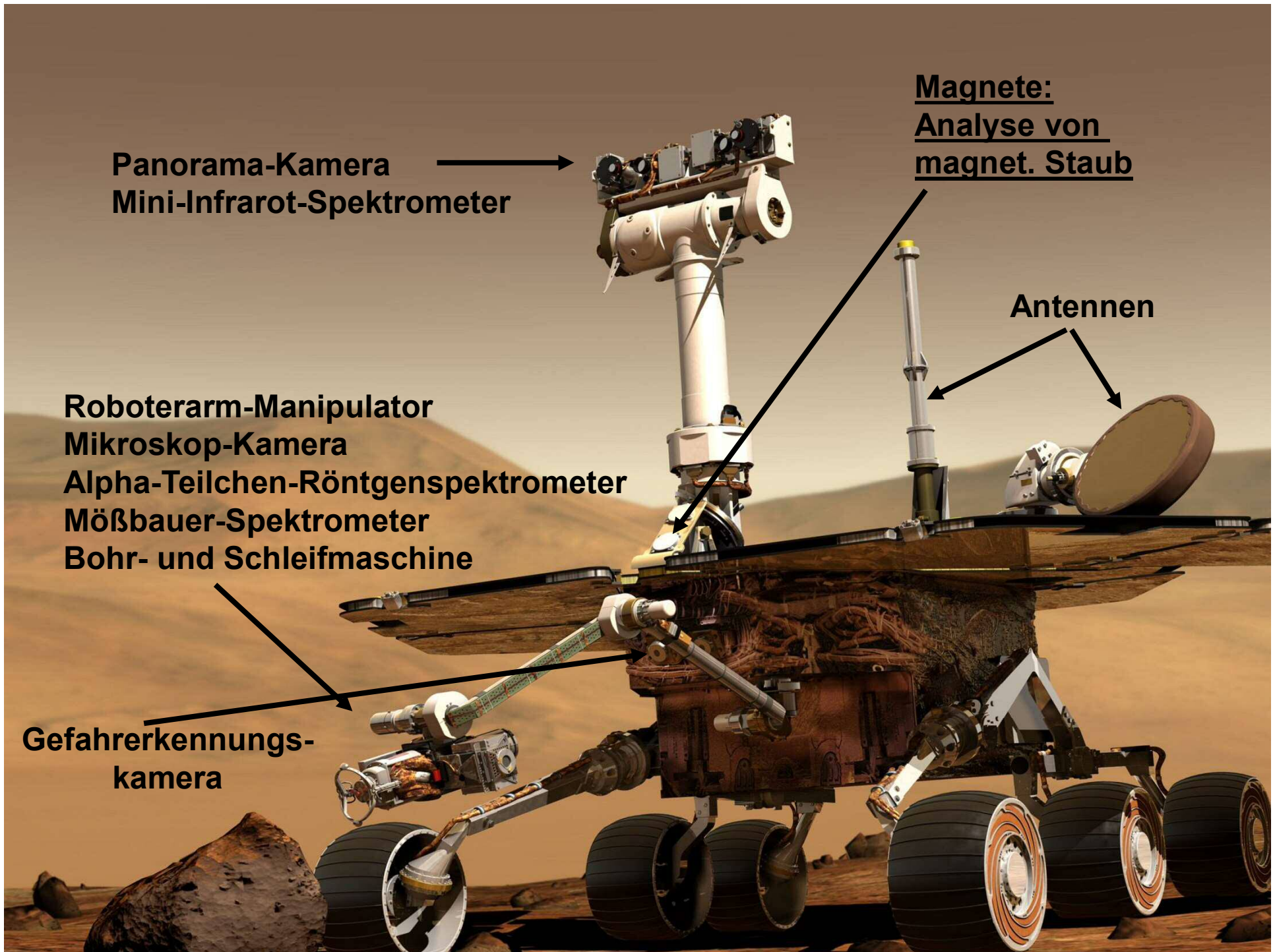
Panorama-Kamera
Mini-Infrarot-Spektrometer

Magnete:
Analyse von
magnet. Staub

Antennen

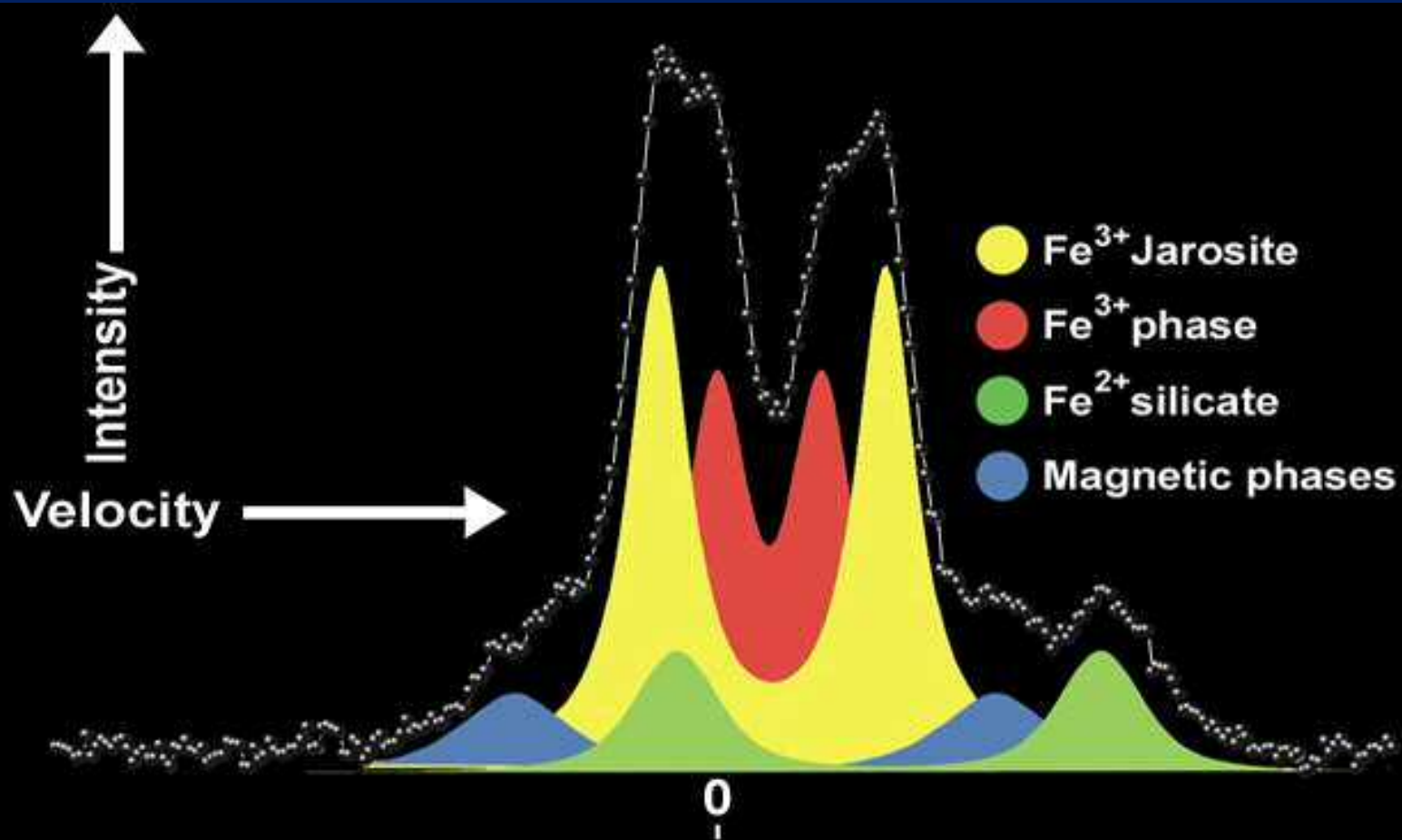
Roboterarm-Manipulator
Mikroskop-Kamera
Alpha-Teilchen-Röntgenspektrometer
Mößbauer-Spektrometer
Bohr- und Schleifmaschine

Gefahrerkenntnis-
kamera



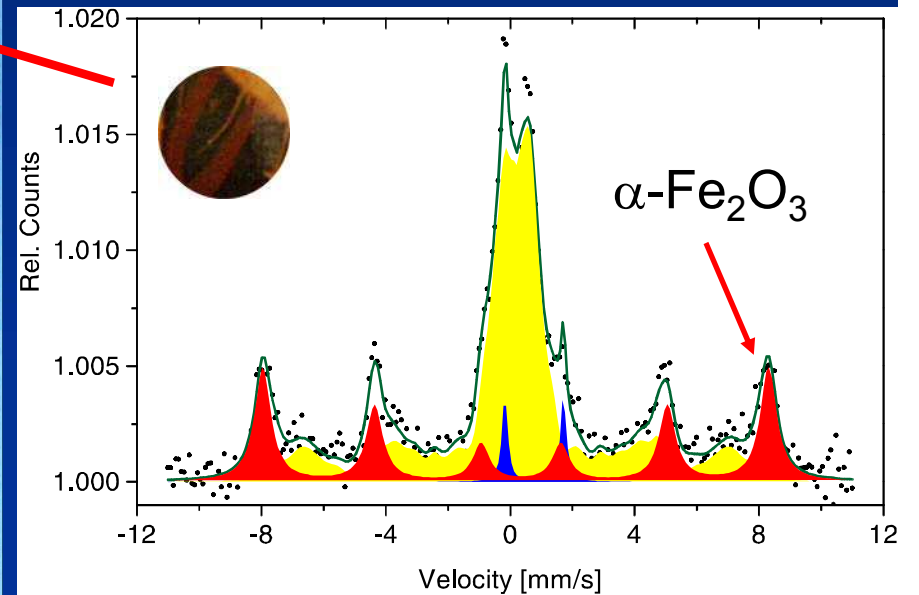
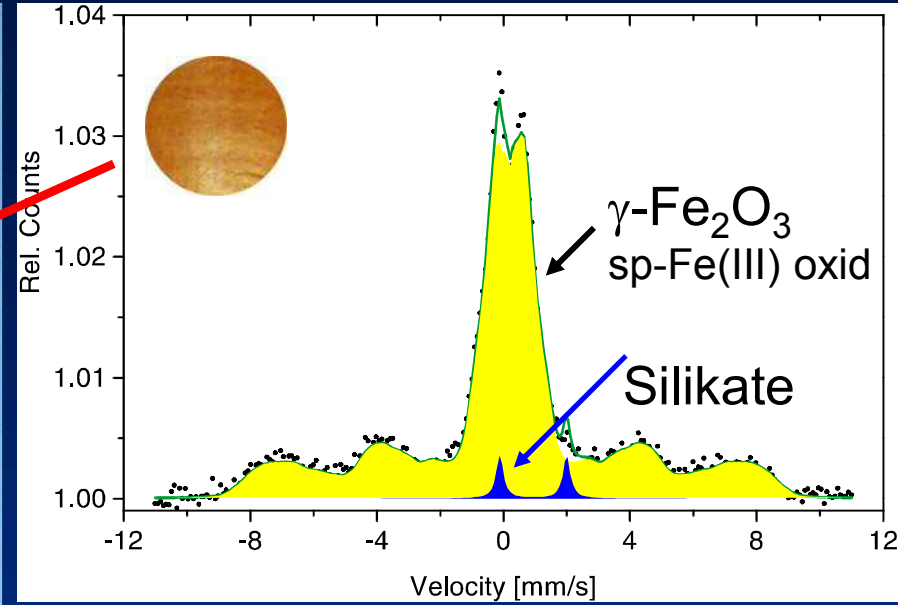
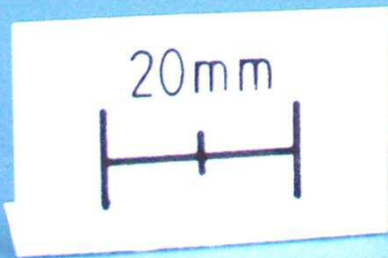
Mössbauer-Spektrum von *El Capitan* in *Meridiani Planum*

Jarosit: $(\text{K}, \text{Na}, \text{X}^+)\text{Fe}_3(\text{SO}_4)_2(\text{OH})_6$



Lekythos
500 b. C.

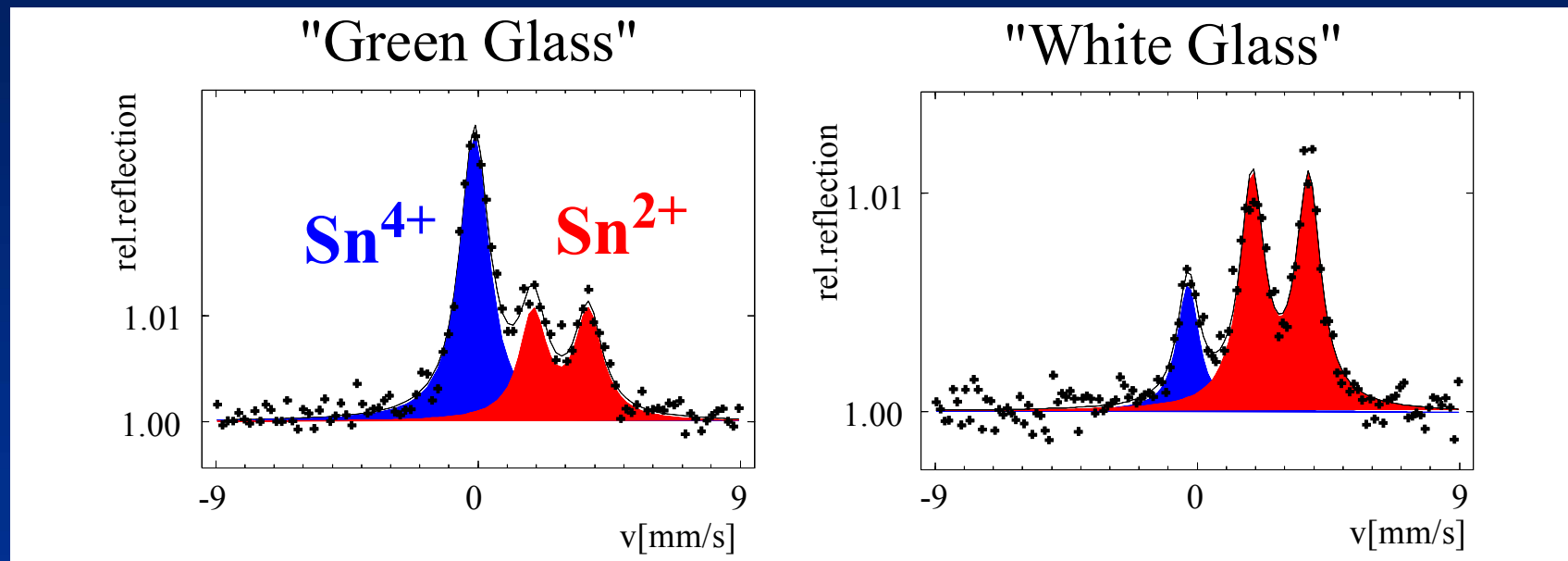
Röm.-germ.
Zentralmuseum
Mainz



Tin in Surface of Floatglass

Problem:

Surface properties depends on oxidation state of tin.



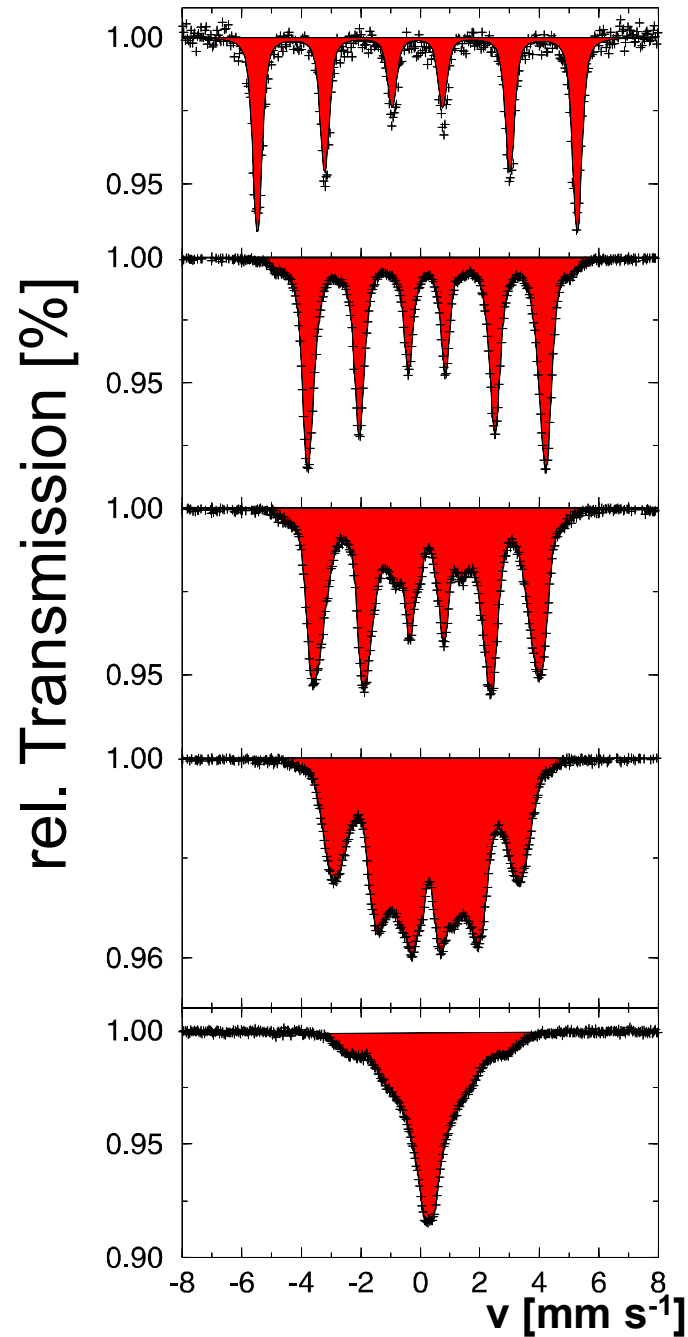
Quantitative determination of $\text{Sn}^{2+} / \text{Sn}^{4+}$
by CEMS in dependence of

- Glass composition
- Production conditions

Metallurgy

High- Temperature Nitrification of Steel

Fe_3N_x at 293 K



$x = 0$

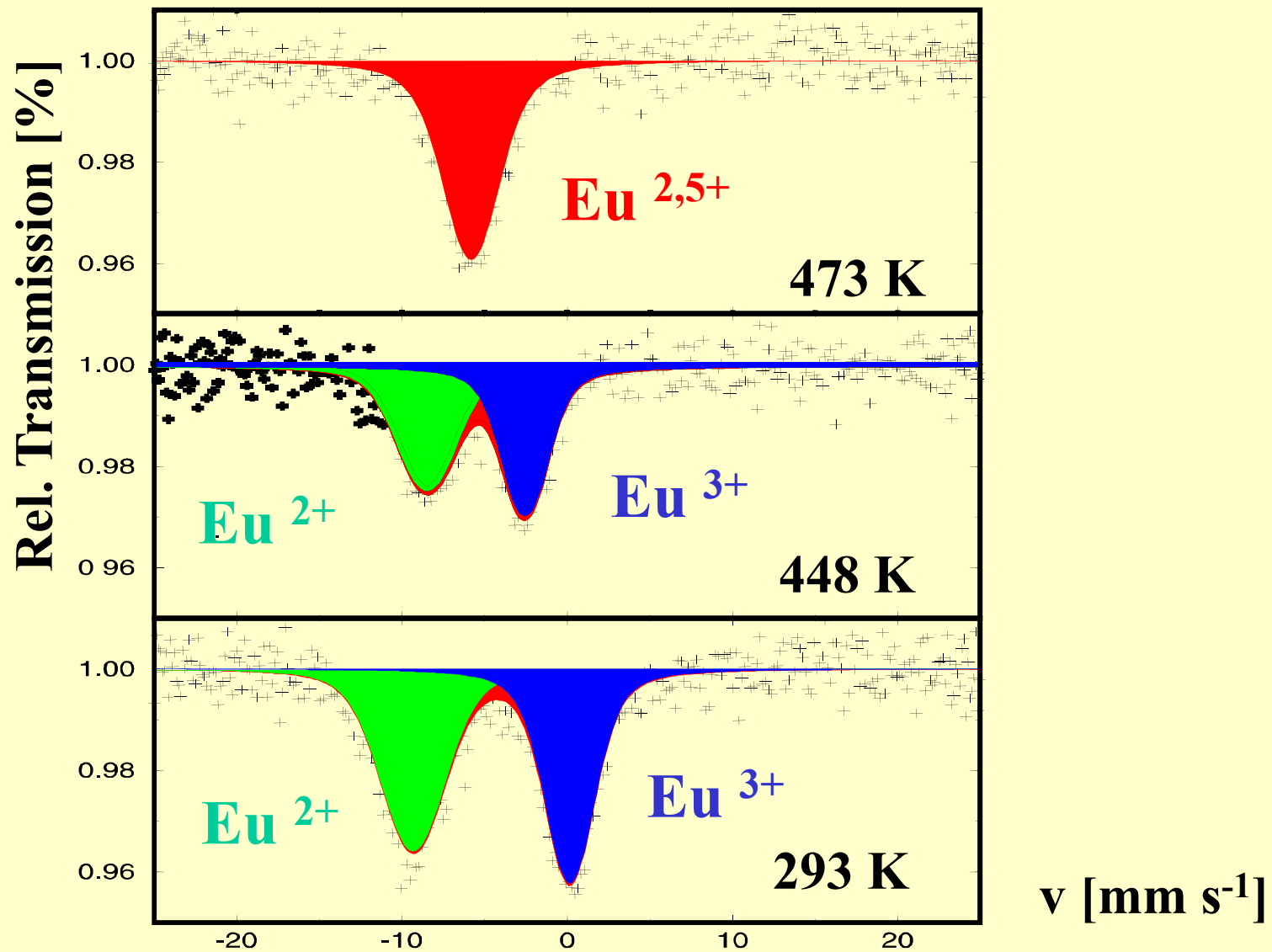
$x = 1$

$x = 1,1$

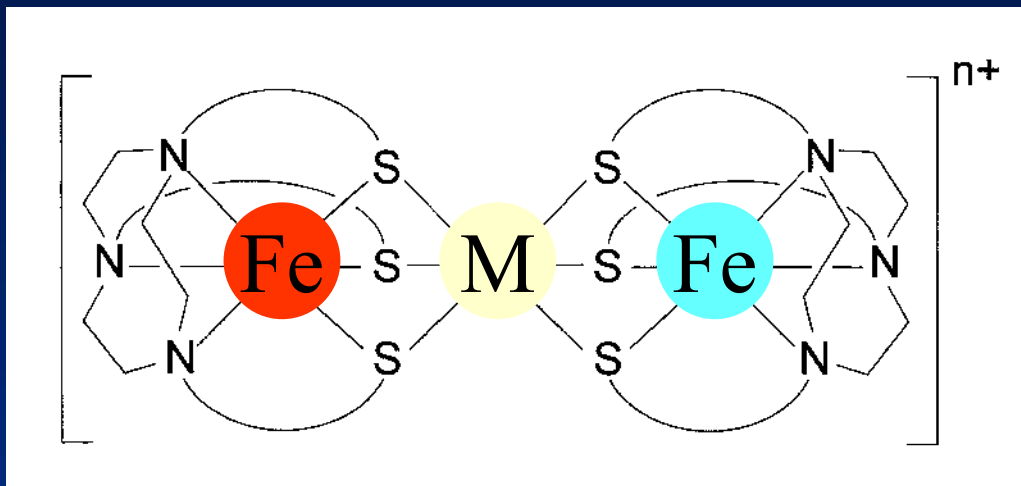
$x = 1,22$

$x = 1,3$

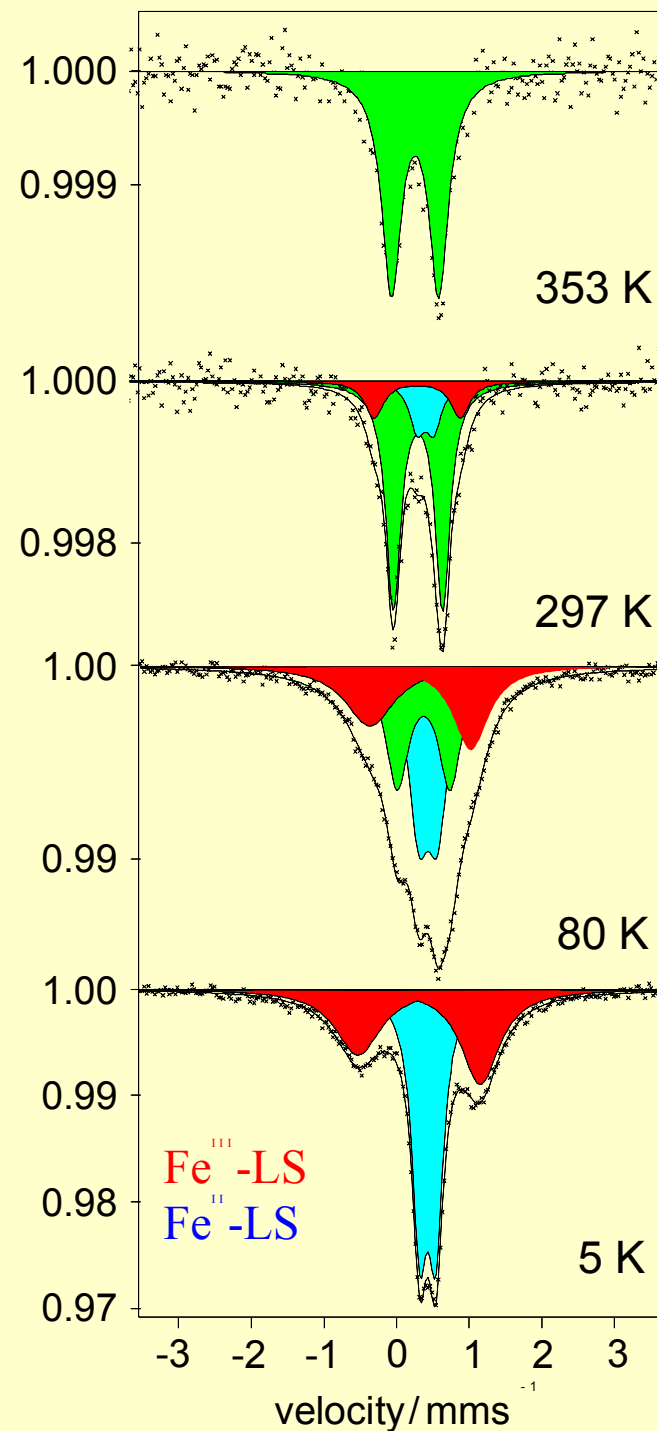
^{151}Eu Mössbauer Spectra of EuNiP



Valence Fluctuation in



Bill, Trautwein, Wieghardt;
JACS 1999

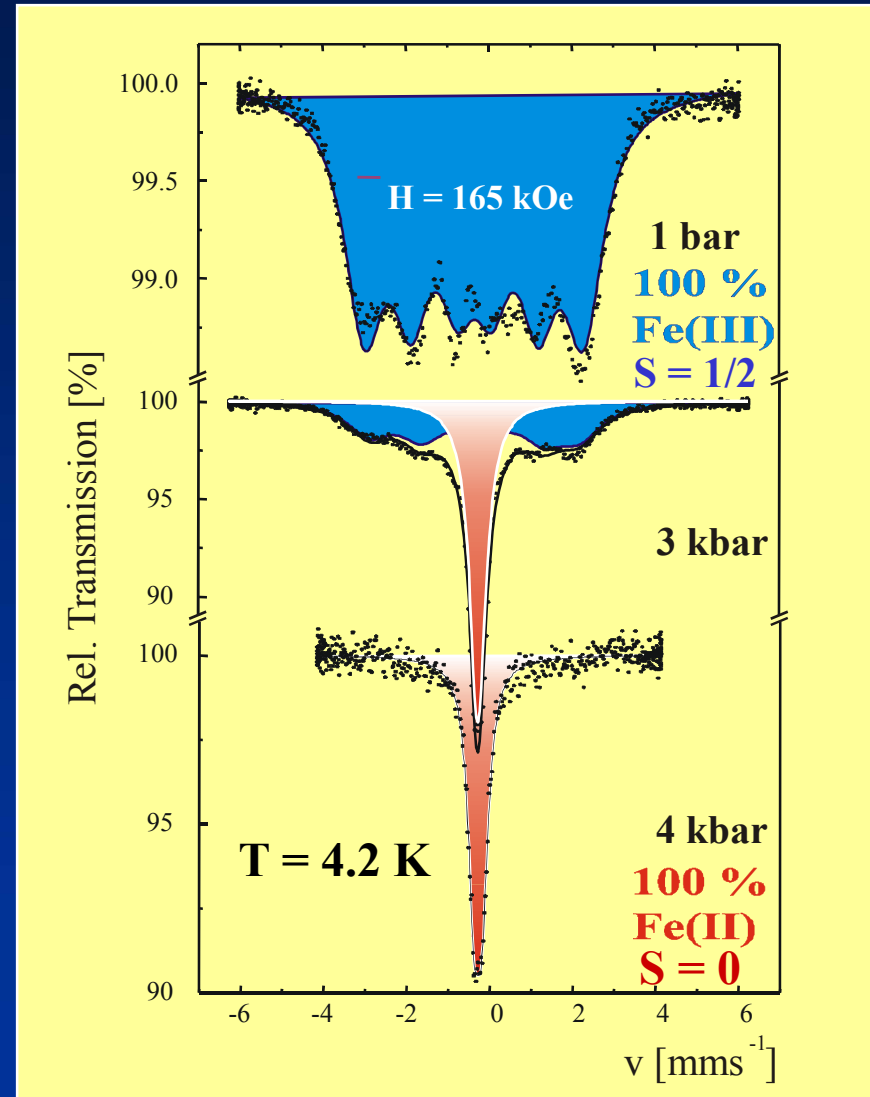
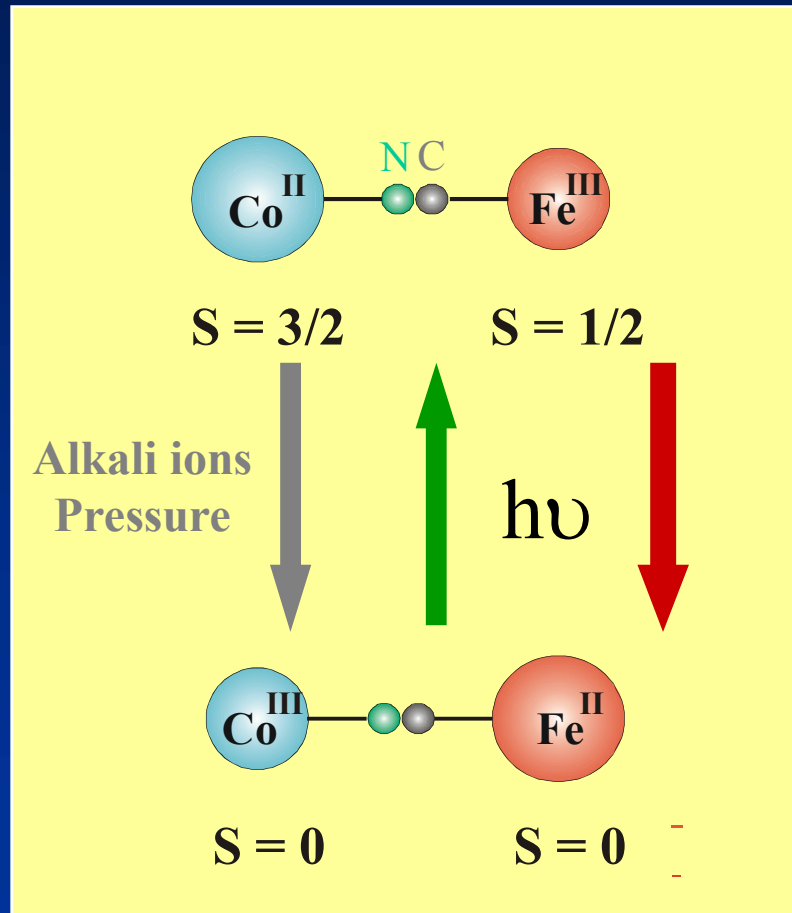


Hydrostatic High Pressure Cells for Magnetic and Mössbauer Studies



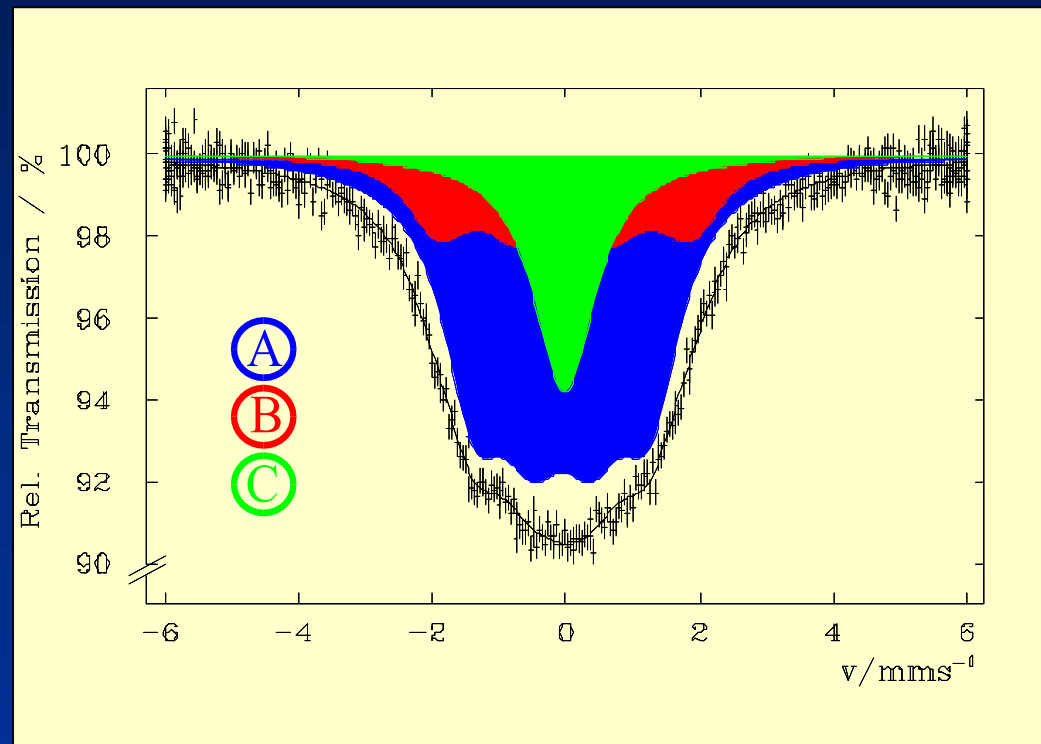
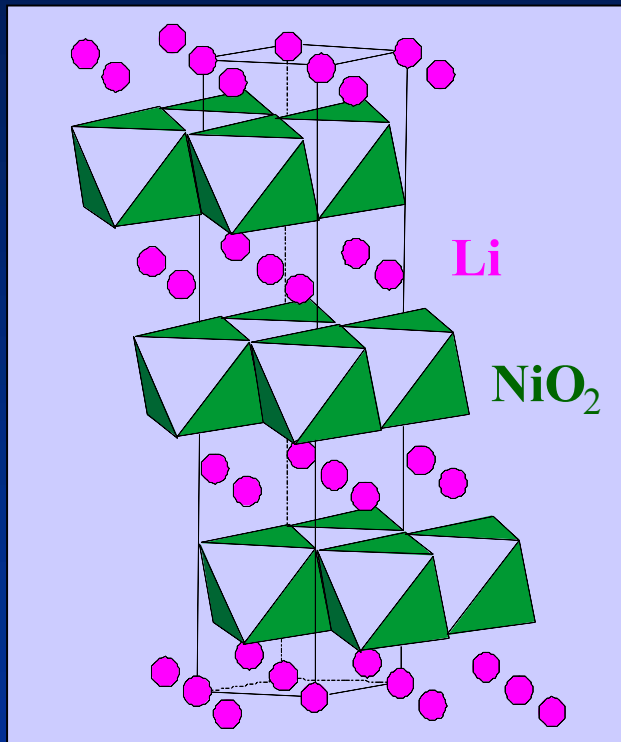
$2 \text{ K} < T < 400 \text{ K}$
 $p < 14 \text{ Kbar}$

Pressure-induced electron transfer in ferrimagnetic Prussian blue analogs



Ksenofontov, Verdagner, Gütlich et al. (Phys. Rev. B, 2003)

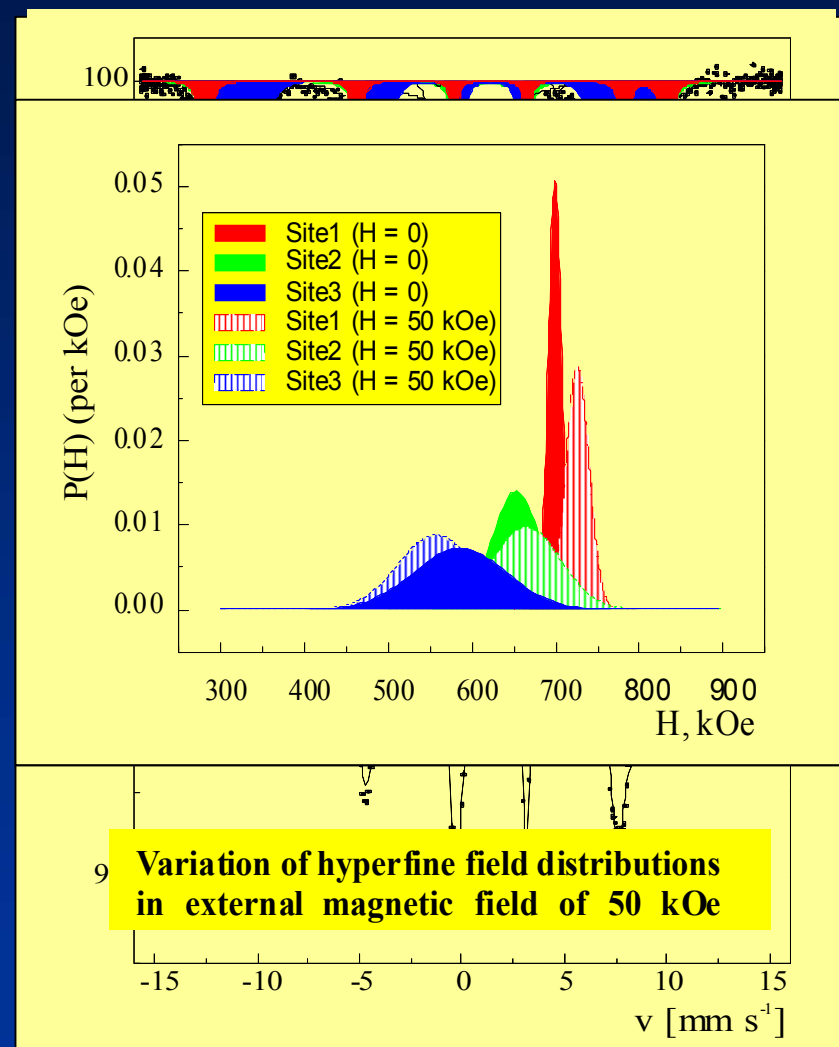
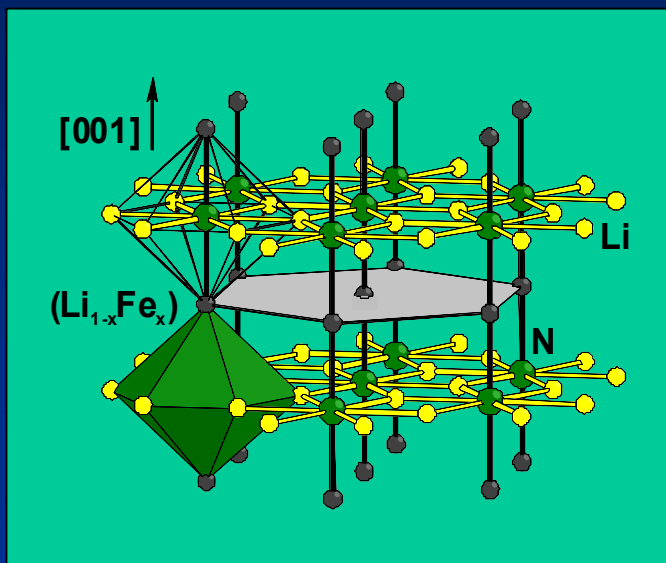
STOICHIOMETRY OF $\text{Li}_{1-x}\text{Ni}_{1+x}\text{O}_2$ STUDIED BY ^{61}Ni MÖSSBAUER SPECTROSCOPY



V. Ksenofontov, S.Reiman, D. Walcher, Y. Garcia, N. Doroshenko and P. Gütlich
Hyperfine Interact. **139/140**, 107 (2002)



Largest magnetic fields ever observed in an iron compound: a Lithium-Nitridoferrate(I)



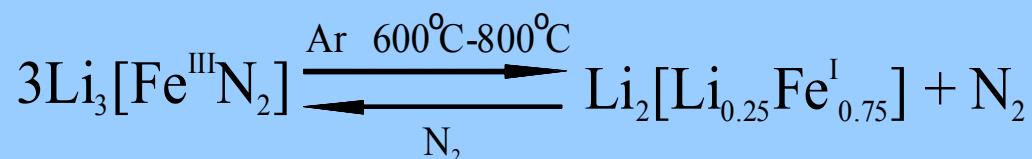
J. Klatyk, W. Schnelle, F. R. Wagner, R. Niewa, P. Novák, R. Kniep, M. Waldeck, V. Ksenofontov and P. Gülich, *Phys. Rev. Lett.* **88**, 207202 (2002)



in-situ-Mössbauer Spectroscopy of the Reaction of Synthesis of $\text{Li}_2[(\text{Li}_{1-x}\text{Fe}_x)\text{N}]$



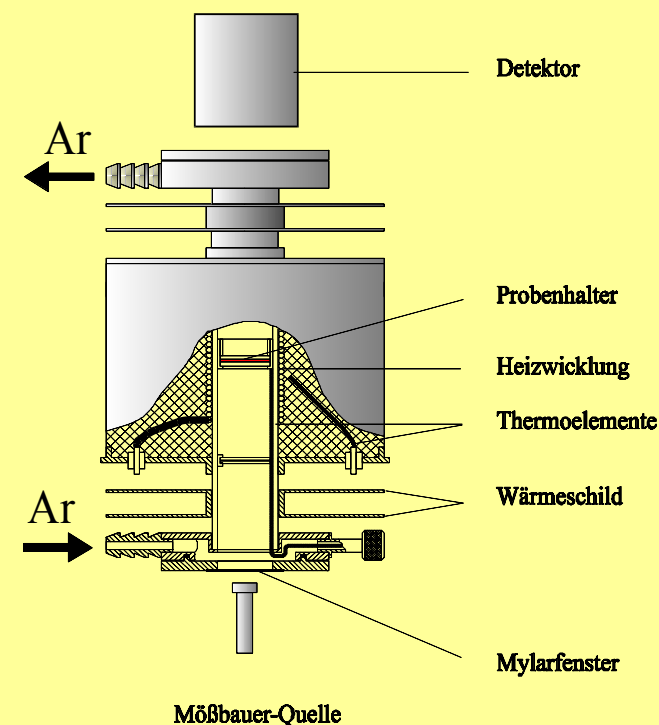
Preparation of $\text{Li}_2[(\text{Li}_{1-x}\text{Fe}_x^{\text{I}})\text{N}]$:



Suggestion:

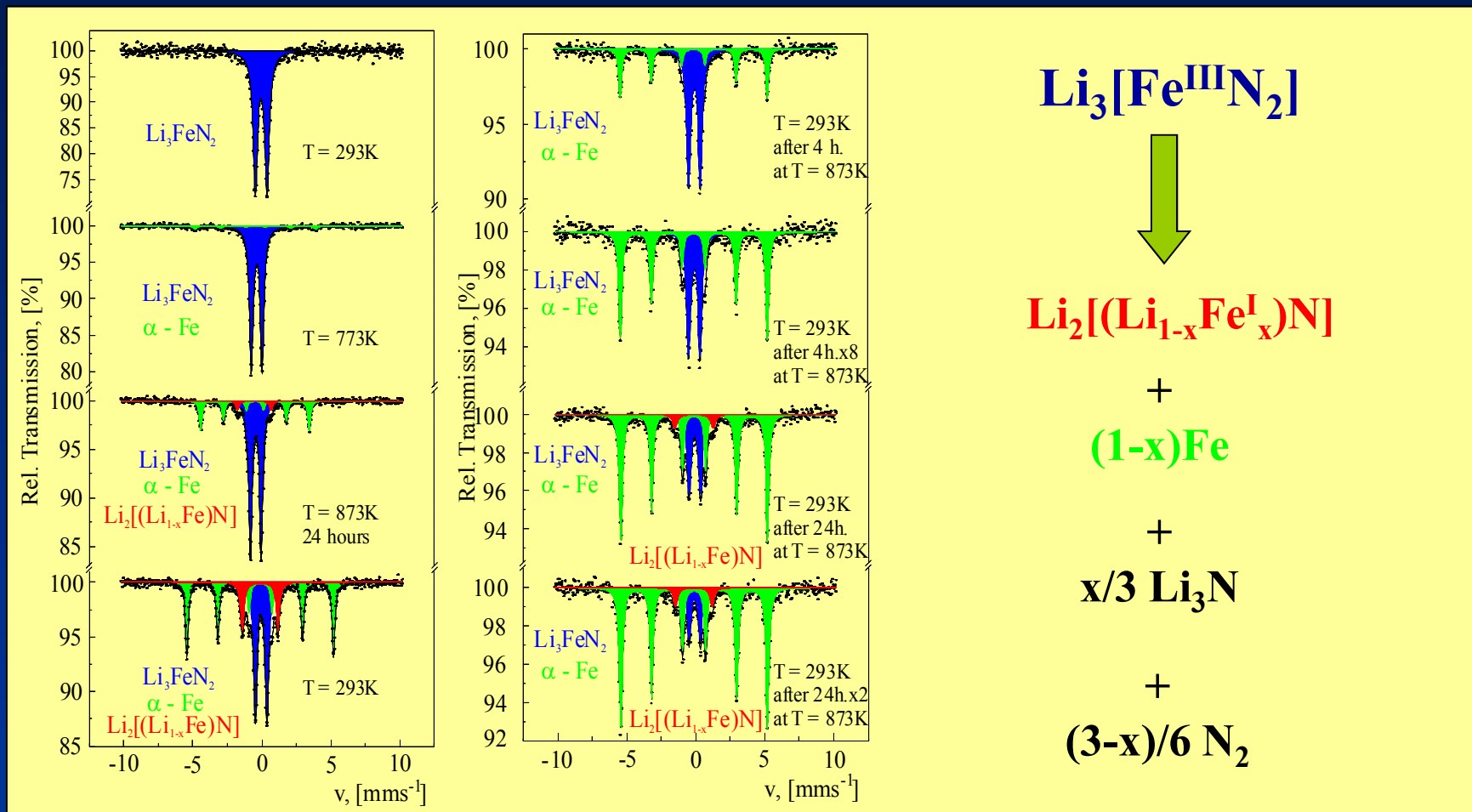


Ofen für *in-situ* -
Mössbauer-Messungen bis 1130 K



V. Ksenofontov, S. Reiman, M. Waldeck, R. Niewa, R. Kniep, P. Gütlich. *Z. Anorg. Allg. Chem.* **2003**, 629, 17871794

Mössbauer study of the decomposition kinetics of $\text{Li}_3[\text{Fe}^{\text{III}}\text{N}_2]$

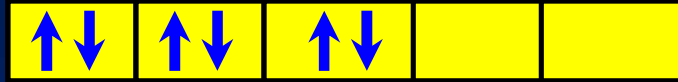


V. Ksenofontov, S. Reiman, M. Waldeck, R. Niewa, R. Kniep, P. Gütlich. *Z. Anorg. Allg. Chem.* **2003**, 629, 17871794

**Thermisch und optisch
schaltbare
Komplexverbindungen
von Eisen(II)**

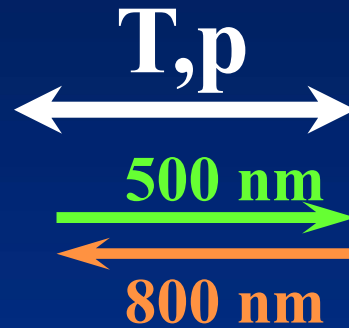
Eisen(II), 3d⁶

3d-Orbitale



$$S = 0$$

“Low Spin”
diamagn.



3d-Orbitale



$$S = 2$$

“High Spin”
paramagn.



Spinübergang
(Spin Crossover)



LS \leftrightarrow HS

In Übergangsmetall-Komplexen
mit $3d^4 \dots 3d^7$

häufig in

$3d^5$: Eisen(III)

$3d^6$: Eisen(II)

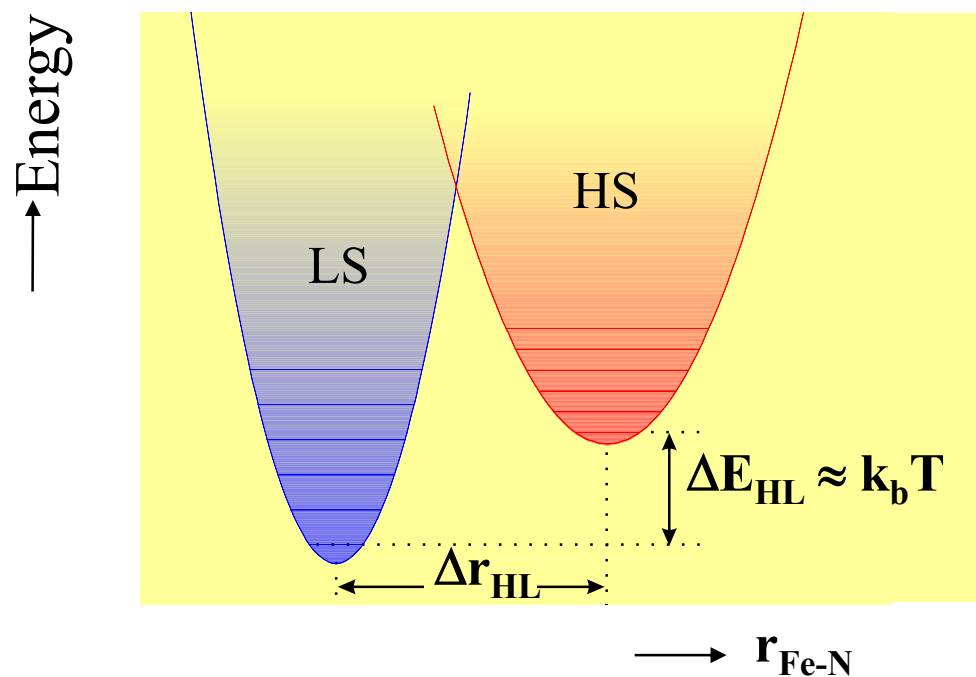
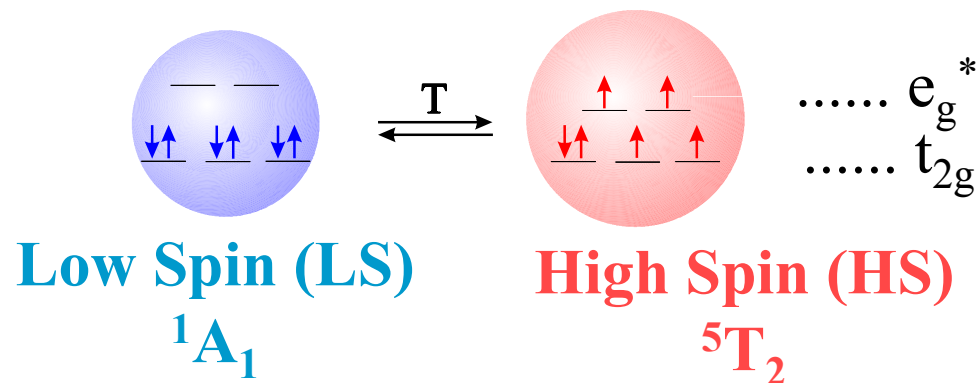
$3d^7$: Kobalt(II)

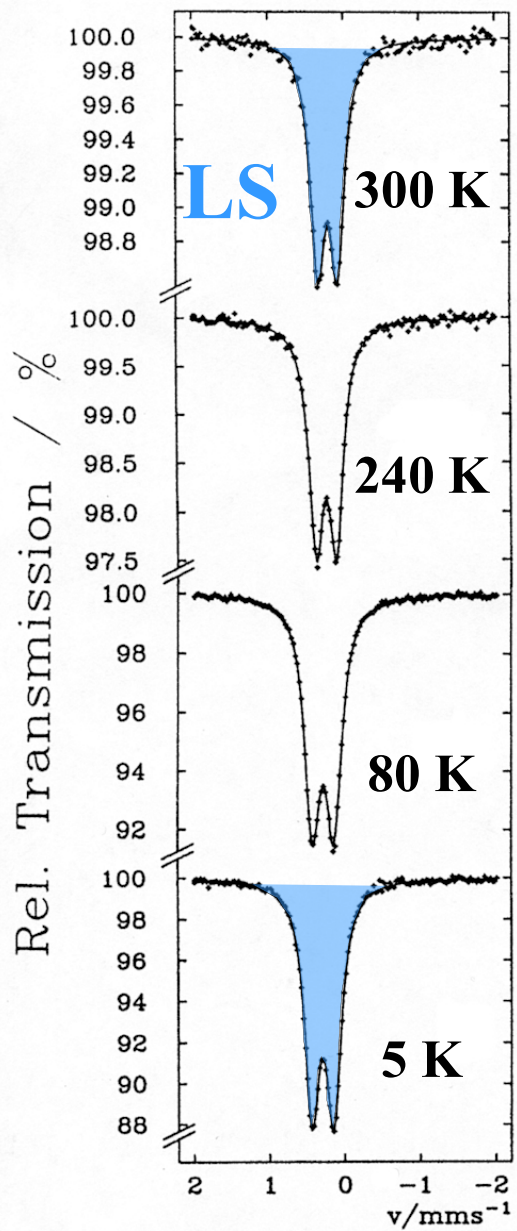
seltener in

$3d^4$: Mangan(III)

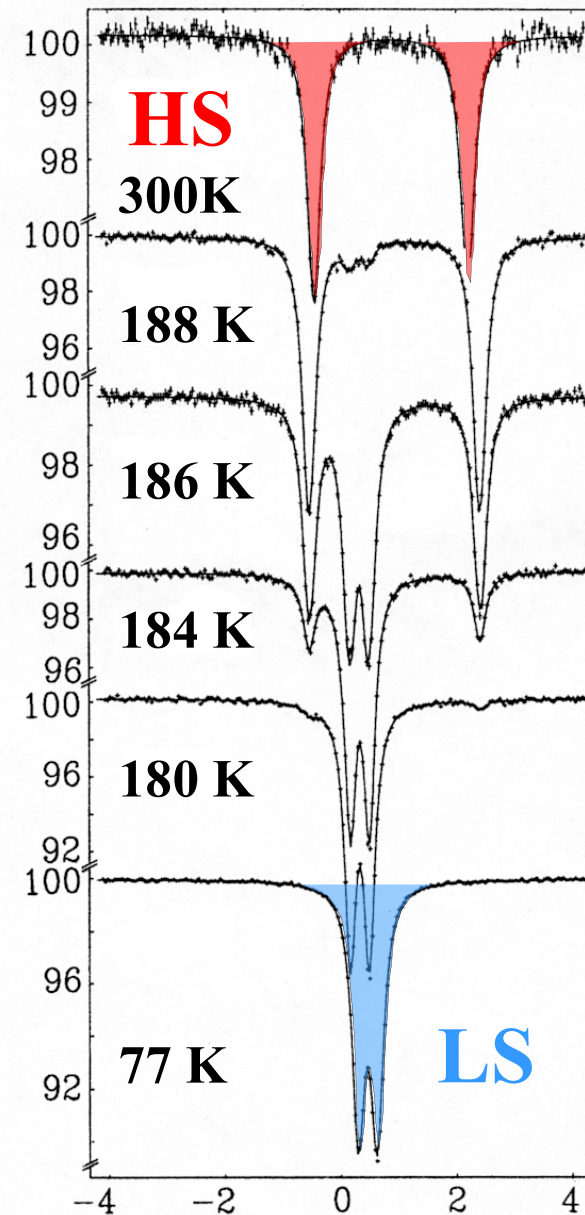
$3d^6$: Kobalt(III)

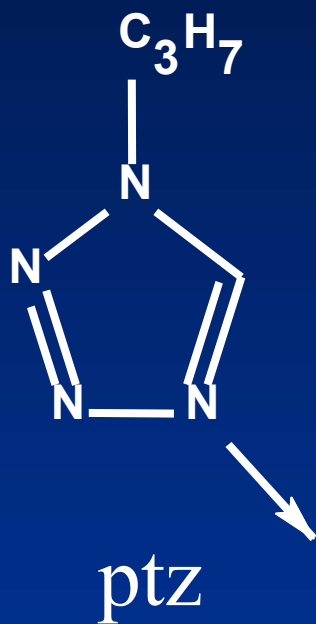
Thermal Spin Crossover in Iron(II) Compounds



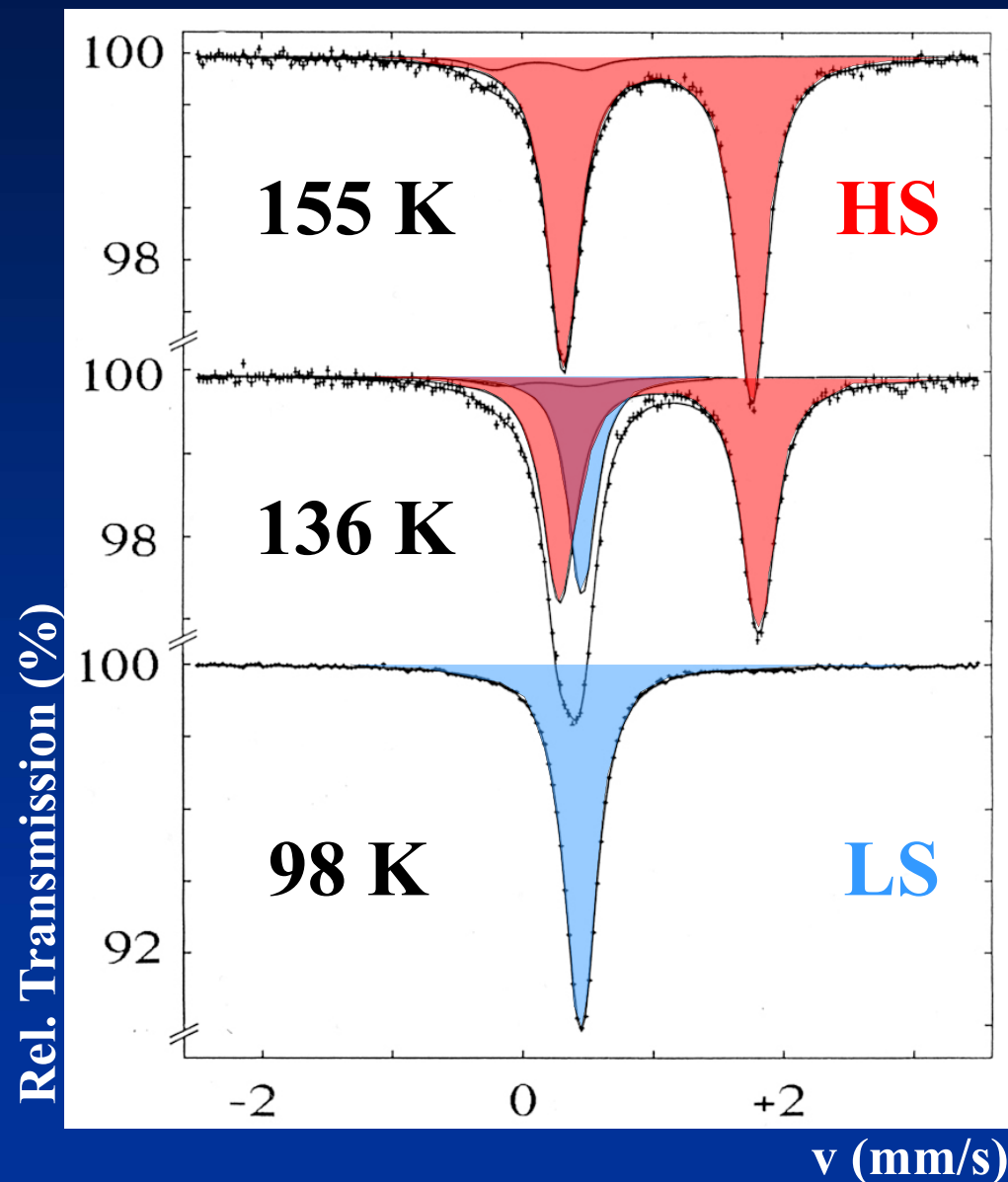


„Tuning“ the
Ligand Field
by Ligand
Replacement





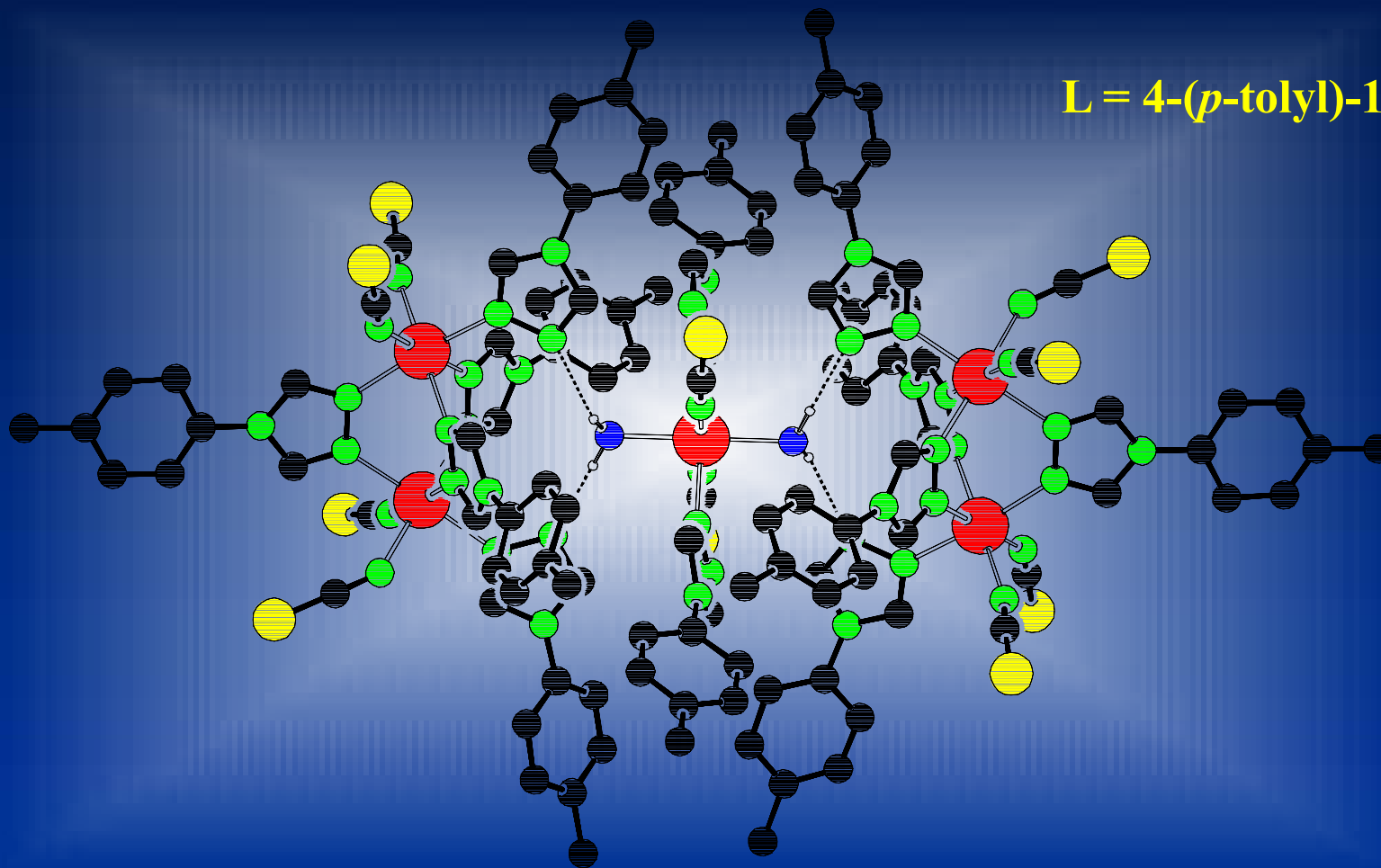
Thermal Spin Crossover



Pentanuclear Iron(II) Triazole Complex

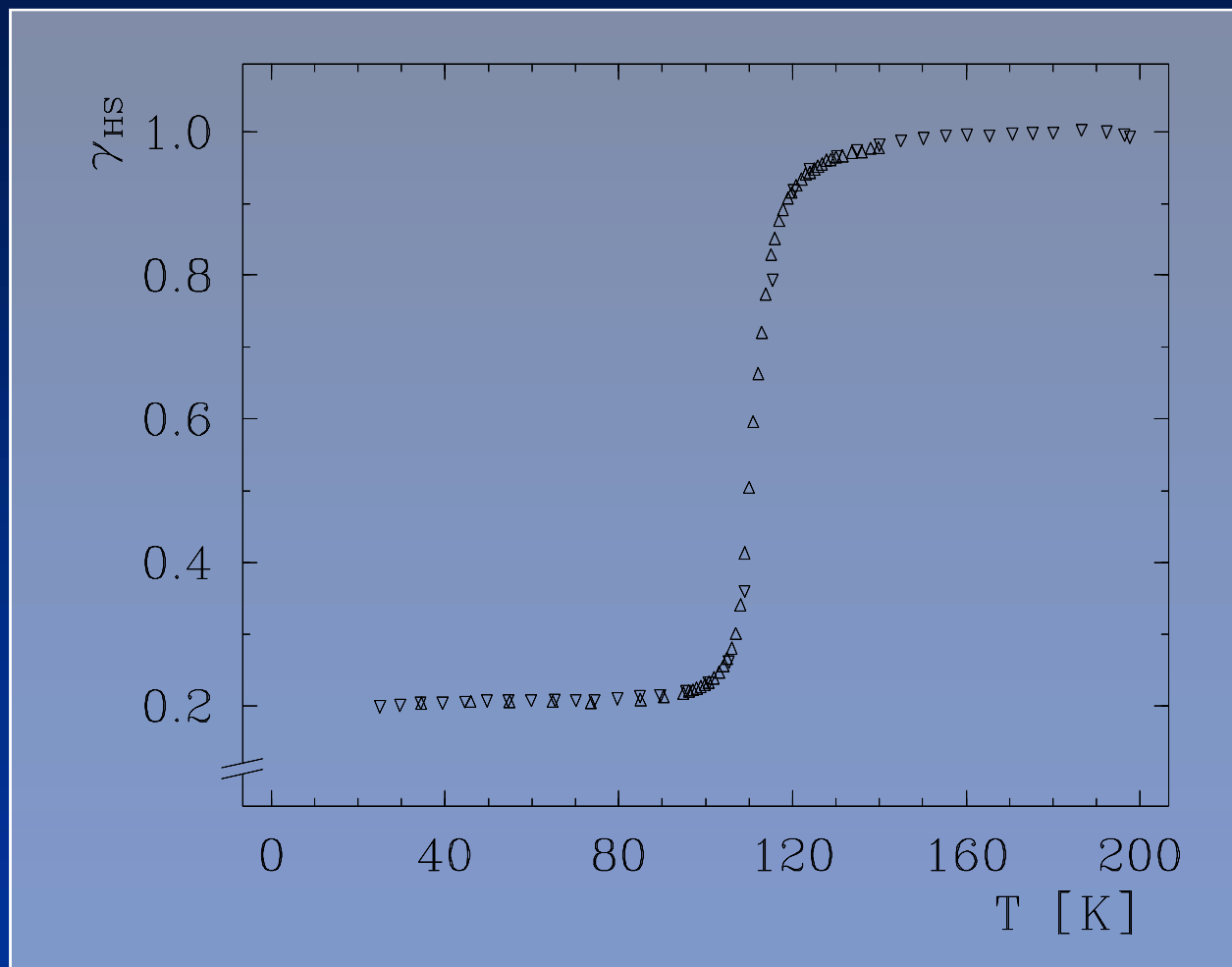


L = 4-(*p*-tolyl)-1,2,4-triazole



J.J.A. Kolnaar, J. Haasnoot, J. Reedijk, G. Schmitt, V. Ksenofontov, P. Gülich, et al.,
Eur. J. Inorg. Chem. 5 (1999) 881

$[\text{Fe}_2[\text{ToI}(\text{Trz})_5(\text{NCS})_4]_2[\text{Fe}(\text{ToI}(\text{Trz})_2(\text{NCS})_2\text{H}_2\text{O})_2] \cdot \text{H}_2\text{O}$ Molar fraction $\gamma_{\text{HS}}(\text{T})$ from magn. susceptibility measurements

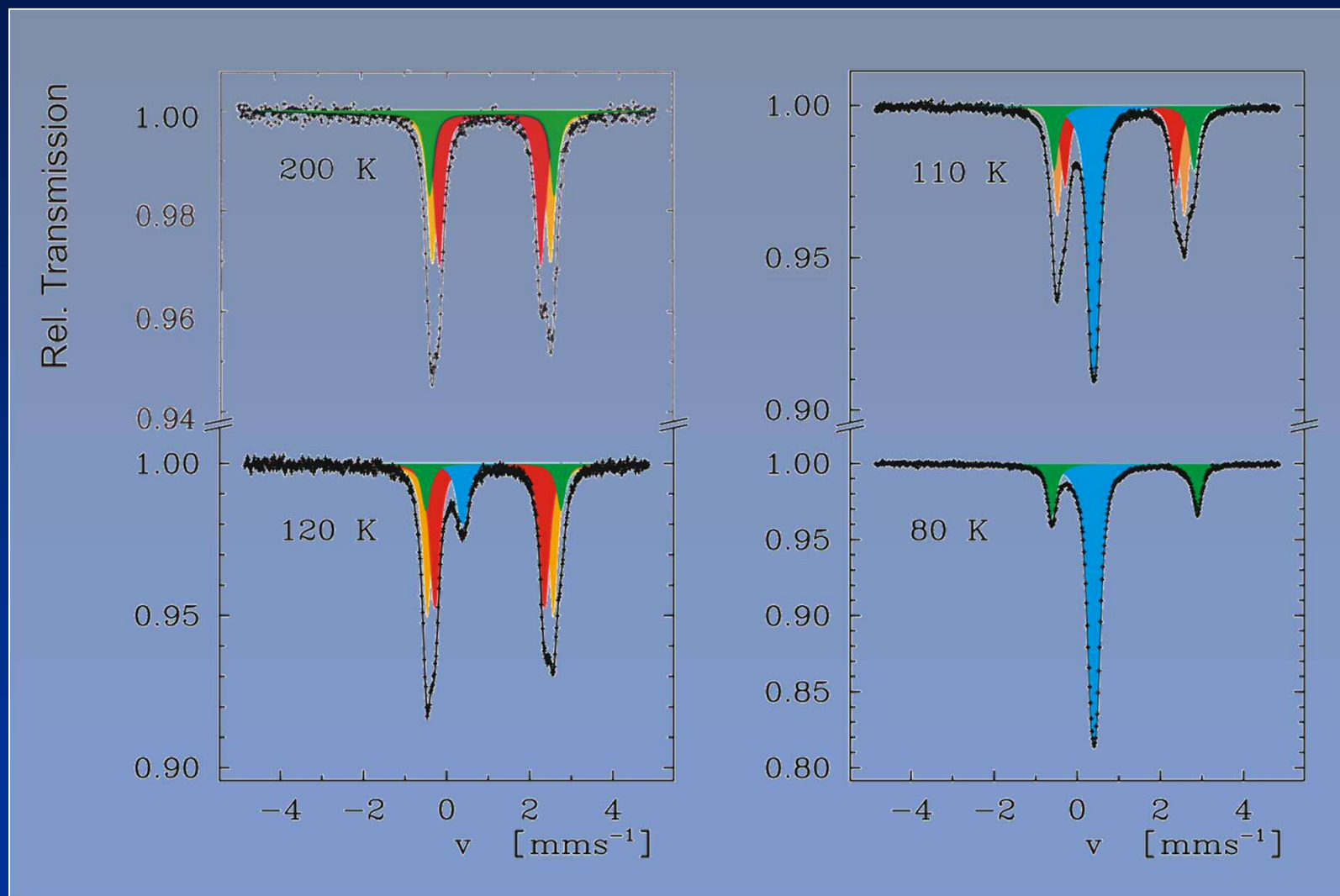


Four Fe(II) sites,
with FeN_6 core,
undergo thermal
spin transition.
One Fe(II) site, with
 FeN_4O_2 core,
remains in HS state.

J.J.A. Kolnaar, J. Haasnoot, J. Reedijk, G. Schmitt, V. Ksenofontov, P. Gülich, et al.,
Eur. J. Inorg. Chem. 5 (1999) 881

$[\text{Fe}_2[\text{ToI}Trz)_5(\text{NCS})_4]_2[\text{Fe}(\text{ToI}Trz)_2(\text{NCS})_2\text{H}_2\text{O})_2] \cdot \text{H}_2\text{O}$

Mössbauer spectra as function of temperature



J.J.A. Kolnaar, J. Haasnoot, J. Reedijk, G. Schmitt, V. Ksenofontov, P. Gülich, et al.,
Eur. J. Inorg. Chem. 5 (1999) 881

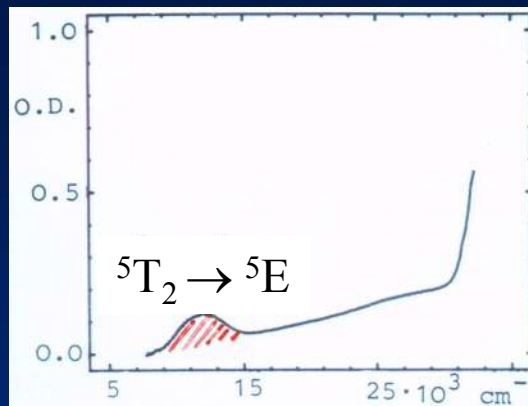
Auswertungsbeispiel

Pentanuclear Iron(II) Triazole Complex



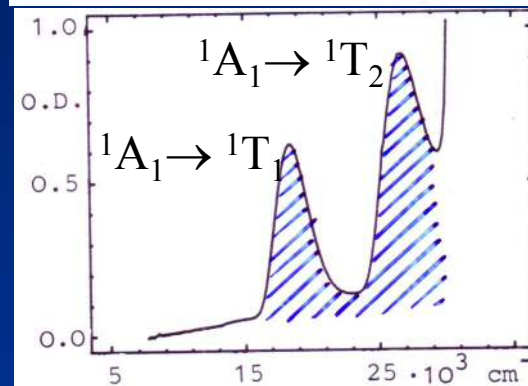
Decurtins
Gütlich
Hauser
Spiering
(1984)

HS



300 K

LS

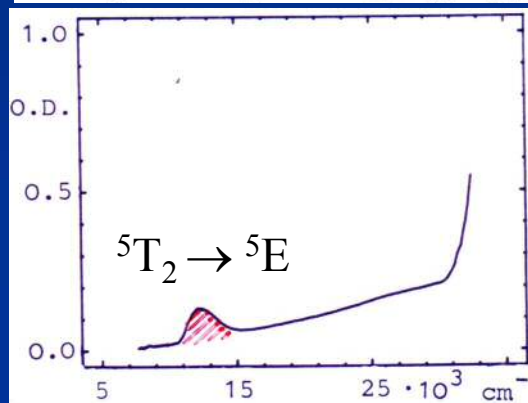
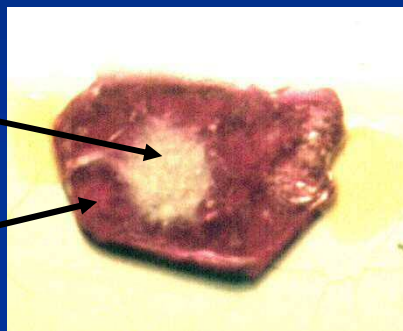


80 K

HS

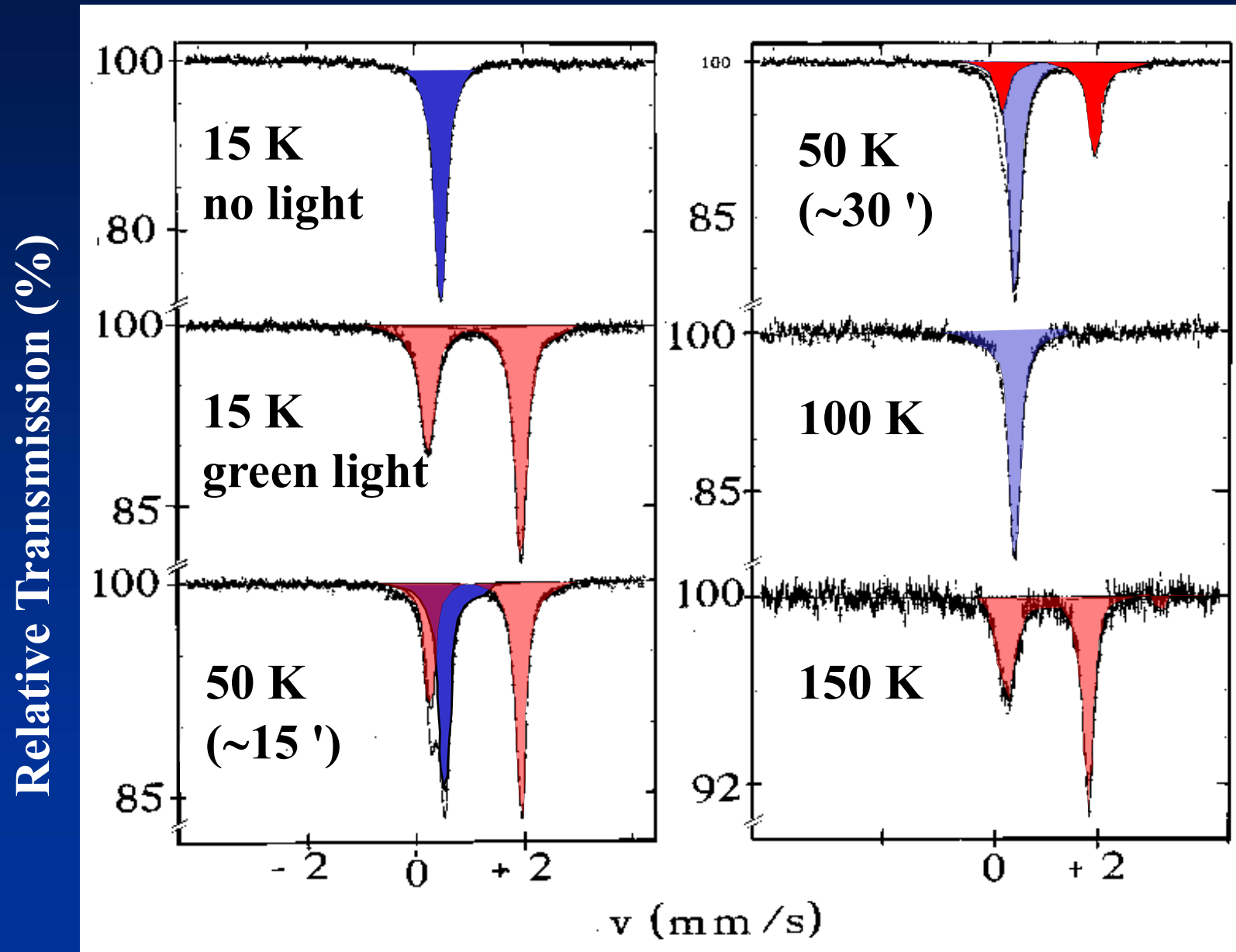


LS



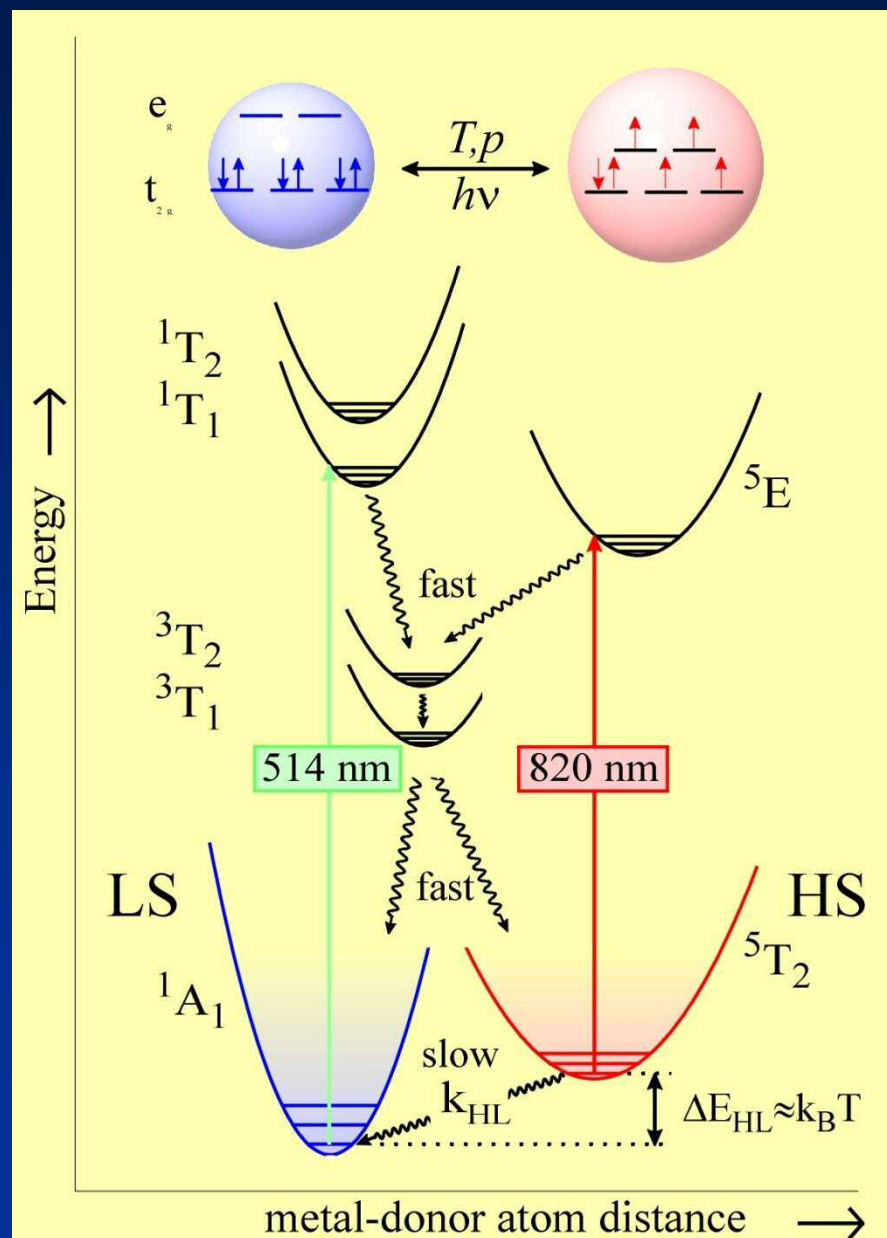
10 K
green light

$[\text{Fe}(\text{ptz})_6](\text{BF}_4)_2$: Light-Induced SCO



Light-Induced Excited Spin State Trapping

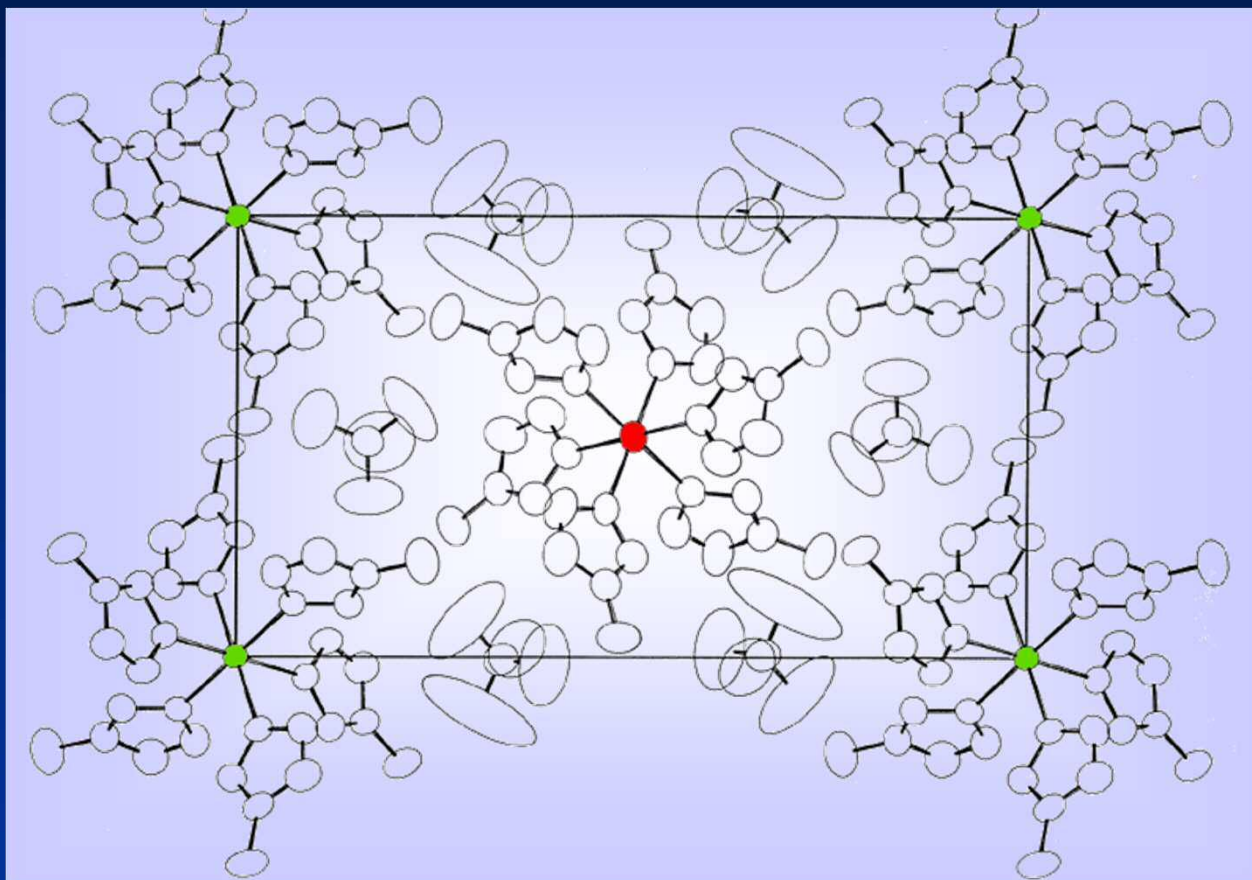
“LIESST“



Decurtins, Gütlich,
Hasselbach, Hauser,
Spiering,
Inorg. Chem. 24 (1985)
2174

$[\text{Fe}(\text{mtz})_6](\text{BF}_4)_2$

mtz = 1-methyl-1H-tetrazole



Fe(II) (B)
2.161 (5) Å
2.197 (5) Å
2.207 (4) Å

Fe(II) (A)
2.181 (5) Å
2.181 (5) Å
2.181 (7) Å

The crystal structure of $[\text{Fe}(\text{mtz})_6](\text{BF}_4)_2$ shows that iron(II) ions occupy two slightly different lattice positions, denoted as A and B sites, at a ratio of 1:1. At room temperature the two kinds of Fe(II) ions are in the HS state as confirmed by Mössbauer spectroscopy.



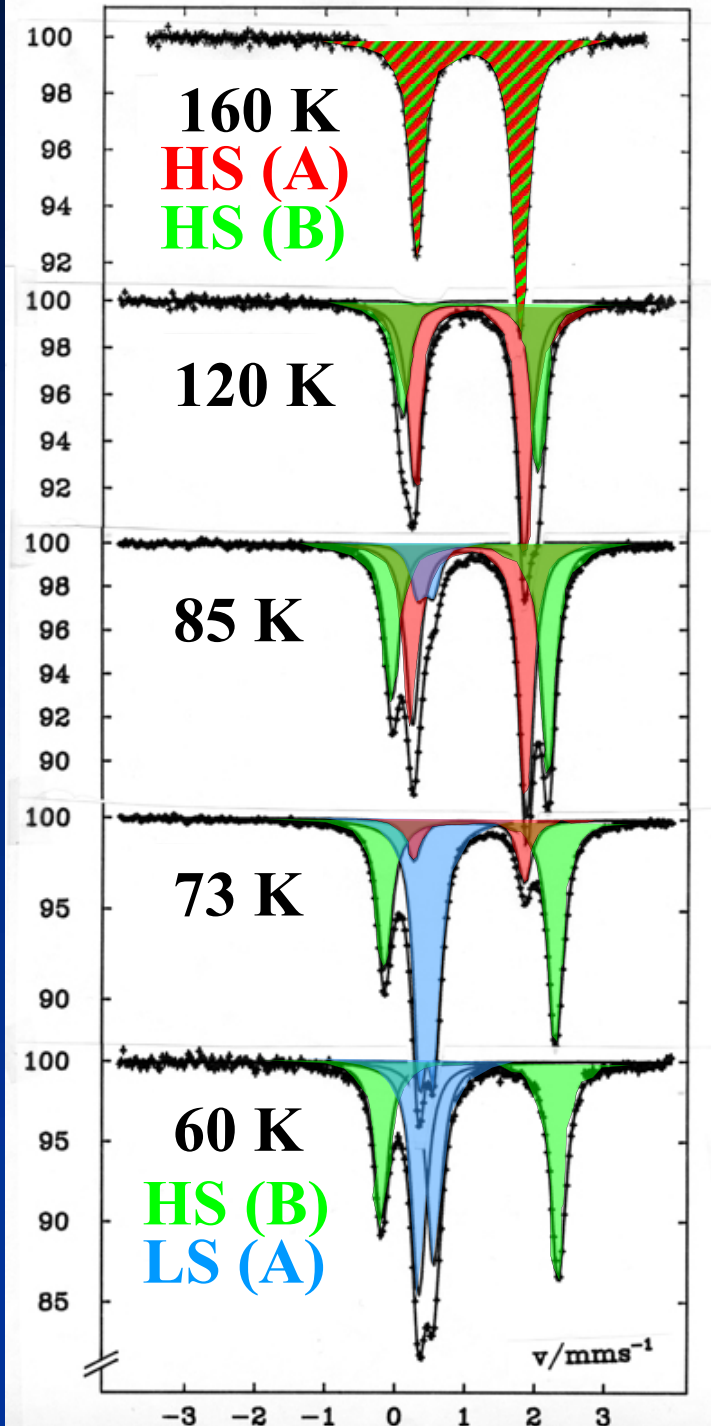
T-dependent
⁵⁷Fe Mössbauer spectra



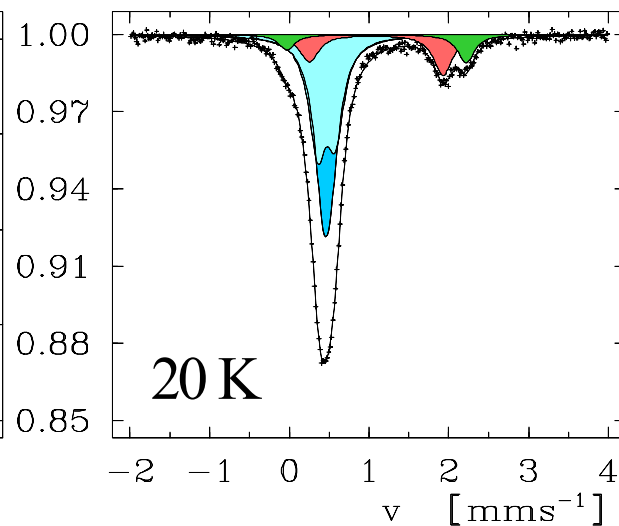
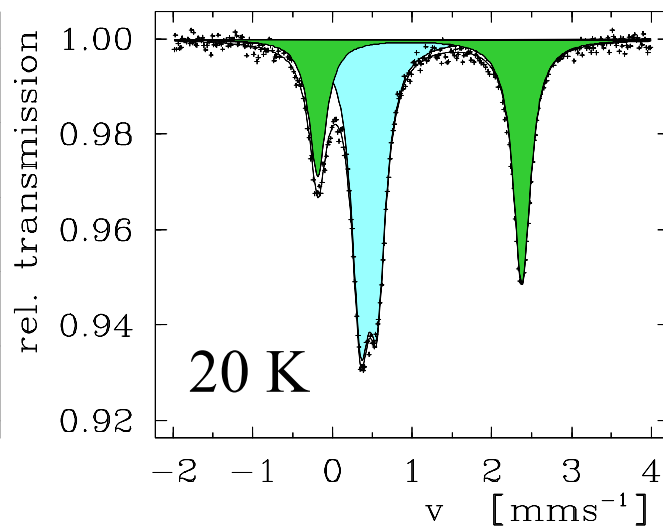
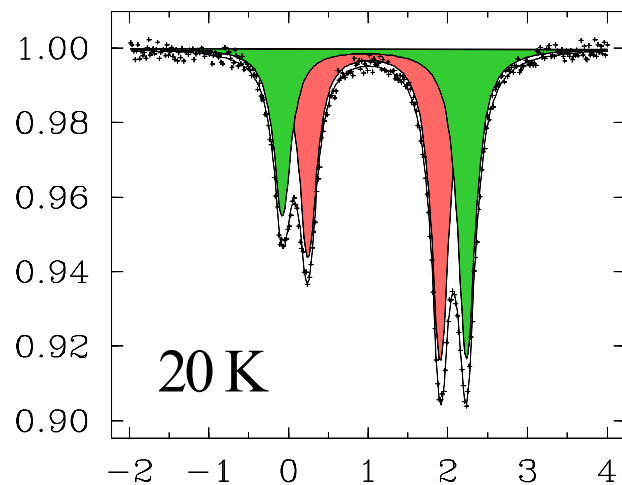
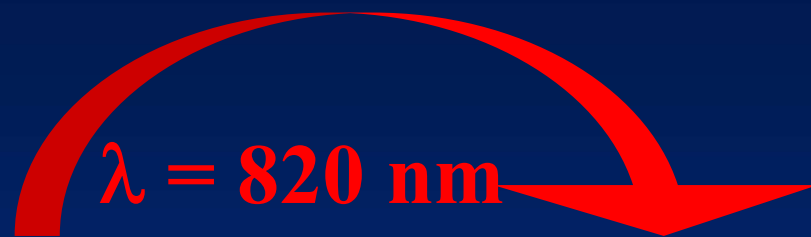
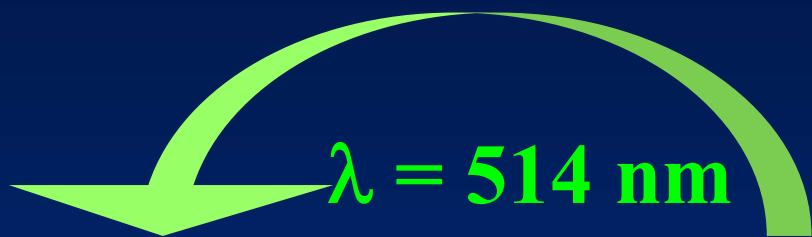
**Thermal Spin
Crossover
at A-sites**

Poganiuch, Decurtins, Gülich

Rel. Transmission (%)

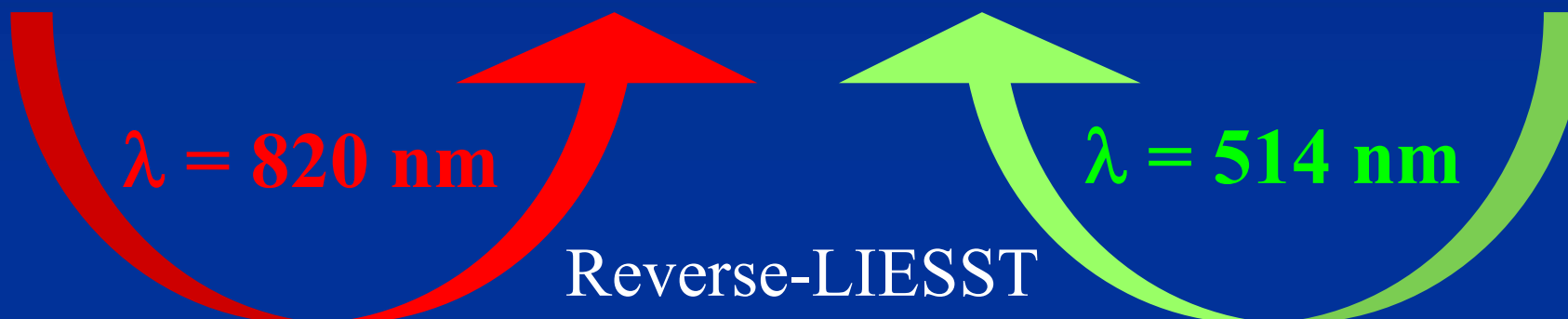
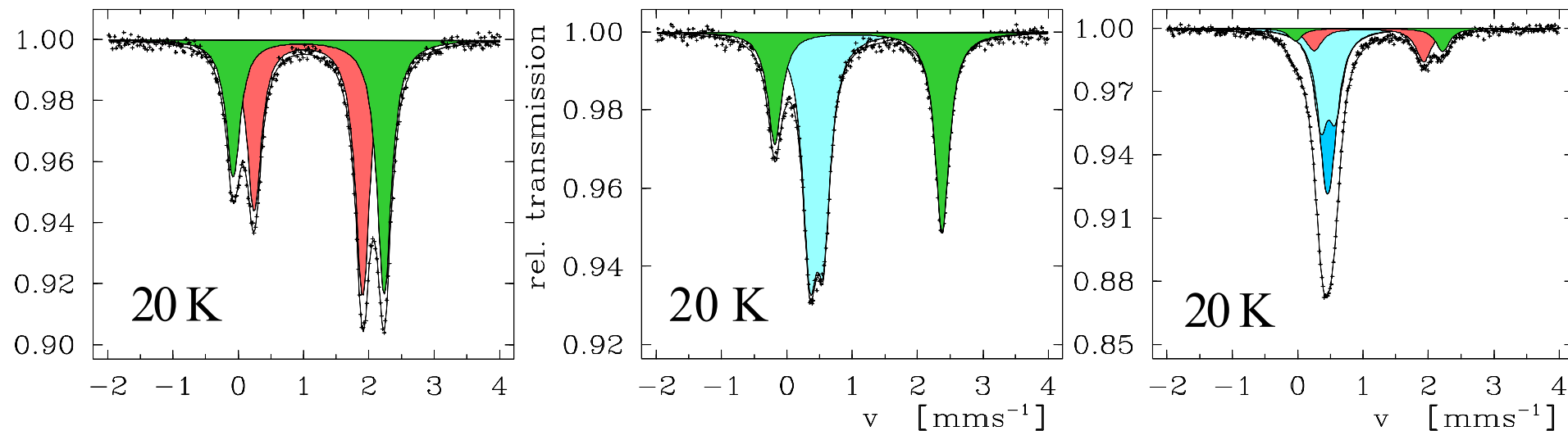
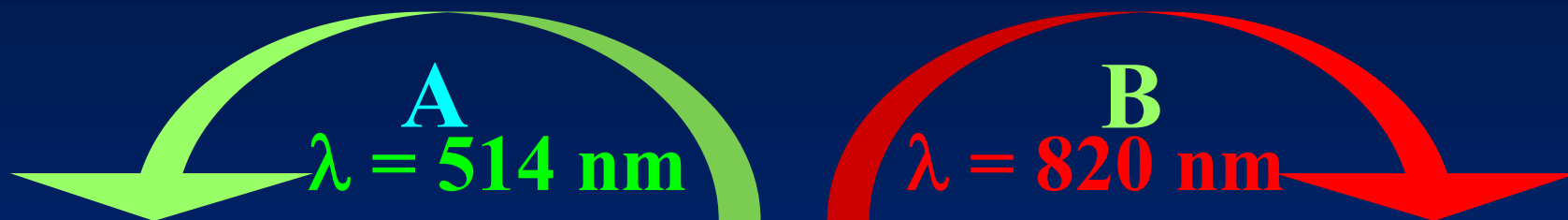


[Fe(mtz)₆](BF₄)₂ LIESST in Sites A and B

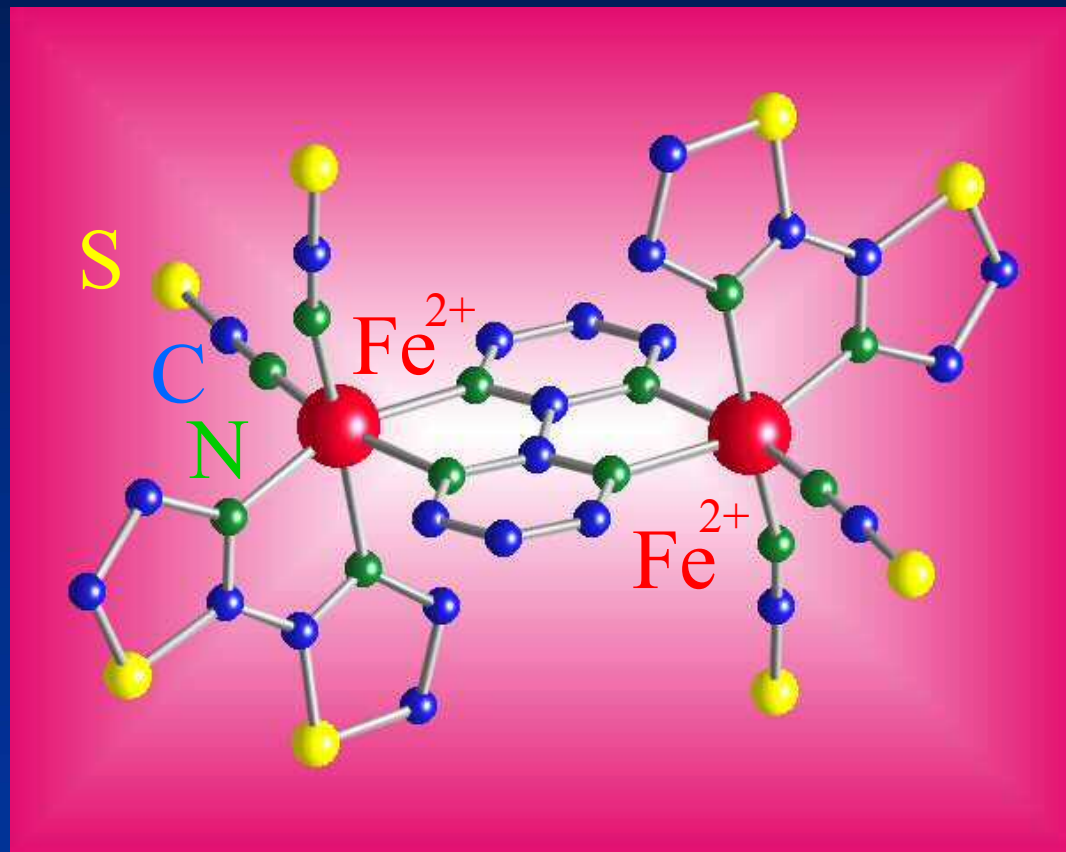


[Fe(mtz)₆](BF₄)₂

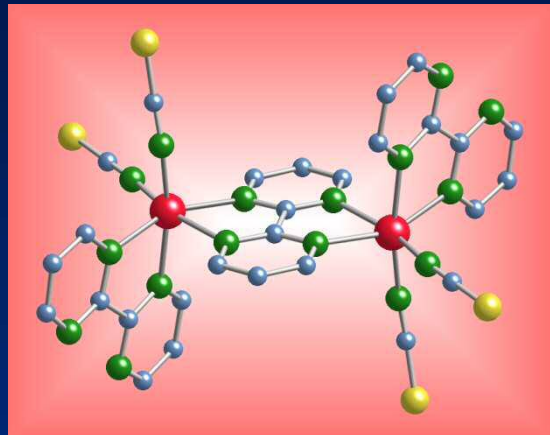
LIESST and Reverse-LIESST in Sites A and B



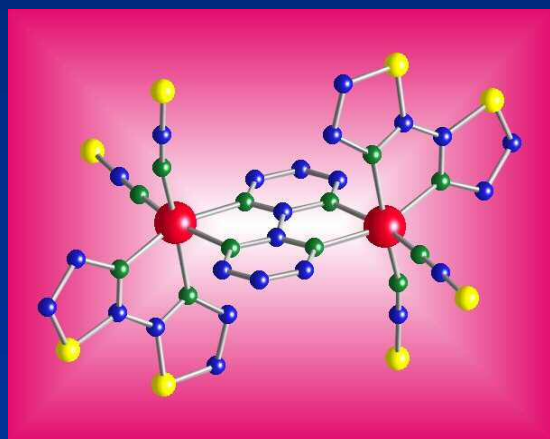
Dinuclear Iron(II) Compounds



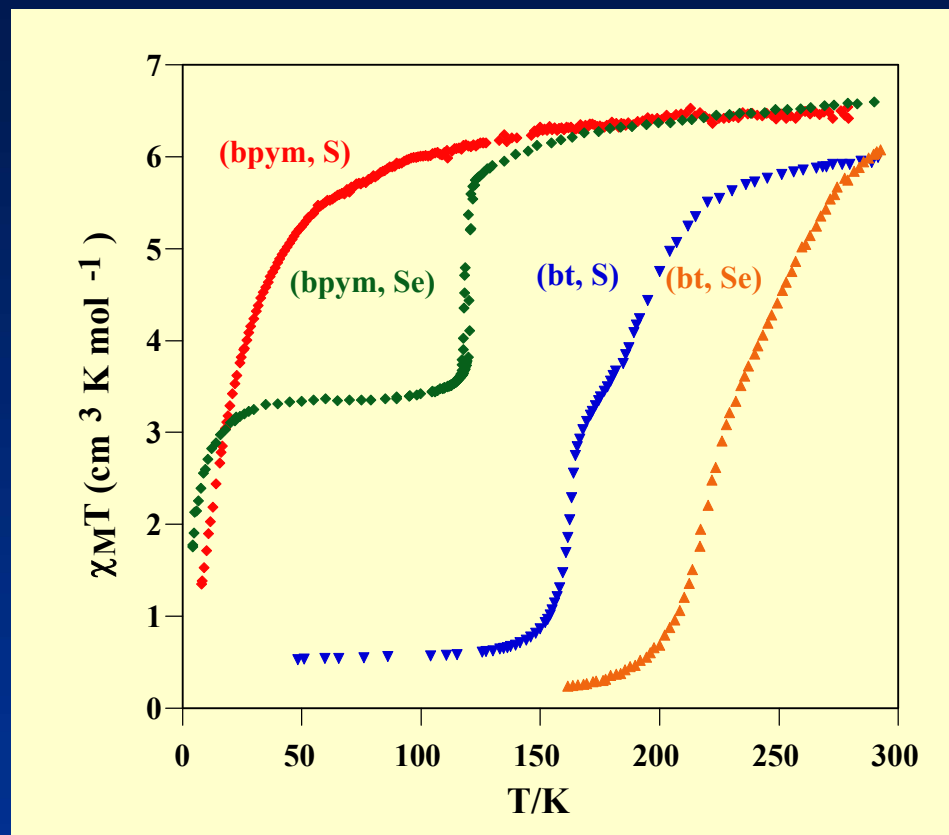
Spin Crossover and AF Coupling in Dinuclear Iron(II) Compounds



$\{[\text{Fe}(\text{bpym})(\text{NCS})_2]_2\text{bpym}\}$



$\{[\text{Fe}(\text{bt})(\text{NCS})_2]_2\text{bpym}\}$



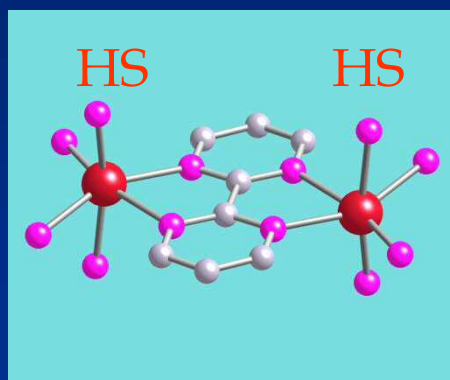
Magnetic Coupling Two-step Spin Transition

J. A. Real, H. Bolvin, A. Bousseksou, A. Dworkin, O. Kahn, F. Varret, J. Zarembowitch. *J. Am. Chem. Soc.* 114 (1992) 4650.
A. B. Gaspar, V. Ksenofontov, M. C. Muñoz, J. A. Real, P. Gülich, manuscript in preparation.

The nature of the plateau in the two-step spin transition

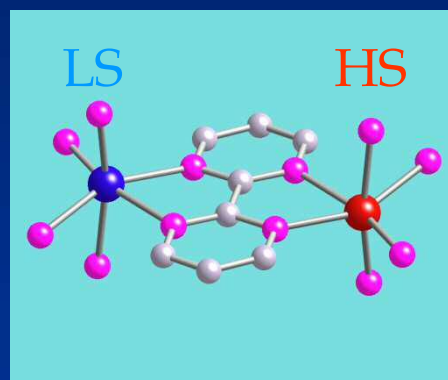
The two step character of the spin transition is a macroscopic response of what happens on molecular level:

existence of different spin pairs



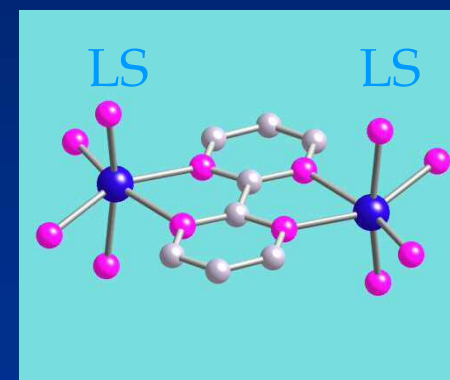
$$S_a = S_b = 2$$

Antiferromagnetically
Coupled State



$$S_a = 0 \quad S_b = 2$$

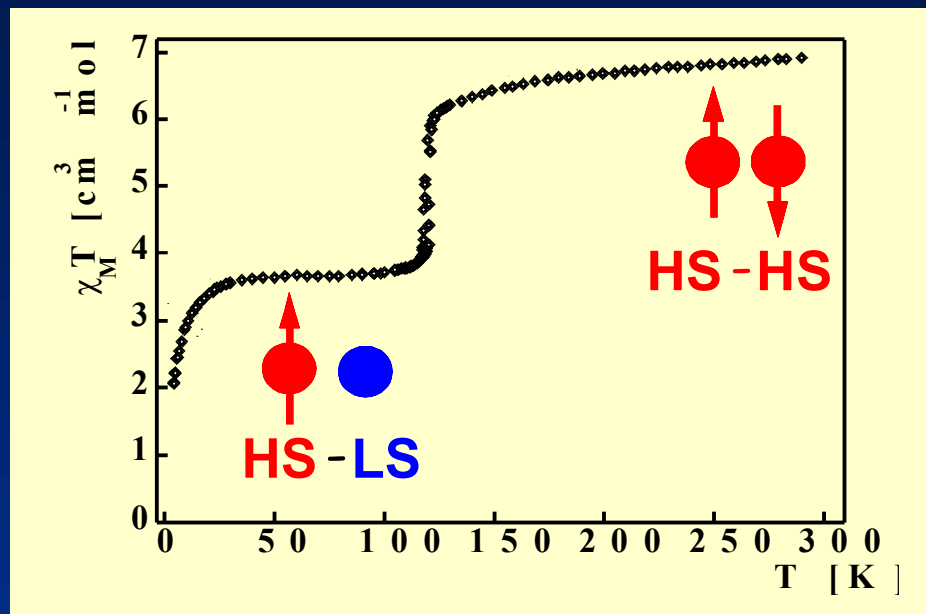
Uncoupled State



$$S_a = S_b = 0$$

Diamagnetic State

Mössbauer Spectroscopy of [Fe bpym (NCSe)₂]₂bpym in External Magnetic Field

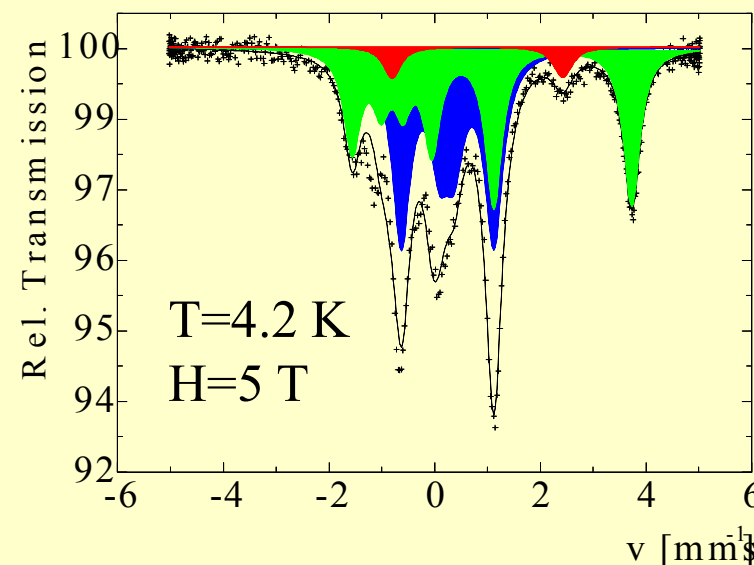
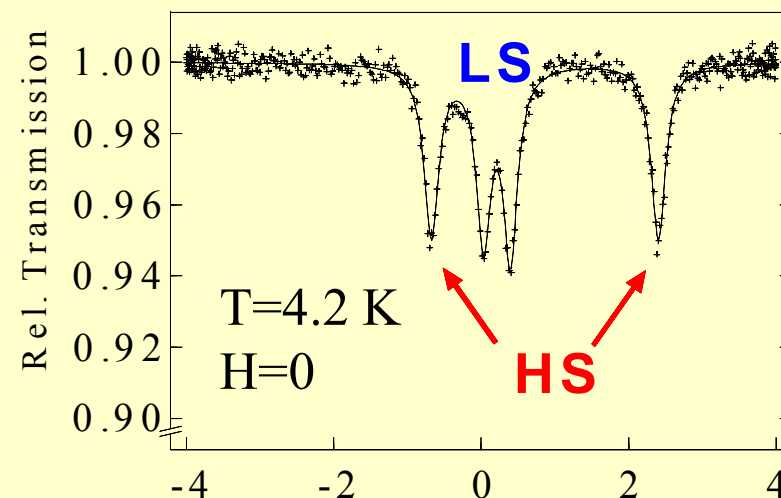


■ LS in LS-LS and in HS-LS

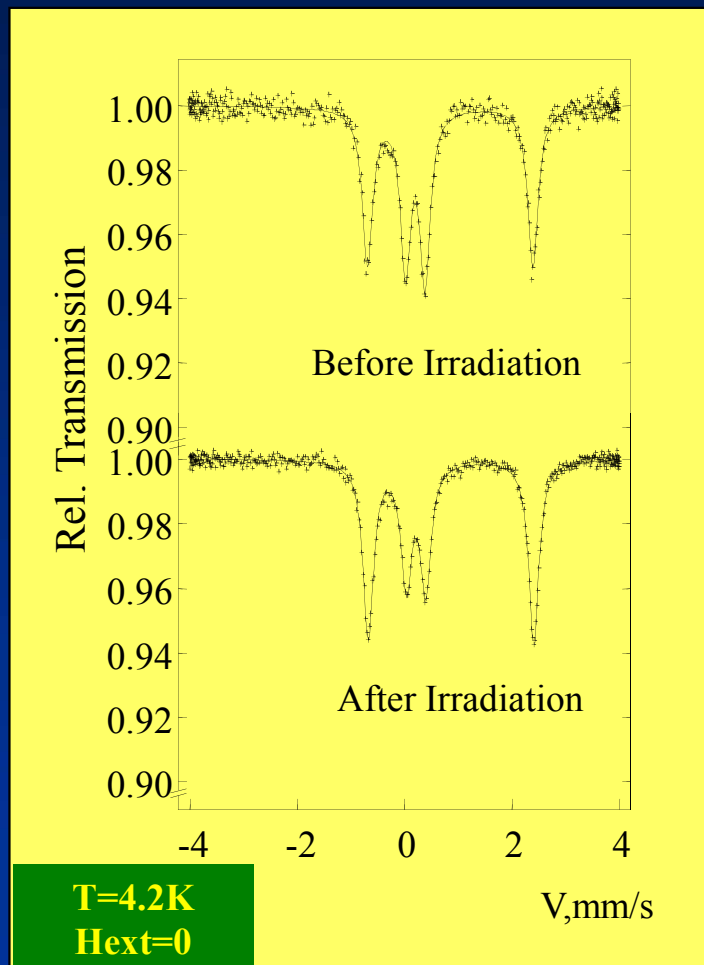
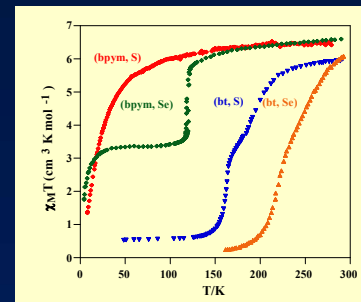
■ HS in HS-LS

■ HS-HS

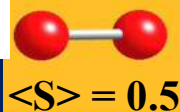
Ksenofontov, Spiering, Reiman, Garcia,
Gaspar, Moliner, Real, Gütlich
Chem. Phys. Lett. 348 (2001) 381



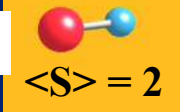
LIESST Effect in $\{[\text{Fe}(\text{bpym})(\text{NCSe})_2]_2\text{bpym}\}$



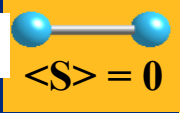
HS-HS:2.9%



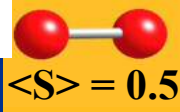
HS-LS:95.1%



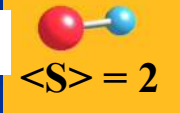
LS-LS:2.0%



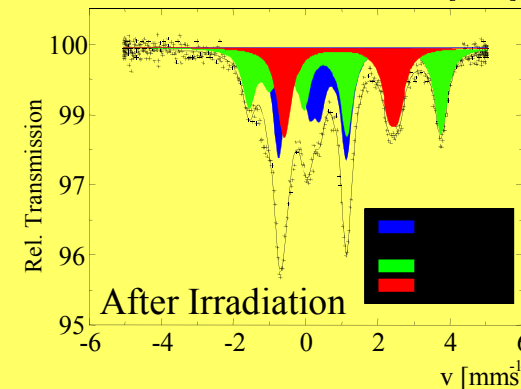
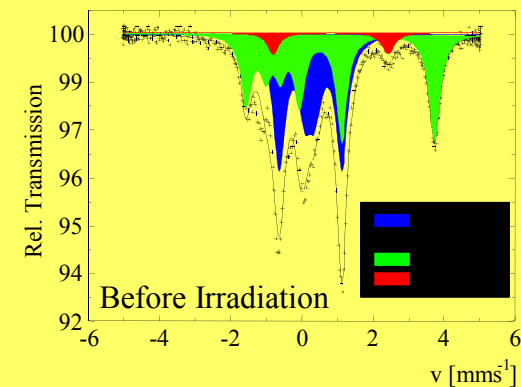
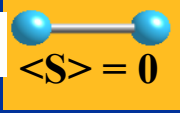
HS-HS:13.9%



HS-LS:86.1%

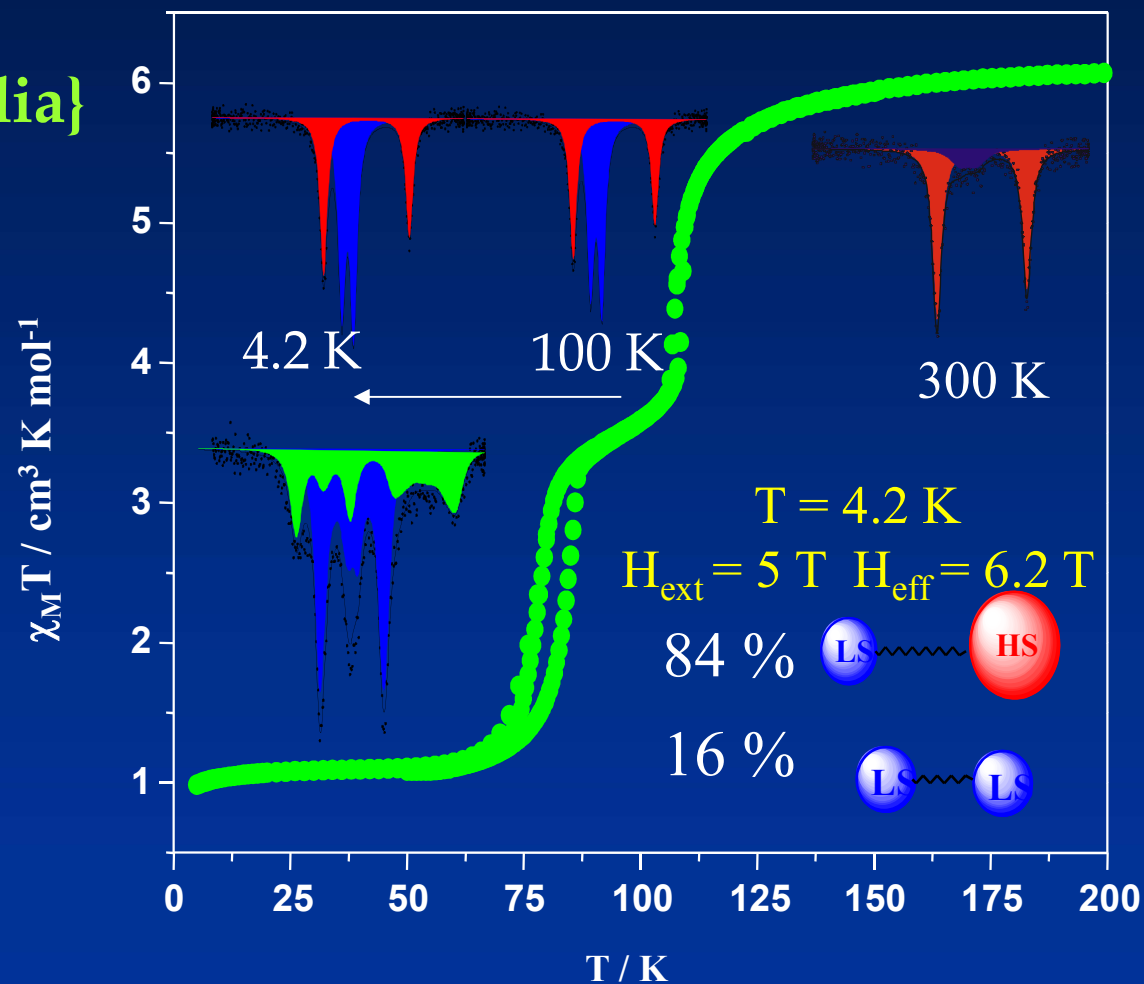
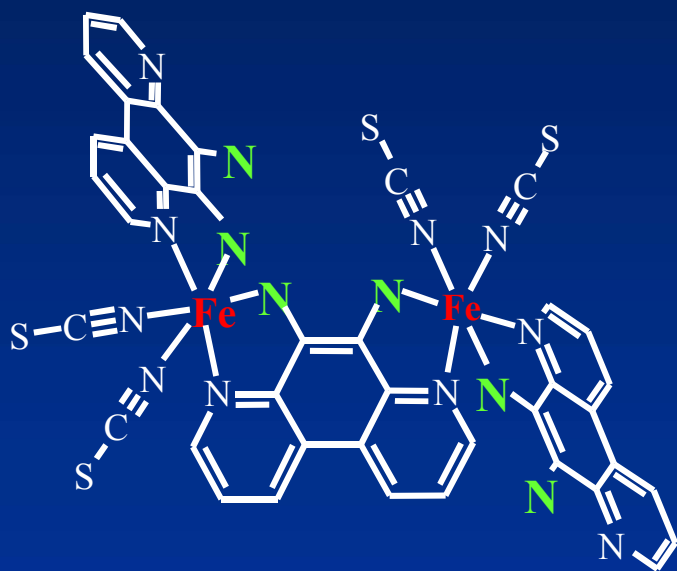


LS-LS:0%



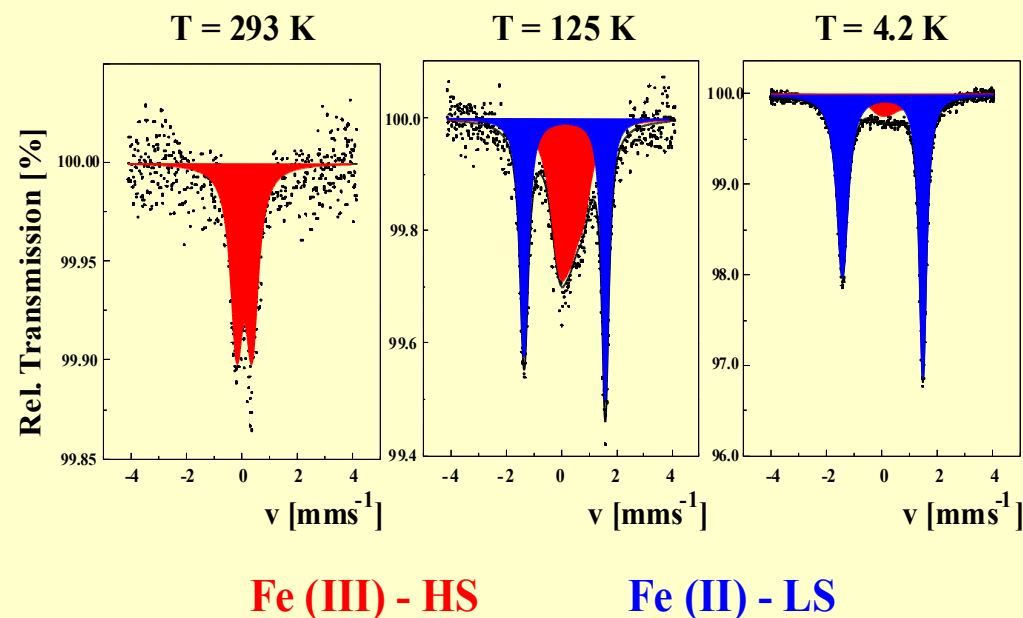
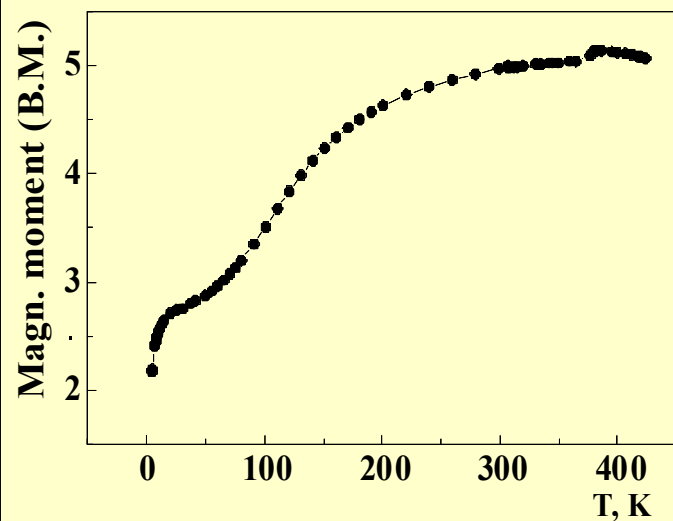
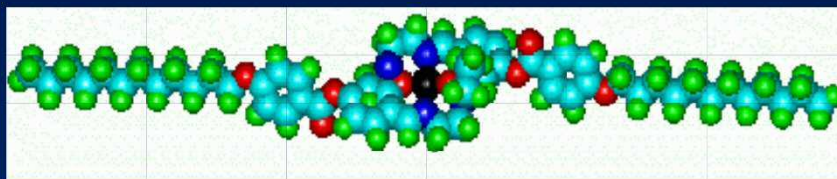
T=4.2K
H_{ext}=5T

The nature of the plateau in the spin transition curve of dinuclear compounds



Ksenofontov, Gaspar, Gülich, *Real. Chem. Eur. J*, 2004, *in press*.

Coexistence of Thermal Spin Transition and Liquid Crystal Properties

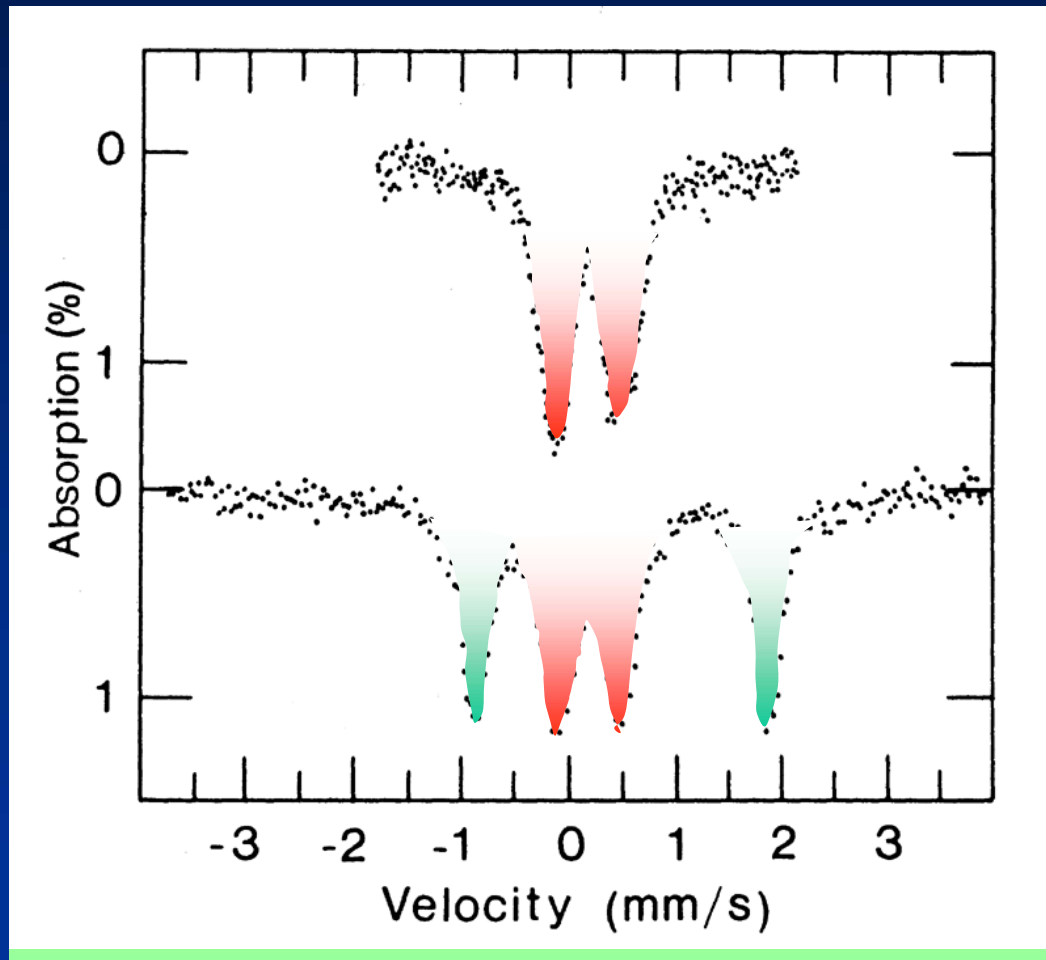


Yu. Galyametdinov, V. Ksenofontov, W. Haase and P. Gütlich
Angew. Chem. 113, 4399 (2001)

Bioinorganic Compounds

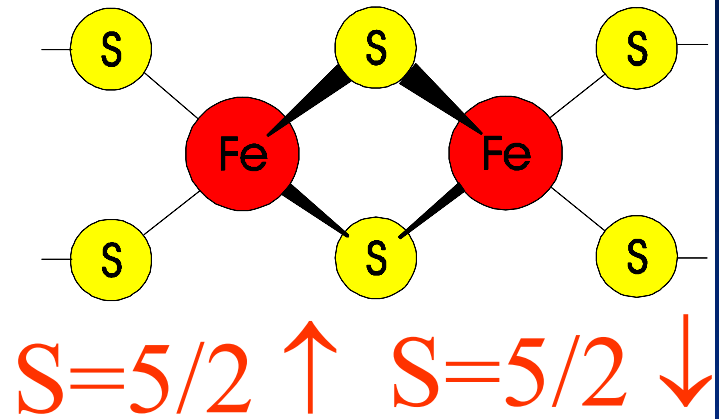
Ferredoxin (green alga)

Two-Iron Center Protein

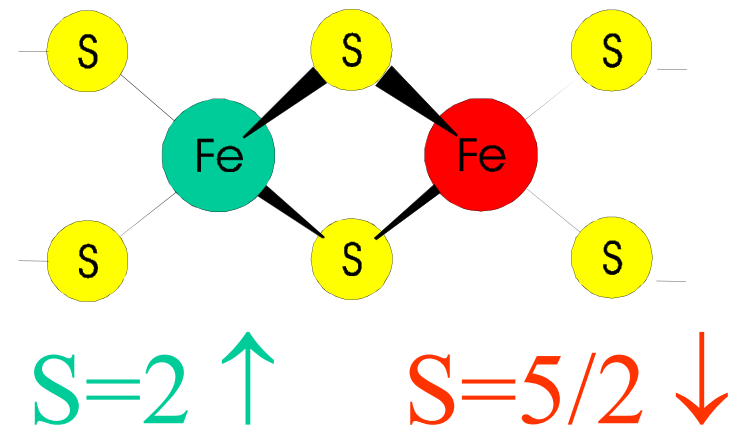


C. E. Johnson et al. (1971)

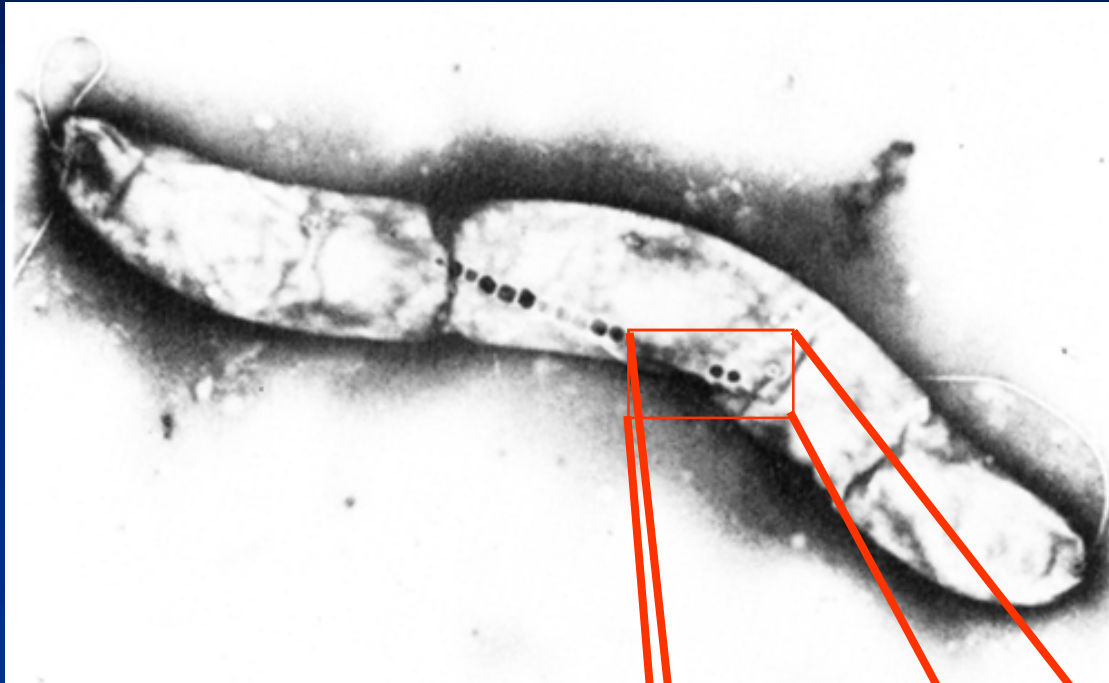
Oxidized



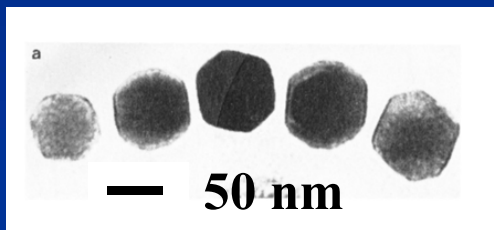
Reduced



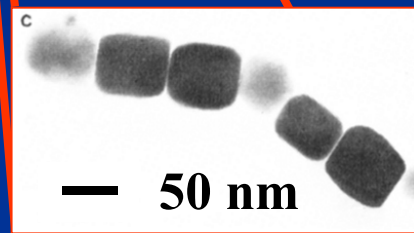
Fe_3O_4 in Magnetotactic Bacteria *Aquaspirillum Magnetotacticum*



Biomagnetic compass:
Microorganisms follow geomagnetic field due to magnetic particles (40 – 120 nm)



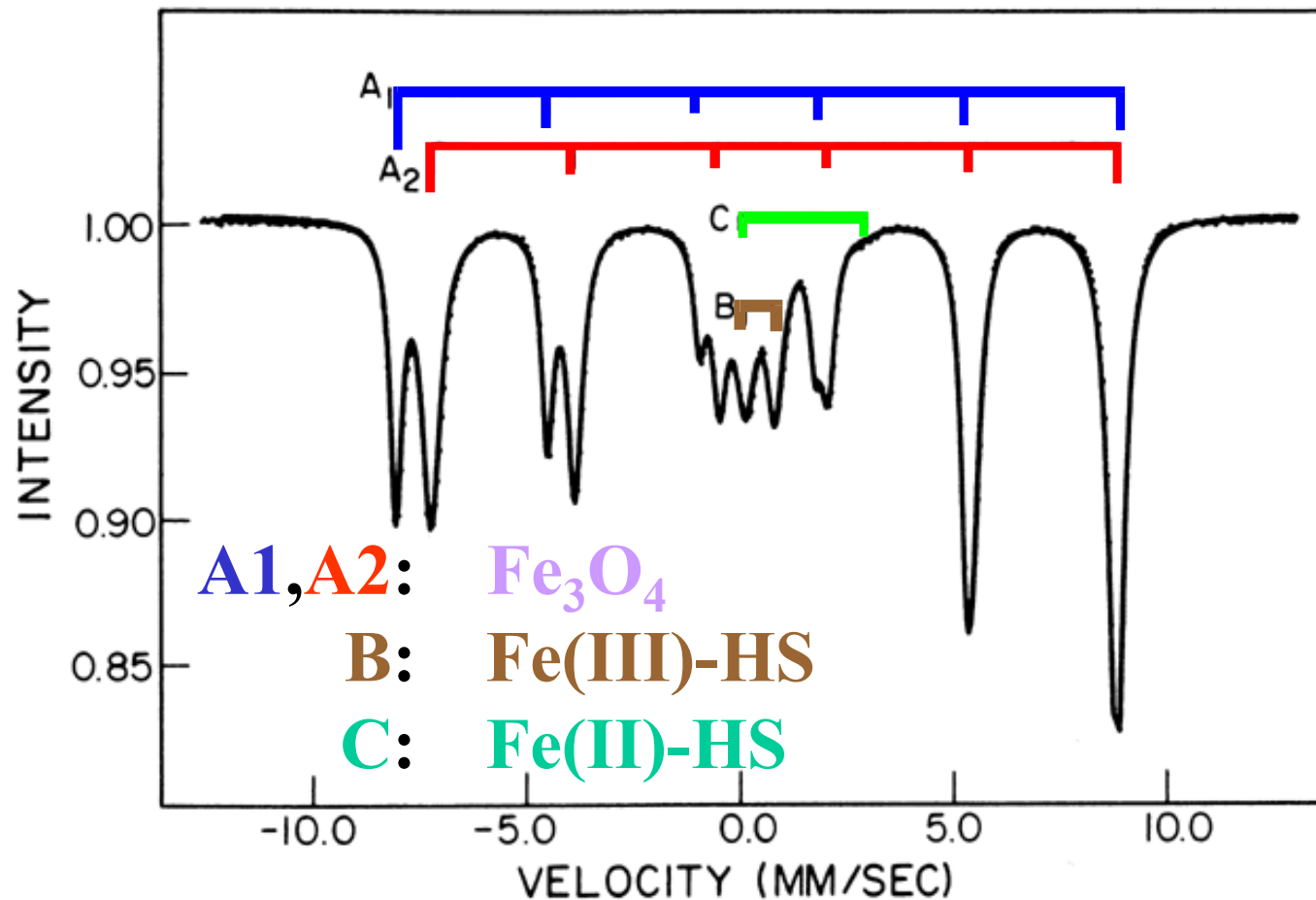
Hexagonal



Cubic

^{57}Fe Mössbauer Spectrum of Magnetic Particles in Magnetotactic Bacteria

Frankel, Papaefthymiou, 1983:



References

1. R.L. Mössbauer, *Z. Physik*, 1958, 151, 124.
2. R.L. Mössbauer, *Naturwissenschaften*, 1958, 45, 538.
3. R.L. Mössbauer, *Z. Naturforsch*, 1959, 14a, 211.
4. U. Gonser (ed), *Mössbauer Spectroscopy, Topics in Applied Physics, Vol 5*, Springer, Berlin-Heidelberg-New York, 1975.
5. H. Fauenfelder, *The Mössbauer Effect*, Benjamin, New York, 1962.
6. G.K. Wertheim, *Mössbauer Effect: Principles and Applications*, Academic Press, New York, 1964.
7. V.I. Goldanskii and R. Herber (eds), *Chemical Applications of Mössbauer Spectroscopy*, Academic Press, New York, 1968.
8. L. May (ed) *An Introduction to Mössbauer Spectroscopy*, Plenum Press, New York, 1971.
9. N.N. Greenwood and T.C. Gibb, *Mössbauer Spectroscopy*, Chapman and Hall London, 1971.
10. G.M. Bancroft, *Mössbauer Spectroscopy, An Introduction for Inorganic Chemists and Geochemists*, McGraw-Hill London-New York, 1973.
11. T.C. Gibb, *Principles of Mössbauer Spectroscopy*, Chapman and Hall, London 1976.
12. P. Gütlich, R. Link, A. Trautwein, *Mössbauer Spectroscopy and Transition Metal Chemistry*, Springer-Verlag, Berlin-Heidelberg-New York, 1978.
13. A. Vértes, L. Korecz, K. Burger, *Mössbauer Spectroscopy*, Elsevier Scientific Publ. Comp. Amsterdam, Oxford, 1979
14. D. Barb, *Grundlagen und Anwendungen der Mössbauerspektroskopie*, Akademie-Verlag Berlin, 1980
15. R.H. Herber (ed) *Chemical Mössbauer Spectroscopy*, Plenum, New York, 1984.
16. G.J. Long (ed), *Mössbauer Spectroscopy Applied to Inorganic Chemistry, Vol 1*, Plenum, New York, 1984 and subsequent volumes.
17. D.P.E. Dickson and F.J. Berry, *Mössbauer Spectroscopy*, Cambridge University Press, Cambridge, 1986.
18. P. Gütlich, *CHIUZ* 4(1970), 133-144 und *CHIUZ* 5(1971), 131-141